

# PRAKTICKÁ ELEKTRONIKA

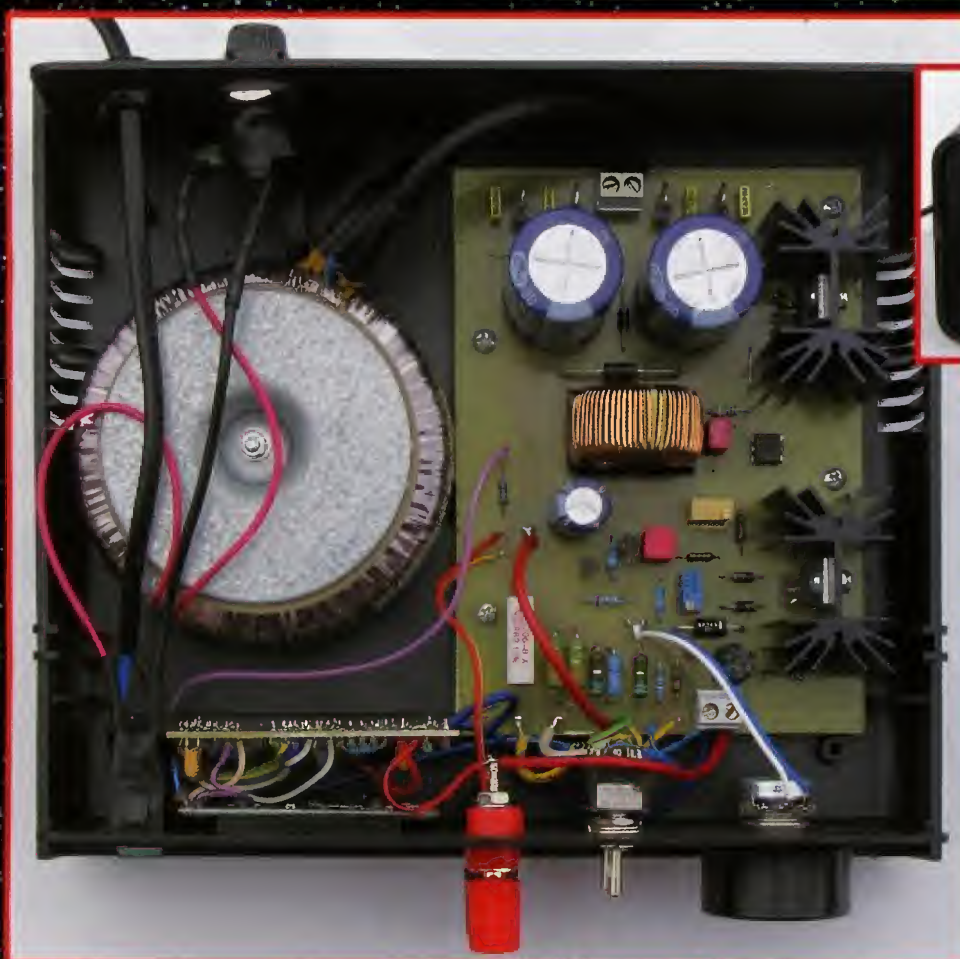
Redakce přeje  
všem krásné svátky

Amatérské  
**RADIO**

12

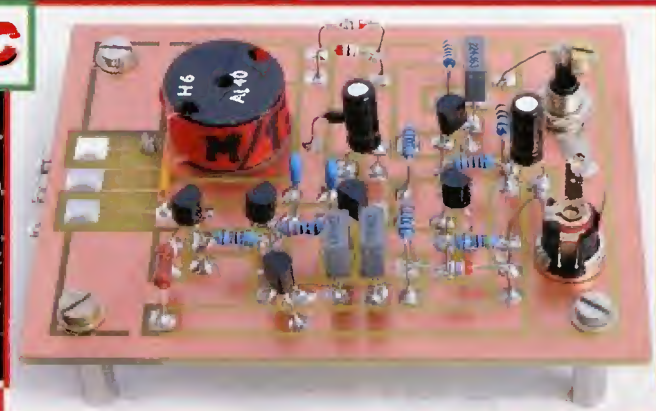
2014

**Zdroj s předregulátorem 1,5 až 25 V/2,5 A**

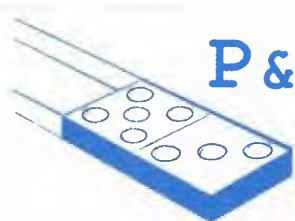


**Měřič MMLC pro malé L a C**

**Mikrorobot**





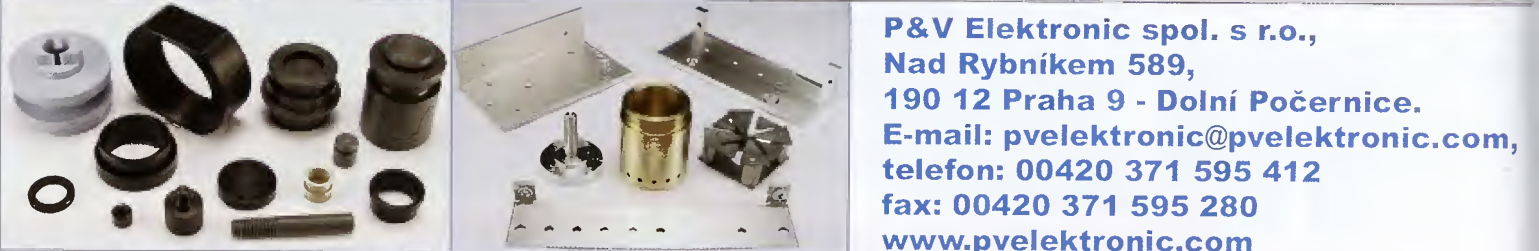
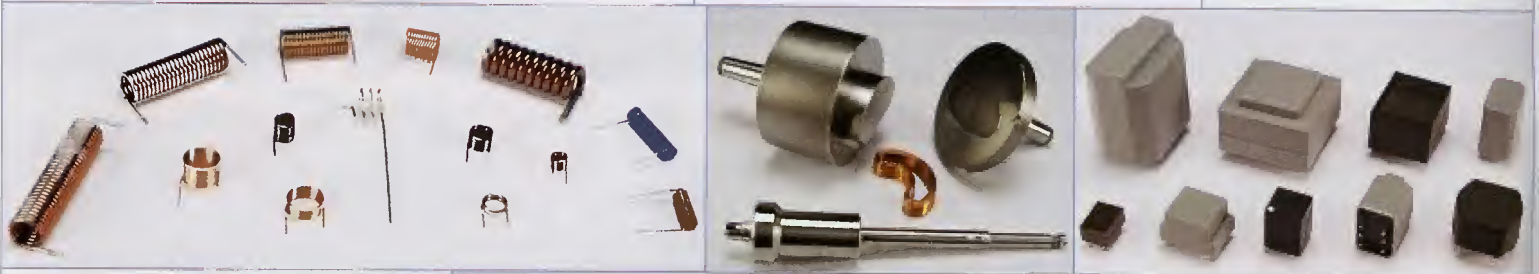
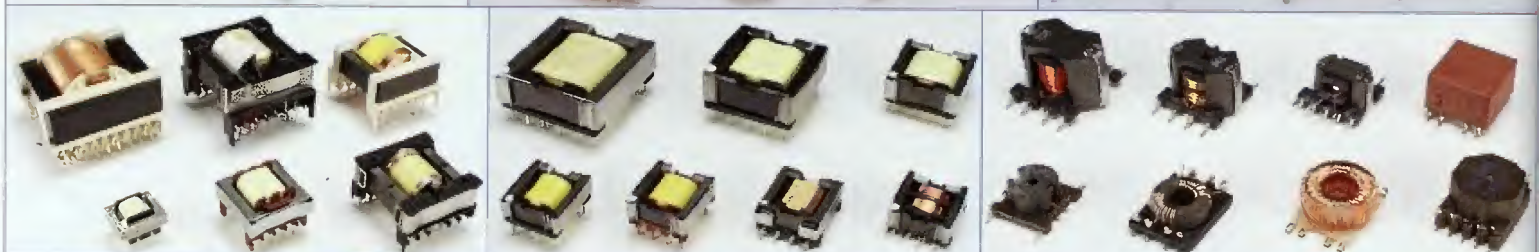
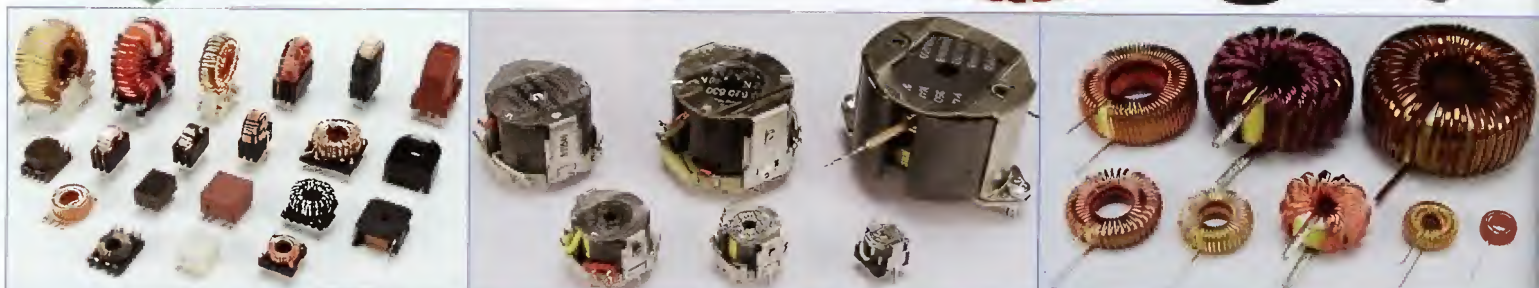


# P&V ELEKTRONIC

spol. s r.o.

## Vinuté díly pro elektroniku a elektrotechniku

### Coil Winding Parts for Electronics



**P&V Elektronic spol. s r.o.,**  
**Nad Rybníkem 589,**  
**190 12 Praha 9 - Dolní Počernice.**  
**E-mail: [pvelektronic@pvelektronic.com](mailto:pvelektronic@pvelektronic.com),**  
**telefon: 00420 371 595 412**  
**fax: 00420 371 595 280**  
**[www.pvelektronic.com](http://www.pvelektronic.com)**



### V TOMTO SEŠITĚ

Náš rozhovor .....	1
Nové knihy .....	2
Světlozor .....	3
AR mládeži:	
Základy elektrotechniky .....	4
Periférie mikrokontrolérů (15) .....	5
Jednoduchá zapojení pro volný čas .....	7
Zdroj s předregulátorem 1,5 až 25 V/2,5 A .....	11
Měřič MMLC pro malé indukčnosti a kapacity .....	15
Přípravek pro zobrazení hysterezní křivky jádra cívky .....	19
Mikrorobot .....	20
Těsnění na míru .....	22
Vodní hlásič .....	23
Jednoduchý indikátor přetížení .....	23
Inzerce .....	I-XII, 48
Obsah ročníku .....	A až D
Hodiny řízené mikrokontrolérem .....	25
Sháníte velmi malý reproduktor? .....	26
Jednoduchý VA merací přístroj .....	27
H-Bridge ovládaný PV optodriverem .....	29
Malé napětí? .....	30
Antény .....	31
PC hobby .....	33
Rádio „Historie“ .....	37
Z radioamatérského světa .....	41

### PRAKTICKÁ ELEKTRONIKA Amatérské RADIO

**Redakce:** Šéfredaktor: Ing. Josef Kellner;  
Ing. Jaroslav Belza, Petr Havlíš, OK1PFM.

**Adresa administrace:** Blanická 845/9, 120 00  
Praha 2, tel.: **702 106 157**. Návštěvy: pondělí  
od 13 do 16 h.; úterý a středa od 8 do 11 a od  
13 do 14 hodin; nebo po předchozí domluvě.

**Ročně vychází** 12 čísel. Cena výtisku 75 Kč.

**Rozšiřuje** První novinová společnost a. s.,  
Mediaprint-Kapa a. s. a soukromí distributoři.

**Předplatné** v ČR zajišťuje Amaro spol. s r. o.,  
Michaela Hrdličková (Blanická 845/9, 120 00  
Praha 2, tel.: **702 106 157**; [odbyt@aradio.cz](mailto:odbyt@aradio.cz)).  
Distribuci pro předplatitele také provádí v za-  
stoupení vydavatele společnost Česká pošta,  
oddělení periodického tisku; email: [postabo.prstc@cpost.cz](mailto:postabo.prstc@cpost.cz); Olšanská 9, 130 00 Praha 3,  
bezplatná infolinka 800 300 302. **Objednávky do  
zahraničí:** MediaCall s.r.o.; [www.predplatnedo](http://www.predplatnedo)  
[zahrani-ci.cz](mailto:zahrani-ci.cz); Videňská 995/63, 639 63 Brno,  
tel.: +420 532 165 165.

**Předplatné** v Slovenskej republike vybavuje Magnet-  
Press Slovakia s. r. o., Šustekova 10, 851 04 Brati-  
slava - Petržalka; korešpondencia P. O. BOX 169,  
830 00 Bratislava 3; tel./fax (02) 67 20 19 31-33 - pred-  
platné; e-mail: [predplatne@press.sk](mailto:predplatne@press.sk).

**Podávání novinových zásilek** povoleno Čes-  
kou poštou - ředitelstvím OZ Praha (č.j. nov 6005/  
96 ze dne 9. 1. 1996).

**Inzerce** přijímá: Michaela Hrdličková, Blanická  
845/9, 120 00 Praha 2, tel.: **702 106 157**;  
[inzerce@aradio.cz](mailto:inzerce@aradio.cz).

Za původnost a správnost příspěvků odpovídá  
autor (platí i pro inzerci).

**Vydavatel:** AMARO spol. s r. o., IČO 63487233.

**Vychází:** 5. den v daném měsíci.

**Internet:** <http://www.aradio.cz>

**E-mail:** [pe@aradio.cz](mailto:pe@aradio.cz)

Nevyžádané rukopisy nevracíme.

ISSN 1804-7173, MKČR E 7409

© AMARO spol. s r. o.

## NÁŠ ROZHOVOR



s panem Josefem Viktorou, jed-  
natelům firmy P&V ELEKTRONIC,  
která se zabývá výrobou vinu-  
tých dílů pro elektroniku, o jed-  
nom výročí.

Všichni nemilosrdně stárneme,  
ale že vaše firma již má 20 let, to  
jsem netušil. Zkuste prosím na-  
ším čtenářům oživit její historii.

Společnost P&V Elektronik spol.  
s r. o. byla založena v roce 1994.  
Letos je to tedy opravdu 20 let její  
úspěšné existence. Od samého za-  
čátku byly naše aktivity směřovány  
na výrobu a distribuci zákaznických  
vinutých dílů pro elektroniku a elek-  
trotechniku. Podnikání společnosti jsou  
od začátku spojena s malebnou obcí  
Kasejovice na jižním Plzeňsku, kde  
jsme již v roce 1997 postavili na ze-  
lené louce novou výrobní halu. Roku  
2002 zde rozšiřujeme další výrobní  
prostory a náš hlavní výrobní závod  
zde působí dodnes. Firmě se postup-  
ně daří upevňovat postavení na do-  
mácím i zahraničním trhu. Do popředí  
strategických záměrů společnosti  
se dostaly především zákaznické  
komponenty. Vzhledem k různorodé-  
mu charakteru výroby vinutých dílů si  
produkce postupem času vyžádala  
uvést do provozu oddělení strojní vý-  
roby, které později umožnilo značně  
rozšířit náš výrobní sortiment. A dnes  
výroba mechanických komponentů  
tvoří téměř třetinu celkové produkce  
naší firmy.

Jaké výrobky tedy vlastně vyrábíte?

Škála výrobků společnosti P&V  
Elektronic je opravdu široká. Jsme  
schopni vyrábět síťové transformátory,



Obr. 1. Sídlo firmy v Kasejovicích

transformátory a tlumivky do spína-  
ných zdrojů i pro jiné vysokofrekvenční  
aplikace, vysokonapěťové transfor-  
mátory v širokém výkonovém spektru,  
různé měřicí cívky, SMD tlumivky  
a převodníky, statory např. pro BLDC  
motory a další. Tyto výrobky vyrábíme  
na zakázku, od jednoho kusu,  
např. i pro radioamatéry, až po velké  
série pro renomované firmy.

Naším hlavním výrobním progra-  
mem jsou však především tvarové  
samonosné cívky, od jednoduchých  
anténních cívek až po vysoce sofisti-  
kované sestavy s tvarovými cívkami  
pro různé aplikace - např. měření  
magnetického pole, elektronovou op-  
tiku, magnetickou rezonanci a další  
odvětví. Vzhledem ke specifickému  
charakteru výrobku jde vždy o čisté  
zákaznický díl.

Komplikované uspořádání těchto  
sestav mnohdy vyžaduje úzkou sou-  
činnost více pracovišť, zejména v ob-  
lasti mechanických a magnetických  
dílů, které bývají nezbytnou součástí  
těchto vyšších sestav.

Rovněž pak kontrolní testy či na-  
stavení parametrů cívkových sestav  
si vyžadují nejen dobré technologické  
vybavení pracovišť, ale i nemalé zku-  
šenosti v oboru měřicí techniky. Tato  
výroba je velice náročná na přesnost  
mechanického zpracování, a proto  
naše strojní výroba musí splňovat ta  
nejvyšší kritéria. Máme velké zkuše-  
nosti s obráběním technických plas-  
tů, kde dodržení přesných tolerancí  
nebyvá jednoduchou záležitostí. Rov-  
něž s obráběním kovů, i těch velmi  
nestandardních, jsme získali nemalé  
zkušenosti. Především vyrábíme vel-  
mi malé a přesné díly, o které stroji-  
renské firmy mnohdy nemají zájem.



Obr. 2. Ukázka vn transformátorů





Obr. 3. Ukázka z výroby

Technologické vybavení na vysoké úrovni nám umožňuje poskytovat naše služby i firmám čistě strojírenským. Mechanické komponenty vyrábíme samozřejmě i pro naše zákazníky.

Velmi dobře máme také vybavené pracoviště zalévání. Zaléváme cívky a jiné komponenty zalévacími hmotami různých typů a vlastností - např. hmotami polyuretanovými, epoxidovými, silikonovými apod. Zaléváme nejenom samostatné cívky, ale i celé montážní sestavy, jako např. moduly pro zdroje velmi vysokého napětí nebo různá elektronická zařízení, jako například ochrana před vibracemi či povětrnostními vlivy. Potřebné formy si umíme navrhnout a poté i vyrobit. Pro náročné aplikace, které vyžadují vysokou kvalitu, používáme vakuové zalévání (i z vakua do vakua). Protože tyto technologie jsou velice náročné a ne často používané, využívají v tomto oboru našich zkušeností a služeb i jiní zákazníci.

**Jak řešíte kontrolu a kvalitu výroby?**

Nutným předpokladem pro plnění kritérií firemní strategie naší firmy je schopnost sebereflexe v oblasti kontroly kvality produkce a dobré technické vybavení kontrolních pracovišť. Oba tyto atributy jsou základem tech-

nické úrovně a spolehlivosti produkce. Vyžaduje to nemalé finanční zdroje a nesmí se v tom šetřit. Příkladem může být automatizovaný měřicí systém VOLTECH. První systém nám ukázal oprávněnost jeho nasazení a dnes již disponujeme třemi takovými pracovišti. Zajištění dobré kvality produkce považujeme za nezbytný předpoklad úspěchu naší společnosti.

**Co plánujete do budoucna a jaké vidíte perspektivy ve vašem oboru?**

Z hlediska strategie dalšího rozvoje naší společnosti je pochopitelné, že se o našich plánech do budoucna příliš veřejně šířit nechceme. Mnohé z výrobků, které jsme před 20 lety vyráběli, jsou dnes již běžně nahrazeny díly, jež jsou vyráběny ve velkých sériích na Dálném východě a běžně dostupné v prodejní síti. Přesto jsme si vždy uměli najít produkty, o které je zájem, to nás však samozřejmě nutí specializovat se na výrobky, které jsou spíše zákaznické a které mají vyšší přidané „know-how“. Samozřejmě musíme zákazníkům poskytovat také komplexnější služby. Velkou příležitostí našeho oboru je samozřejmě energetika, avšak vzhledem k zaměření naší společnosti spíše na velmi

malé díly a s přihlédnutím na naše technologické možnosti se však tomuto oboru věnovat příliš nemůžeme. Další příležitostí jsou mimo jiné elektrické pohony. V tomto oboru se chceme věnovat převážně těm spíše miniaturním. Co se týče „automotive“, již jsme spolupracovali na mnoha projektech a zde vidíme šanci spíše při vývoji a předseriesích. Masovou výrobu v tomto oboru neplánujeme.

Dalším oborem našeho zájmu je senzorika, zde již dlouhou dobu úspěšně spolupracujeme na výrobě senzoru s Wiegand efektem. Pokud nevíte, co to je, určitě nejste jedini. Avšak představte si například rotační čidlo (Absolute Rotary Encoder), které na setiny stupně rozlišuje absolutně svoji polohu, a to bez přísunu jakékoliv energie. Po připojení k energii z něho vyčtete absolutní hodnotu pootočení i kolikrát se otočilo a jakým směrem, i když bylo bez energie. Tyto senzory, předpokládáme, budou v brzké budoucnosti běžné a masivně používány v mnoha oborech.

Magnetické obvody a používané materiály je samozřejmě další velké téma. Nedávno se mi dostal do rukou keramický SMD (0603) kondenzátor 22  $\mu\text{F}$ . Uvědomil jsem si, jaký je nezadržitelný pokrok i v této součástkové základně. Ti, co za minulého režimu občas něco „bastlili“, a mezi vašimi čtenáři jich bude jistě mnoho, si určitě vzpomenou na „stokilové teslácké placky“. O překotném pokroku polovodičů asi nemá cenu se zmiňovat. Magnetické materiály však tomuto pokroku pořád trochu vzdorují a jejich vlastnosti se ve srovnání s polovodičovými součástkami zlepšují daleko pomaleji. Velikost a výkon transformátoru vyrobeného před sto lety a dnes se zase tak moc nezměnily.

Výhledem připravujeme nový projekt, kde budou cívky vinuty supravodivými materiály, to nás jistě postaví před další nové výzvy.

**Děkuji vám za rozhovor, vždy mne oblaž, když mluvím s firmou, která něco vyrábí a dokonce i vyvíjí.**

Připravil Ing. Josef Kellner.



Obr. 4. Měřicí systém VOLTECH



Obr. 5. Měřicí pracoviště



## SVĚTOZOR



### Subminiaturní SMD piezoelektrický bzučák

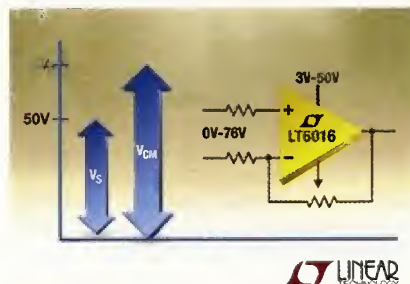
Firma Murata ([www.murata.eu](http://www.murata.eu)) zahájila výrobu piezoelektrického bzučáku vhodného pro povrchovou montáž, který je patrně nejmenší a nejlehčí součástí svého druhu. Bzučák PKMCS0909E4000-R1 má rozměry  $9 \times 9 \times 1,7$  mm a hmotnost jen 160 mg. Při buzení pravoúhlým signálem, např. z klasického astabilního multi-vibrátoru, s rozkmitem  $\pm 1,5$  V a kmitočtem 4 kHz, je akustický tlak ve vzdálenosti 10 cm vyšší než 65 dB. Maximální budicí napětí je  $\pm 12,5$  V. Vzhledem k principu funkce neruší činnost bzučáku ostatní elektrické obvody. Při použití v zařízeních vyžadujících přídavnou akustickou informaci, jako jsou např. měřiče obsahu cukru v krvi a digitální lékařské teploměry, přispívá typická spotřeba jen 0,6 mW k prodloužení doby mezi výměnou baterií.



### Přesný operační zesilovač

Firma Linear Technology ([www.linear.cz](http://www.linear.cz)) uvedla na trh nový dvojitý a čtyřnásobný operační zesilovač s širokým rozsahem vstupního napětí a malým offsetem. Zesilovače LT6016 a LT6017 mají vstupní napěťový offset do  $\pm 70$   $\mu$ V, vstupní klidový proud 5 nA, nízkofrekvenční šum 0,5  $\mu$ V  $U_{p.p.}$ , velký napěťový zisk 1000 V/1 mV, tranzitní kmitočet 3 MHz a potlačení souhlasného napětí 126 dB. Unikátní firemní technologie Over-the-Top® umožňuje funkci při souhlasném vstupním napětí v rozsahu od  $U_-$  až  $U_- + 76$  V při napájecím napětí  $U_+$  3 až 50 V. Zesilovače jsou rovněž chráněny proti přepólování napájení až do -50 V na  $U_+$ , záporným špičkám na vstupu do -25 V a napětí až 50 V vnucenému do výstupu nenapájeného zesilovače. Robustní architektura obvodu je užitečná např. při měření odebíraného proudu v kladné i záporné napájecí větvi zdroje, výsilačích proudové smyčky nebo při sběru dat. Použití se předpokládá v prů-

myslových, přístrojových a automobilových aplikacích a bateriemi napájených zařízeních, je-li požadována jak přesnost, tak i odolnost a spolehlivost. Verze LT6016 a LT6017 mohou pracovat v pracovních teplotách mezi -40 až  $+85$   $^{\circ}$ C, -40 až  $+125$   $^{\circ}$ C a -55 až  $150$   $^{\circ}$ C. Dvojitý typ LT6016 se dodává v pouzdře MSOP-8, čtverný LT6016 je v pouzdře DFN ( $6 \times 3$  mm) s 22 vývody. Existuje i jednoduchá verze LT6015 v pouzdře SOT-23 s 5 vývody.



### Induktory do extrémních teplot

Pro použití při extrémních teplotách v rozsahu -55 až  $+300$   $^{\circ}$ C je navržena vinutá tlumivka s jádrem AT549RBT od Coilcraft CPS (Critical Products & Services - <http://www.coilcraft-cps.com>).

Tlumivka s poniklovanými měděnými vývody o délce jádra 16,24 mm a výšce 4,32 mm má indukčnost 1  $\mu$ H, činný odpor 15 m $\Omega$ , vlastní rezonanční kmitočet 800 MHz a je určena pro maximální proud 1 A. Při pájení přetavením snáší součástka teplotu  $+350$   $^{\circ}$ C po dobu 40 s. Předpokládá se využití např. v autoelektronice pracující v motorovém prostoru a měřících zařízeních používaných v hlubinných vrtech.



### Tenká nabíjecí baterie

Zatím v omezeném rozsahu začala firma STMicroelectronics ([www.st.com](http://www.st.com)) vyrábět nabíjecí lithiovou baterii EFL700A39 s tloušťkou menší než 0,25 mm. Čtvercová baterie ( $25,7 \times 25,7$  mm) s vývody pro povrchovou montáž má LiCoO<sub>2</sub> katodu, LiPON keramický elektrolyt a lithiovou anodu. Jmenovité napětí je 3,9 V a kapacita 0,7 mAh. Přípustný maximální odběr je vzhledem k vnitřnímu odporu

100  $\Omega$  10 mA. Baterie má při malé ztrátě kapacity (20 % po 4000 nabíjecích cyklech) mít životnost 10 let při každodenním nabíjení. Rozměry nové baterie odstraňují některá omezení, která dosud museli respektovat návrháři při použití standardních baterií, jsou však především určeny pro nové generace bezdrátových senzorů, RFID tagů, chytrých karet, nositelné elektroniky (wearable electronics), zařízení tzv. Internetu věcí (Internet-of-Things) a získávání energie z netradičních zdrojů (Energy Harvesting). Baterie splňuje požadavky na bezpečnost podle standardu IEC62133, mechanické vlastnosti odpovídají specifikacím pro čipové karty ISO 7816/IEC 10373. V současnosti stojí při odběru 5 ks jedna baterie 30 USD.

EnFilm™: the Energy of Things  
Thin-film rechargeable battery



### Standardní komparátory a operační zesilovače pro průmyslový teplotní rozsah

Firma Diodes Incorporated ([www.diodes.com](http://www.diodes.com)) uvedla na trh známé standardní součástky – čtverný a dvojitý komparátor LM2901 a LM2903 a čtverný a dvojitý operační zesilovač LM2902 a LM2904, určené pro teplotní rozsah -40 až  $+125$   $^{\circ}$ C, čímž jsou vhodné pro nejrozličnější aplikace v průmyslovém řízení a automatizaci. Vstupní souhlasné napětí zahrnuje 0 V, komparátory pracují jak se symetrickým ( $\pm 1$  až  $\pm 18$  V), tak jediným napájecím napětím (2 až 36 V). Podobně u operačních zesilovačů to je  $\pm 1,5$  až  $\pm 18$  V nebo 3 až 36 V. Malá proudová spotřeba nezávisí na napájecím napětí a dvojitý komparátor odebírá jen 0,6 mA, dvojitý operační zesilovač 0,5 mA. Vstupní klidový proud je 25 nA, proudový vstupní offset je  $\pm 5$  nA. Vstupní napěťový offset je rovněž malý, typicky 2 mV. Dvojité součástky jsou nabízeny v pouzdře SO-8, čtverné provedení v SO-14 a TSSOP-14.

JH

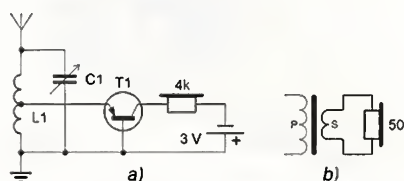




# AR ZAČÍNÁJÍCÍM A MÍRNĚ POKROČILÝM

## Přijem AM signálu (Pokračování)

Pro hlasitější reprodukci signálu je třeba k detektoru připojit nějaký zesilující prvek. Tím se dostáváme k jednoduchým jednotranzistorovým přijímačům. Ty zesilují signál za detektorem. Aby to však bylo možné, potřebují tyto přijímače napájecí zdroj. Na obr. 111a je nejjednodušší přijímač s napájením. Jeho modifikace uvedená v předchozí části byla napájena vř signálem místního vysílače. Na přechodu emitor-báze tranzistoru se usměrňuje vř signál, který je tranzistorem současně zesílen a přiveden do sluchátka s velkým odporem 4 k $\Omega$ . Sluchátko a přechod báze-kolektor jsou napájeny z baterie. Protože pohyb membrány sluchátka je schopen sledovat pouze nízkofrekvenční složku usměrněného signálu, nikoliv už zbytek nosného vř signálu, není třeba filtrační kondenzátor a zapojení zůstává velmi jednoduché.

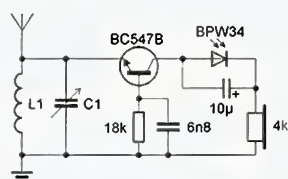


Obr. 111. Přijímač s baterií (a) a náhrada sluchátka s velkou impedancí (b)

Místo sluchátka s velkou impedancí lze použít nř transformátor s velkým převodem 1:80 a sluchátko s menší impedancí (např. 50  $\Omega$ ). Pro experimentální zapojení lze provizorně použít síťový transformátor s malým vstupním napětím, např. 6 V. Primární část zapojíme místo původního sluchátka, na sekundární vinutí připojíme sluchátko s malou impedancí. Síťový transformátor je optimalizován pro podstatně větší napětí a nízký kmitočet 50 Hz. Je však použitelný do několika kHz.

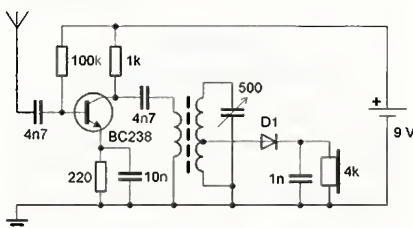
Protože akustický výkon takového přijímače je malý a tím i jeho energetické nároky, je namísto baterie možné použít jiné zdroje napětí, například zemní baterii. Její kladný pól tvoří měděný drát ve vlhké zemině, záporný pól je tvořen ocelovým hřebem zapíchnutým poblíž. Stejný efekt vzniká v citrónu nebo jiném kyselém ovoci. K napájení lze použít i fotodiodu, která při dostatečném osvětlení funguje jako relativně tvrdý zdroj napětí 0,6 V (obr. 112). V tomto aktivním režimu vzniká kladné napětí na její anodě.

Alternativní napájení je vhodné pro poslech v místech, kde není k dispozici napájecí napětí. Nejedná se o komfortní poslech. Napájení tohoto jednoduchého přijímače dovolí, jen aby příjem byl vůbec možný.



Obr. 112. Přijímač napájený fotodiodou

Obecně lze o těchto přijímačích říci, že přímo zesilují nízkofrekvenční signál a tím zlepšují reprodukci. V obou uvedených případech je polovodičový přechod tranzistoru využit nejen pro zesílení, ale i pro vlastní detekci. Na obrázku 113 je však přijímač, který nezesiluje nř signál, ale signál vysokofrekvenční. Poskytuje tedy následnému detektoru signál větší intenzity než ten, který přichází z antény, a tím dosahuje silnější reprodukce. Tranzistor zesílí veškeré vř signály na vstupu. Zesílený signál je veden z kolektoru přes kondenzátor na primární vinutí vř transformátoru s feritovým jádrem, na jehož sekundárním vinutí je ladící rezonanční obvod. Z odbočky sekundárního vinutí je napájen detektor se Schottkyho nebo germaniovou diodou, následuje kondenzátor pro odstranění zbytku vř nosné, ponechá pouze nř signál pro sluchátko.



Obr. 113. Přijímač s vř předzesílením

Selektivita tranzistorových přijímačů je obvykle lepší než u prosté krystalky. Je to dáno zejména tím, že laděný LC obvod je vzhledem k velkému vstupnímu odporu tranzistoru tlumen velice málo.

Tranzistory umožňují zesilovat přiváděný výkon. Zařazením několika těchto aktivních součástek je teoreticky možné získat zesílení rovné součinu zesílení každého z členů. Dvoutranzistorový zesilovač může mít zesílení např. 500, když první tranzistor zesílí 50x a druhý 10x ( $50 \times 10 = 500$ ). Na obr. 114 je zapojení dvoustupňového zpětnovazebního přijímače, jenž je schopen dodávat dostatečný výkon pro sluchátko s malou impedancí. Zvětšení výkonu je dané použitím dvou tranzistorů, většího napájecího napětí 9 V a upraveným zapojením prvního tranzistoru T1.

Nakmitané napětí na laděném obvodu L1, C1 přetransformované do cívky L2 je přivedeno na bázi tranzistoru T1, kde je detekováno na přechodu báze-emitor. Tranzistor pracuje v zapojení se společným emitorem. Ve výstupním obvodu (kolektor-emitor) je zapojena tlumivka L3 a rezistor R1.

Vř signál detekovaný u krystalek na diodě zůstává součástí nř signálu i za diodou a byl jako nežádoucí odváděn kondenzá-

torem k zemi. Vysokofrekvenční signál pronikne i za tranzistor a zesílený se objeví na kolektoru. Není však nežádoucí. Využívá se ke zpětnému zavedení do laděného obvodu, kde se přičítá k nakmitanému/naladěnému napětí. Zavedení vř napětí zpět do vstupního obvodu se nazývá zpětná vazba, zde kladná, protože původní signál zesílí. Kondenzátor Cz, označený jako zpětnovazební, ovlivňuje svoji kapacitou množství energie, která se vrací na vstup. To nesmí překročit určitou hranici, jinak se obvod rozkmitá, což se projeví intenzivním pískáním ve sluchátkách. Zároveň se vř signál šíří laděným obvodem zpět do antény a z přijímače se stane oscilátor-vysílač.

Tlumivka L3, zařazená za kolektorem T1, představuje svou indukčností pro vř signál velký odpor. Vř signál ji neprochází, vrací se proto „cestou menšího odporu“ přes kondenzátor Cz do cívky L1. Pro nízké kmitočty, které jsou po detekci přítomny na kolektoru T1, představuje tlumivka L3 malý odpor, zato kondenzátor Cz svou malou kapacitou odpor velký. Vysokofrekvenční kmitočty pro další zpracování jsou tedy odebírány mezi kolektorem a tlumivkou L3, nř signál mezi tlumivkou a R1. Tranzistor T2 pracuje jako běžný zesilovač pro sluchátko 50  $\Omega$ .

Přijímač se nastavuje s odpojeným kondenzátorem Cz. Připojíme pomocnou drátovou anténu a uzemnění, nastavíme P1 na největší odpor, P2 do poloviny odporové dráhy. Otáčením hřídele C1 naladíme pořad nejbližšího vysílače. Lze jej sledovat také na R1. Potenciometrem P1 nastavíme nejsilnější nezkreslený příjem. Potenciometrem P2 nastavíme co největší hlasitost. Opakovaně nastavíme P1. Odpojíme pomocnou anténu a uzemnění a doladíme C1 na maximální hlasitost.

Po odpojení antény a uzemnění zpracovává feritová anténa magnetickou složku pole vysílače a je tedy směrová. Natáčením feritové antény/přijímače najdeme maximum hlasitosti. Připojíme hrníčkový kondenzátorový trimr Cz 5 až 30 pF. Zvětšováním kapacity signál přijímané stanice sílí, reprodukce je ostřejší a zní pronikavěji. Slábne-li, je nutné zaměnit mezi sebou vývody cívky L2 a opakovaně doladit trimr Cz.

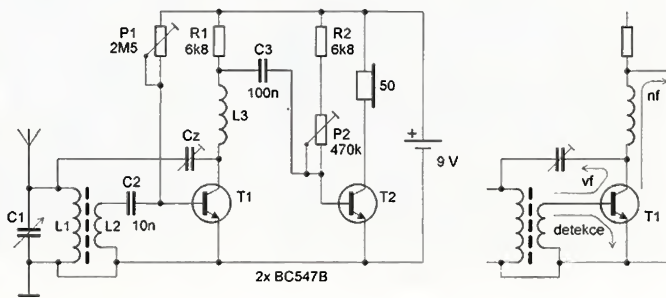
Zpětná vazba v tomto zapojení dovoluje dosáhnout velkého zesílení jediným tranzistorem, je však nutné ji nastavovat podle kmitočtu a velikosti signálu přijímané stanice. Rozkmitaný přijímač může snadno rušit přijímače okolní.

V dalším si popíšeme reflexní zapojení přijímače.

VP

(Pokračování přístě)

Obr. 114. Přijímač se zpětnou vazbou – audion. Na obrázku vpravo je naznačeno dvojí využití tranzistoru – jako vř zesilovač a jako detektor





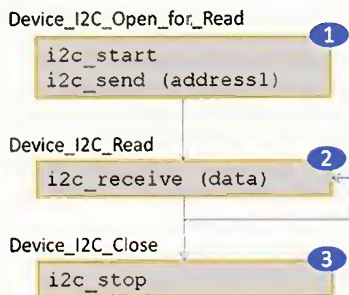
# Periférie mikrokontrolérov (15)



## I<sup>2</sup>C vianočný stromček (Pokračovanie)

V minulom diele sme začali popis ozdôbok pre vianočný stromček pripojených prostredníctvom I<sup>2</sup>C zbernice s riadiacou jednotkou. Teraz budem pokračovať popisom komunikácie.

Pre „čítanie zo súboru“ je situácia veľmi podobná:



Oproti zápisu je jediný rozdiel, že v prvom kroku je LSB = 1 (čítanie) a v kroku 2 dáta nevysielame, ale prijímame.

Toto však už pre nás nebolo nič nové, ale čas od času si nezaškodí fakty zopakovať.

Dôležité je však spomenúť, že nemôžeme mať „otvorené dva súbory súčasne“. Čiže pokiaľ komunikujeme s viacerými obvodmi na zbernici – ako v našom prípade EEPROM a Port Expander – musíme s nimi komunikovať postupne. V našom stromčeku potrebujeme – zjednodušene povedané – načítať jeden bajt z EEPROM a poslať ho na PCF8574. Musíme to však urobiť tak, že začneme komunikáciu s EEPROM (otvoríme EEPROM pre čítanie), prečítame požadovaný bajt a zapamätáme si ho, ukončíme komunikáciu s EEPROM („uzatvoríme súbor“), násled-

ne otvoríme PCF8574 pre zápis, zapíšeme zapamätaný bajt a následne ukončíme komunikáciu s PCF8574; no a tak ďalej...

## Firmware

Na záver si v stručnosti predstavíme, ako pracuje firmware celej blikáčky. Po zapnutí sa najprv pokúsime načítať zoznam pripojených ozdôb z použitej I<sup>2</sup>C EEPROM. O to sa postará rutinka *load\_cnts*, ktorá jednoducho načíta prvých 16 bajtov, pričom vždy bajt na párnej adrese predstavuje I<sup>2</sup>C adresu ozdoby a bajt na nepárnej dĺžku (počet bajtov) definovaného efektu. Pokiaľ je I<sup>2</sup>C adresa FFh, považuje sa toto zariadenie ako nevyužitý.

Následne firmware zapne všetky LED na všetkých definovaných ozdôbkach (vyšle na všetky definované obvody hodnotu 00h) a po chvíli ich znova vypne. Potom na pár sekúnd „ukáže efekt“ pre prvú definovanú ozdôbu, potom pre druhú atď. Na 7-segmentovom displeji je pritom zobrazené poradové číslo ozdoby, ktorá sa práve „predváža“.

Keď to všetko prebehne, začne firmware v nekonečnom cykle (rutinka *main\_loop*) vysilať na jednotlivé ozdoby preddefinované efekty. Obsah EEPROM pre dve spomenuté ozdoby môže vyzeráť tak, ako na obr. 44.

Ako vidíme, adresa prvej ozdoby je 40h, čiže: 01000000 (ako sme si spomínali predtým, pričom posledný bit – ktorý už ku I<sup>2</sup>C adrese nepatrí je rovný 0), a dĺžka efektu pre túto ozdôbu je 05h – 5 bajtov. Druhá adresa je 42h, čiže 01000010 a dĺžka efektu 08h.

Tento „adresár“ je uložený v EEPROM od pamäťového miesta s adresou 00-00h. Efekt pre prvú ozdôbu nájdeme v EEPROM od pamäťového miesta s adresou 00-10h, pre druhú od miesta 00-20h.

Túto EEPROM je možné naprogramovať priamo pomocou PICkit2, prípadne iného programátora umožňujúceho programovať I<sup>2</sup>C EEPROM pamäte – a samozrejme, aj pomocou našej demodosky (podľa PE04/2014).

Na záver ešte jedna poznámka: Firmware vie pracovať aj bez tejto pamäte – čiže pokiaľ žiadnu EEPROM nepripojíme (prípadne použijeme nenaprogramovanú), firmware poslať „default-efekt“ na 8 I<sup>2</sup>C adres, zodpovedajúcim všetkým možným kombináciám I<sup>2</sup>C adresy pre PCF8574 (čiže 0100 000 – 0100 111).

Dúfam, že vás naše cvičenie zaujalo a želám vám všetkým veľa radosti pri stavbe, či vymýšľaní nových, lepších, krajších ozdôbok na stromček. Prípadné otázky prirodzene rád zodpoviem (pokiaľ to

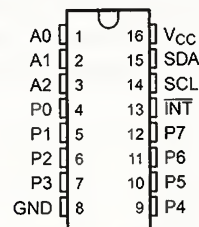
bude v mojich silách) prostredníctvom mailu: [miroslav.cina@t-online.de](mailto:miroslav.cina@t-online.de).

## Porty – Skupina A

Po malom odbočení k zábavnej elektronike začneme na tomto mieste – ako som už spomínal – mojim obľúbencom. Patrí do „Skupiny A“ (viď tabuľku 7 v diele 13) a volá sa PCF8574. Tento 8-bitový kváziobojsmerný GPIO je dostupný okrem iného v puzdre DIP16 (ako jeden z mála). Každý bit portu môže byť použitý ako vstupný alebo ako výstupný, pričom výstup je schopný priamo riadiť katódu LED diódy. Okrem toho obvod poskytuje Interrupt – výstup (INT) s otvoreným kolektorom, ktorý je aktívny v prípade, že sa zmení hodnota vstupu – viac podrobností si uvedieme neskôr.

Okrem toho sú k dispozícii tri adresové piny, ktorými je možné nastaviť I<sup>2</sup>C adresu čipu nasledovne: 0100 A2 A1 A0, čiže je možné na jednu I<sup>2</sup>C zbernicu pripojiť maximálne 8 takýchto obvodov. A keďže tento obvod má aj brásku – dalo by sa bezmála povedať – jednovaječné dvojča – známeho pod označením PCF8574A, ktorý sa líši len fixnou časťou I<sup>2</sup>C adresy, je ich vlastne možné pripojiť 16. Fixná časť adresy pre variantu „A“ je 0111 (namiesto 0100) – inak sú naozaj úplne rovnaké.

Zapojenie jednotlivých pinov čipu je nasledovné:



Činnosť obvodu si priblížime jednoduchým zapojením (obr. 45), ktoré môžeme použiť s I<sup>2</sup>C demodoskou (popísanou v PE10/2013). Postačí nám na to osem LED a osem tlačidiel.

Jednotlivé LED ukazujú prítomnosť logickej „0“ na výstupoch P0 až P7, pričom LED9 nám ukáže, kedy obvod signalizuje prerušenie. Samozrejme, v reálnom živote je signál INT buď nevyužitý, alebo pripojený na vstup riadiacej časti (procesora).

Pri zapojení treba dbať na dodržanie prúdových limitov pre čip, čiže neprekročiť nielen spotrebu 20 mA na jednotlivý bit, ale ani 100 mA na celý obvod – preto sú použité rezistory 270 Ω a nie nižšie. Keď tieto limity prekročíme, napríklad dodržíme 20 mA na port, ale podarí sa nám zapnúť všetkých 8 LED naraz, dostaneme sa na 160 mA celkovo, čo obvod síce krátkodobo vydrží, ale pokiaľ takéto zaťaženie trvá dlhšie, prípadne sa opakuje, obvod spoľahlivo zlikvidujeme (nechtiac som vyskúšal).

## Zápis – PCF8574 ako výstup

Najprv si popíšeme obvod v úlohe výstupného portu, čiže tlačidlá najprv nepoužijeme, a tiež LED9 nám veľmi nepobliká. Ako sme si už spomínali, konfigurovať nie je potrebné nič, čiže po adresovaní



Obr. 44. Obsah pamäte EEPROM



obvodu posielame ihneď hodnotu, ktorá bude vyslaná na port. Príslušná časť programu potom môže vyzerat' nasledovne:

```

;PCF8574 data send
p_send1
call    i2c_start    ;(1)
movlw   B'01000000'  ;I2C address of the device
call    i2c_send     ;(2)
movf    v_p0,0        ;byte to be send to the port
call    i2c_send     ;(3)
call    i2c_stop     ;(4)
return

```

Pričom v registri (premennej) v\_p0 je uložená hodnota, ktorá bude vyslaná na port. Pri našom zapojení „0“ znamená - príslušná LED svieti, „1“ - nesvieti.

Ako vidíme, po štart podmienke (1) adresujeme PCF8574 (2) v režime zápisu (podľa schémy - čiže verzia bez „A“ a všetky adresové vstupy pripojené na GND, plus zápis - čiže posledný bit rovný nule), a ihneď nato vysielame údaj na výstup (3). Napokon - ako vždy - ukončíme komunikáciu stop podmienkou (4).

Príslušná rutinka v demoprograme je o niečo málo komplikovanejšia, pretože sa stará aj o obvod PCF8575 (k tomu sa dostaneme neskôr).

V prípade, že chceme vysielat' viacero údajov za sebou, ktoré majú byť na port zapísané (napríklad „preblikat“ LEDkami), môžeme to urobiť bez prerušenia komunikácie. Nasledovný príklad zasvieti najprv LED pripojenú na P0, pričom všetky ostatné sú zhasnuté, potom zasvieti P1 atď., až po P7 a napokon zahasnú všetky.

```

;PCF8574 data send
pcf8574_example1
call    i2c_start    ;(1)
movlw   B'01000000'  ;I2C address of the device
call    i2c_send     ;(2)

movlw   B'11111110'  ;switch the first LED on
call    i2c_send     ;(3-0)
call    d22          ;wait a while

movlw   B'11111101'  ;switch the P1 LED on
call    i2c_send     ;(3-1)
call    d22          ;wait a while

movlw   B'11111101'  ;switch the P2 LED on
call    i2c_send     ;(3-2)
call    d22          ;wait a while

movlw   B'11110111'  ;switch the P3 LED on
call    i2c_send     ;(3-3)
call    d22          ;wait a while

movlw   B'11101111'  ;switch the P4 LED on
call    i2c_send     ;(3-4)

```

```

call    d22          ;wait a while

movlw   B'11011111'  ;switch the P5 LED on
call    i2c_send     ;(3-5)
call    d22          ;wait a while

movlw   B'10111111'  ;switch the P6 LED on
call    i2c_send     ;(3-6)
call    d22          ;wait a while

movlw   B'01111111'  ;switch the P7 LED on
call    i2c_send     ;(3-7)
call    d22          ;wait a while

movlw   B'11111111'  ;switch all LEDs off
call    i2c_send     ;(3-8)

call    i2c_stop     ;(4)
return

```

Ako je na prvý pohľad jasné, pokiaľ začneme I<sup>2</sup>C komunikáciu s našim obvodom (1 + 2) v režime zápisu, každý ďalší poslaný bajt bude automaticky prenesený na výstup (3-0 až 3-8). Týmto spôsobom je možné buď vyslať dátovú sekvenciu inému „zapojeniu“, alebo - ako v našom prípade - poblikat LED. Obvod prestane prijímať dáta až po detekovaní stop podmienky (4).

### Čítanie - PCF8574 ako vstup

„Náročnosť“ celej operácie čítania je podobná ako pri zápise. Treba si však dať pozor na jednu vec spomínanú výrobcom: pred použitím toho-ktorého pinu ako vstupu, je potrebné najprv zapísať doň jednotku. Prečo? Dôvod je jednoduchý: ako sme si niekoľkokrát spomínali, neexistuje žiaden konfiguračný register, ktorý by bol schopný odpojiť výstupné tranzistory od portu v prípade jeho použitia ako vstupu. Zápisom logickej jednotky sa teda uzavrie „výkonová časť“, a výstup je pripojený len na slabý prúdový zdroj, ktorý sme si porovnali s pull-up rezistorom. Preto je v tomto stave možné pripojiť pin na externý signál, ktorým môže byť logická nula alebo jednotka. V prípade, že by sme na

výstup logickú jednotku nezapísali, hodnotu vieme samozrejme prečítať aj naďalej, ale môže sa stať, že výstup je v logickej nule, čiže príslušný výstupný MOSFET je otvorený a my pripojíme na takýto port logickú jednotku, v najhoršom prípade „tlačidlo“ pripojené priamo na Vcc, čím viacmenej spôsobíme skrat, čiže zaťažíme tento tranzistor na maximum (pri 5 V ním začne pretekať zhruba 60 mA), čo ho po relatívne krátkom čase zničí. Slovo tlačidlo som uviedol v úvodzovkách, pretože pochopiteľne, pokiaľ pripájame naozaj tlačidlo, nemá ho zmysel zapájať oproti Vcc, keďže porty môžeme považovať za automaticky pripojené na Vcc cez pull-up rezistory, preto - ako aj v našom pokusnom zapojení - pripájame tlačidlo vždy oproti zemi. Tým nepotrebujeme žiadne ďalšie externé súčiastky (tlačidlo nestlačené = logická jednotka) a tiež sa nemôže stať, že obvod zničíme kvôli chybe v programe...

Vráťme sa teda ku programu. Za predpokladu, že chceme všetky bity použiť ako vstupné, môže byť rutinka na prečítanie aktuálneho stavu vstupov nasledovná:

```

;PCF8574 port read routine
;all ports are use as inputs
p_read1
nop

;Part 1 - send FFh to the device port ----- (A)
movlw   H'FF'
movwf   v_p0
call    p_send1

;Part 2 - read the values from the port ----- (B)
call    i2c_start    ;(1)
movlw   B'01000001'  ;device I2C address + read
call    i2c_send     ;(2)
call    i2c_receive   ;(3)
movwf   v_r0          ;store the value to v_r0

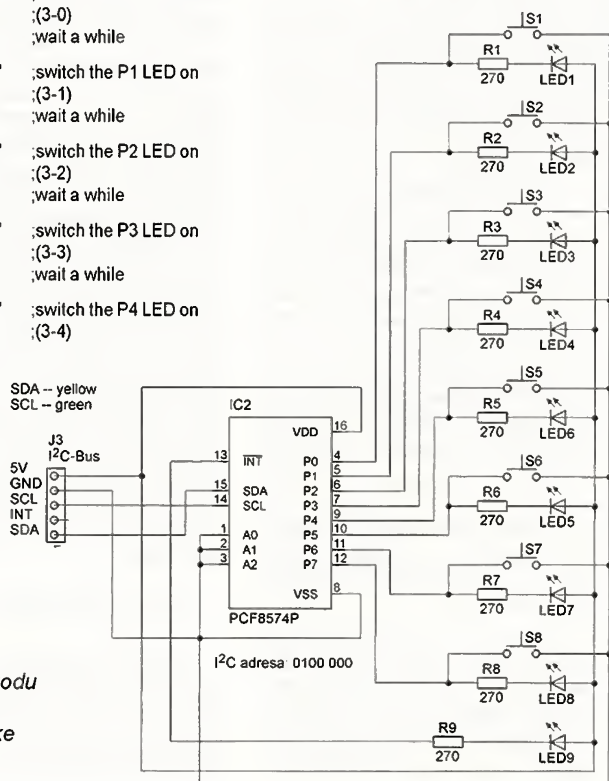
call    i2c_not_ack   ;(4)
call    i2c_stop      ;(5)
return

```

Na začiatku využijeme podprogram na zápis do portu, pričom posielame údaj FFh, čím všetky výstupy nastavíme na „1“ (A). Pokiaľ v našej aplikácii nemeňme smer toku dát, tento krok samozrejme stačí urobiť len raz, pri inicializácii a „nikdy viac“. A pokiaľ ani náhodou nezapísujeme do PCF8574, môžeme túto časť vypustiť úplne, pretože default hodnota výstupov po pripojení napájania je „1“.

Následne môžeme prejsť ku prečítaniu vstupov (B) nám už dobre známym spôsobom: začíname štart podmienkou (1) a vysielaním adresy obvodu na I<sup>2</sup>C zbernicu (2) s informáciou, že chceme čítať (posledný bit = „1“). V ďalšom kroku (3) potom prečítame, ako to na vstupoch v danom okamžiku vyzerá a načítaný údaj niekde uložíme pre neskoršie použitie (premená v\_r0) a komunikáciu ukončíme vyslaním not acknowledge (4) a stop podmienkou (5). Pre čítanie platí podobná logika ako pri zápise, čiže pokiaľ by sme radi čítanie niekoľkokrát opakovali, môžeme kroky (3) a (4) zopakovať koľkokrát chceme. Krok (4) potom ale samozrejme znamená vyslanie ACK a nie „NOTACK“. Pri viacnásobnom čítaní portu načítame vždy aktuálnu hodnotu.

Miroslav Cina  
(Pokračovanie nabudúce)



Obr. 45.  
Zapojenie obvodu  
PCF8574  
k demodoske



# JEDNODUCHÁ ZAPOJENÍ PRO VOLNÝ ČAS

## Drawdio

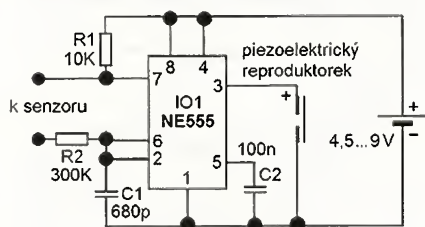
- zahrajte svou oblíbenou písničku pomocí tužky a papíru!

Zapojení pískátka vyluzujícího tóny s frekvencí závislou na odporu různých předmětů (nejčastěji čáry nakreslené na papíru měkkou tužkou) je mezi bastlíři vcelku známé a na internetu je nepřehledné množství jeho různých variant. Většina schémat však ještě obsahuje až zbytečně složitý koncový zesilovač pro klasický dynamický reproduktor. Dnes jsou však již dobře dostupné piezoelektrické měniče, které jsou pro vyzařování zvuku vhodnější. Proto zde popisují pískátko s „piezem“, nazvané drawdio, které má při stejné hlasitosti jako při použití „dynamiku“ daleko menší spotřebu elektrické energie z baterií.

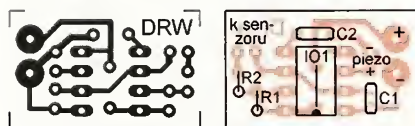
S tímto pískátkem se dá užít hodně zábavy. Zapojení je velmi jednoduché a je určené jak pro úplné začátečníky, tak i pro pokročilejší bastlíře.

### Popis zapojení

Schéma zapojení drawdia je na obr. 1. Přístroj obsahuje známý časovač 555 použitý jako astabilní multivibrátor a několik pasivních součástek okolo něj. Napájecí napětí drawdia je



Obr. 1. Schéma zapojení drawdia



Obr. 2. Deska s plošnými spoji a umístění součástek na desce drawdia (měř.: 1 : 1)

Obr. 3. Hotové drawdio na truhlářské tužce

4,5 až 9 V z malé baterie. Čím je odpor mezi vývody označenými jako senzor menší, tím vydává piezo vyšší tón. Oficiální video autora projektu najdete na [https://www.youtube.com/watch?v=PV\\_w38ldZaE](https://www.youtube.com/watch?v=PV_w38ldZaE). Oficiální stránky projektu jsou [drawdio.com](http://drawdio.com). Logo drawdia je na obr. 4.

### Konstrukce a oživení

Celé zapojení je realizováno na desce s jednostrannými plošnými spoji o rozměrech 15 x 25 mm (obr. 2). Masku pro vyleptání spojů lze zhotovit fotograficky, nakreslit fixem nebo nažehlít laserovým tonerem; leptá se v roztoku chloridu železitého ( $\text{FeCl}_3$ ).

Rozmístění součástek na desce je též na obr. 2. Nejprve osadíme drátovou propojku pod IO1, poté osadíme objímku pro IO1; zkušenější mohou zapájet IO1 přímo. Pak osadíme R1 a R2, které jsou kvůli zmenšení rozměrů desky připájeny na stojato. Následně připájíme C1 a C2. Připájíme kablíky pro napájení, izolované dráty (o průměru okolo 0,5 mm) k senzoru a kablíky s piezoreproduktorem (pozor na jeho polaritu!). Poté již stačí do objímky vložit IO1 (pozor, neotočit!) a můžeme začít zkoušet.

Zapojení lze realizovat i na desce s univerzálními plošnými spoji nebo také uspořádat přímo na vývodech IO1.

Po pečlivém sestavení by mělo drawdio ihned fungovat, protože je velmi jednoduché a neobsahuje žádné nastavitelné prvky. Připojte k drawdiu baterii, kterou ho budete napájet. IO1 by se neměl moc zahřívat. Vezměte dráty k senzoru do každé ruky jeden, zmáčkněte prsty odizolované konce a měli byste slyšet pískání. Zkuste stisk povolovat a zesilovat, při silnějším stisku uslyšíte vyšší tón než při slabším. Pokud je tomu tak, je drawdio plně funkční.

### Napájení a upevnění

K napájení drawdia jsou naprosto nevhodné síťové adaptéry, protože ho mohou nežádoucím způsobem

Obr. 4. Logo drawdia



uzemňovat. Nutné je plovoucí napájení z baterie. Vzhledem k tomu, že bude drawdio umístěno např. na tužce, je třeba mít baterie co nejlehčí. Nejlépe se osvědčily buď tři alkalické články AAA 1,5 V spojené do série a slepené do tvaru tříbokého hranolu, nebo alkalická destičková baterie 9 V (s tou se dosáhne vyšší hlasitosti).

Drawdio odebírá zanedbatelný proud (u mého se baterie stále ještě nezvládla vybit), takže je zbytečné používat nabíjecí články.

Desku se součástkami i baterii lze upevnit na tužku nebo i na jiné předměty, ale to všechno je na videu (viz dříve uvedený odkaz na web).

Na horní konec tužky (nejlépe truhlářské měkké) nalepíme desku oboustranně lepící páskou, baterii nalepíme naproti. Odizolovaný konec jednoho drátu k senzoru připojíme (např. omotáním) k přepínáčku, který je zapichnutý do tužky tak, aby se dotýkal tuhy; druhý drát k senzoru celý odizolujeme a omotáme kolem tužky po celé její délce tak, abychom se ho při držení tužky dotýkali (obr. 3). Pak už stačí jen nakreslit tužkou čáru, na nějakém místě se jí dotknout druhou rukou a dotýkáním čáry hrotem tužky vypískávat různé melodie... Hodně zábavy!

### Seznam součástek

R1	10 kΩ/0,25 W
R2	300 kΩ/0,25 W
C1	680 pF, keramický
C2	100 nF, keramický
IO1	NE555 (nepoužívat CMOS - sníží se hlasitost!)

„piezo“: nejlepší účinnost dosažena s KPT1540P z GME; pozor, kladný pól je označen tečkou!

Jiří Horák

## Automatický přepínač reproskříněk

Může se stát, že máme několik stereofonních audiozařízení, která mají své výkonové zesilovače a své reproskřínky. V takovém případě musíme postavit levé, resp. pravé reproskřínky všech audiozařízení vedle sebe, nebo musíme pár nejlepších reproskříněk (levou a pravou) nějakým přepínačem připojovat vždy k tomu zařízení, které je právě v provozu.

Máme-li jen dvě audiozařízení, může toto přepínání zajišťovat auto-



matický přepínač reproskříněk, jehož schéma zapojení je na obr. 5. I když je schéma dosti rozsáhlé, jedná se v principu o velmi jednoduchou konstrukci; ostatně v původním prameni byla publikována v rubrice MINIPROJEKTY.

Základem automatického přepínače jsou dvě relé RE1 a RE2 s dvou-pólovými přepínacími kontakty, která přepínají stereofonní výstupy dvou audiozařízení k jednomu páru reproskříněk. Protože do reproskříněk může být dodáván audiosignál o značném výkonu, jsou použita výkonová relé typu RM84 (polské výroby). Toto relé má dva přepínací kontakty dimenzované na 250 VAC/8 A a musí mít cívku pro ss napětí 12 V, která má odpor 360  $\Omega$  (budicí proud je tedy asi 34 mA). Lze jistě použít i relé jiného typu s podobnými parametry.

Kontakty relé jsou vyvedeny na šest dvoupólových svorkovnic K1 až K6. Levá reproskřínka se připojuje ke svorkovnici K3 (VÝSTUP L), pravá ke svorkovnici K6 (VÝSTUP R). Levý (L) a pravý (R) výstup prvního audiozařízení se připojuje na svorkovnice K1 (VSTUP 1L) a K4 (VSTUP 1R), výstupy L a R druhého audiozařízení se připojují na svorkovnice K2 (VSTUP 2L) a K5 (VSTUP 2R).

Obě relé s cívkami spojenými paralelně se ovládají binárním signálem odvozeným z audiosignálu přítomného na svorkovnicích K2 a K5. Když na K2 a K5 není audiosignál, jsou relé v klidové poloze a reproskřínky

jsou připojeny k prvnímu audiozařízení (ať už je nebo není v provozu). Když se na K2 a K5 objeví dostatečně silný signál z druhého audiozařízení, relé se aktivují a přepnou reproskřínky ke druhému audiozařízení (a to i v případě, když první zůstane v provozu).

Audiosignál se odebírá z K2 a K5 přes oddělovací kondenzátory C1 až C4 a oddělovací a součtové rezistory R1 až R4. Součtový signál je jednoduše usměrňován Schottkyho diodou D1; druhá dioda D2 chrání vstup následujícího zesilovače před přepětím. Kladné půlvy usměrňovaného audiosignálu jsou zesilovány operačním zesilovačem (OZ) LM358 (IO1A). Potřebné napěťové zesílení se nastává lineárním potenciometrem P1 (ZISK) zapojeným v obvodu záporné zpětné vazby. Zesílení se může pohybovat v mezích 1 (při běhu P1 v horní poloze) až asi 67 (při běhu P1 v dolní poloze).

Rozkmit zesílených půlvin audiosignálu se vyhodnocuje komparátorem LM311 (IO2). Rozhodovací úroveň komparátoru je definována napětím z běžce potenciometru P2 (ROZHOD. ÚROVEŇ), které je filtrováno RC článkem se součástkami R8 a C5 a je přiváděno na neinvertující vstup IO2. Komparátor není opatřen hysterezí, protože to není nutné.

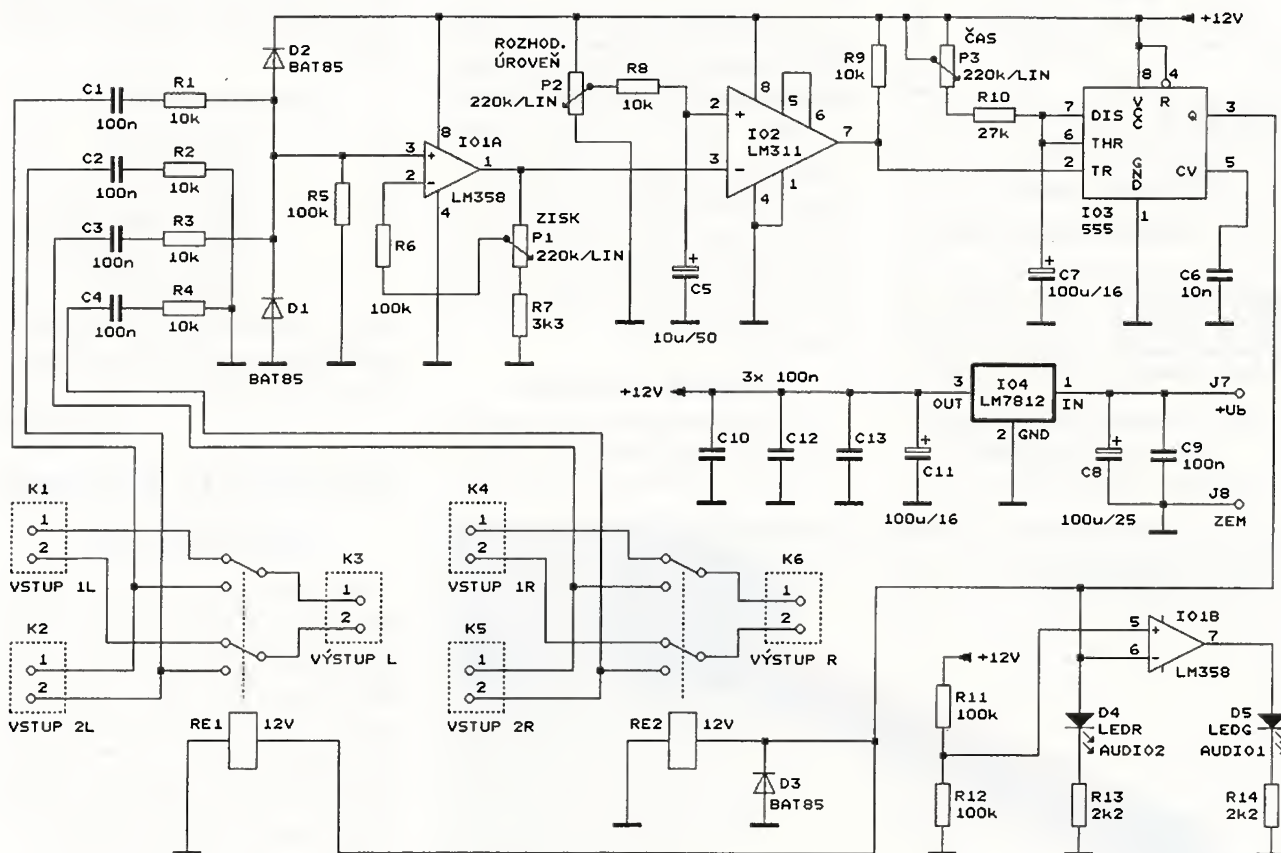
Pokud je signál z druhého audiozařízení na K2 a K5 slabý (jen šum, přeslechy apod.), nedosahují vrcholy jeho kladných půlvin na invertující

vstupu komparátoru rozhodovací úroveň a na výstupu komparátoru (7 IO2) je trvale vysoká úroveň H.

Když se po zapnutí druhého audiozařízení začne na K2 a K5 vyskytovat řádný audiosignál, začnou (při vhodném nastavení P1 a P2) jeho kladné půlvy na invertujícím vstupu komparátoru překračovat rozhodovací úroveň a na výstupu komparátoru se v těchto okamžicích začnou objevovat impulsy nízké úrovně L. To je informace potřebná k tomu, aby se aktivovala relé.

Aby relé nekmitala a byla aktivní po dostatečně dlouhou dobu (i během delších pauz apod. v signálu z druhého audiozařízení), jsou impulsy úrovně L z výstupu komparátoru prodlužovány znovuspustitelným monostabilním klopným obvodem (MKO) realizovaným s časovačem 555 (IO3). Impulsy z komparátoru se přivádějí na spouštěcí vstup 2 IO3. Doba kyvu je určována hodnotami součástek P3, R10 a C7 a potenciometrem P3 (ČAS) ji lze podle potřeby nastavit v rozmezí přibližně 3 (při běhu P3 v dolní poloze) až 30 s (při běhu P3 v horní poloze).

Je-li na výstupu komparátoru trvalá vysoká úroveň, je MKO v klidovém stavu a na jeho výstupu 3 IO3 je trvalá úroveň L. Prvním impulsem úrovně L z komparátoru se spustí kyv MKO a výstup MKO přejde na dobu nastaveného času kyvu do úrovně H. Následují-li další spouštěcí impulsy, a jsou-li mezery mezi nimi kratší než

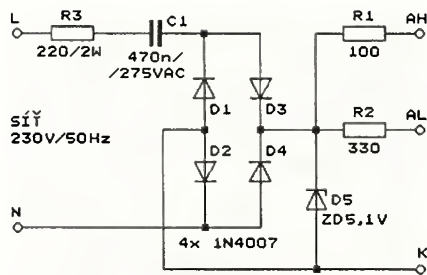


Obr. 5. Schéma zapojení automatického přepínače reproskříněk









Obr. 7. Schéma zapojení síťového zdroje pro LED

určována předřadným kondenzátorem C1.

Pokud by byl C1 o kapacitě  $C1 = 470 \text{ nF}$  připojen přímo na přívod sítě na svorkách L (fázový vodič) a N (nulový vodič), na kterých je sinusové síťové napětí o kmitočtu  $f = 50 \text{ Hz}$  a o efektivní hodnotě  $U_{ef} = 230 \text{ V}$ , protékal by jím sinusový proud o efektivní hodnotě  $I_{ef}$  určené vztahem:

$$I_{ef} = U_{ef} \cdot 2 \cdot \pi \cdot f \cdot C1 =$$

$$= 230 \cdot 2 \cdot 3,14 \cdot 50 \cdot 0,47 \cdot 10^{-6} = 34 \text{ mA},$$

resp. o špičkové hodnotě:

$$I_{sp} = \sqrt{2} \cdot I_{ef} = 48 \text{ mA}.$$

Pokud bychom potřebovali jinou velikost proudu, použijeme C1 s odlišnou kapacitou, kterou vypočítáme na základě předcházejícího vztahu.

C1 musí být dimenzován na síťové napětí, tj. jeho provozní napětí musí být 275 V/50 Hz (275 VAC).

R3 omezuje proudový náraz při nabíjení C1 po jeho připojení k síti a kvůli spolehlivosti by měl být drátový. Může být i vrstvý, ale bez vybroušené drážky, protože vybroušením drážky může vzniknout velmi zúžené místo odporové vrstvy, které je při impulsním zatížení značně přetíženo a může se přepálit (osobní zkušenost redaktora).

Ve zdroji se proud tekoucí kondenzátorem C1 uzavírá přes můstkový usměrňovač s diodami D1 až D4 a Zenerovu diodu D5 se Zenerovým napětím 5,1 V a zatížitelností 1,3 W.

Diodou D5 tudíž protéká proud jen jedním směrem (od katody k anodě) a vytváří na ní úbytek napětí ve tvaru impulsů o kmitočtu 100 Hz a o amplitudě 5,1 V.

Paralelně k D5 se přes předřadný rezistor R1 nebo R2 připojuje napájená LED. Její anoda vede na svorku AH nebo AL, katoda na svorku K. Část proudu, který by protékal diodou D5, tak protéká diodou LED. Volbou svorky AH nebo AL pro připojení anody LED volíme jas LED, který je na svorce AH větší, protože R1 má menší odpor než R2. Skutečná velikost proudu protékajícího diodou LED není v původním prameni uvedena.

**Pozor! Konstrukce je určena jen zkušeným amatérům! Všechny součástky zdroje včetně LED jsou galvanicky spojeny se sítí, a proto, aby se předešlo úrazu elektrickým proudem, je nutné zdroj i LED dobře izolovat. Při stavbě, zkoušení a provozu tohoto zapojení musejí být dodržovány příslušné bezpečnostní předpisy!**

MM

Elektronika praktyczna, 8/2014

## QRP vysílač pro ARDF v pásmu 145 MHz

V minulém čísle tohoto časopisu byly v této rubrice uvedeny základní informace o ARDF (rádiovém orientačním běhu) a byl popsán QRP vysílač pro pásmo 3,5 MHz určený pro provoz s nemodulovanou telegrafii.

V nynějším příspěvku je popsán jednoduchý QRP vysílač pro ARDF pracující na kmitočtu 144 MHz s provozem s modulovanou telegrafii. Jeho schéma zapojení je na obr. 8.

Vysílač je čtyřstupňový s tranzistory T1 až T4.

Prvním stupněm je oscilátor s T1 typu 2N3904 řízený harmonickým krystalem o kmitočtu 48 MHz. Aby krystal kmital na správné harmonické,

je v kolektoru T1 rezonanční obvod se součástkami L1 a C1 naladěný na kmitočet 48 MHz. Cívka L1 je samonosná a má 7 závitů lakovaného drátu o průměru 0,35 mm navinutých na vnitřním průměru 7 mm těsně vedle sebe.

Druhý stupeň s T2 typu 2N3904 pracujícím ve třídě C slouží jako ztrojovač kmitočtu oscilátoru. V kolektoru T2 je rezonanční obvod se součástkami L2 a C2 naladěný na trojnásobek kmitočtu oscilátoru, tj. na 144 MHz. Cívka L2 je samonosná a má 3,5 závitů lakovaného drátu o průměru 0,5 mm navinutých na vnitřním průměru 7 mm těsně vedle sebe.

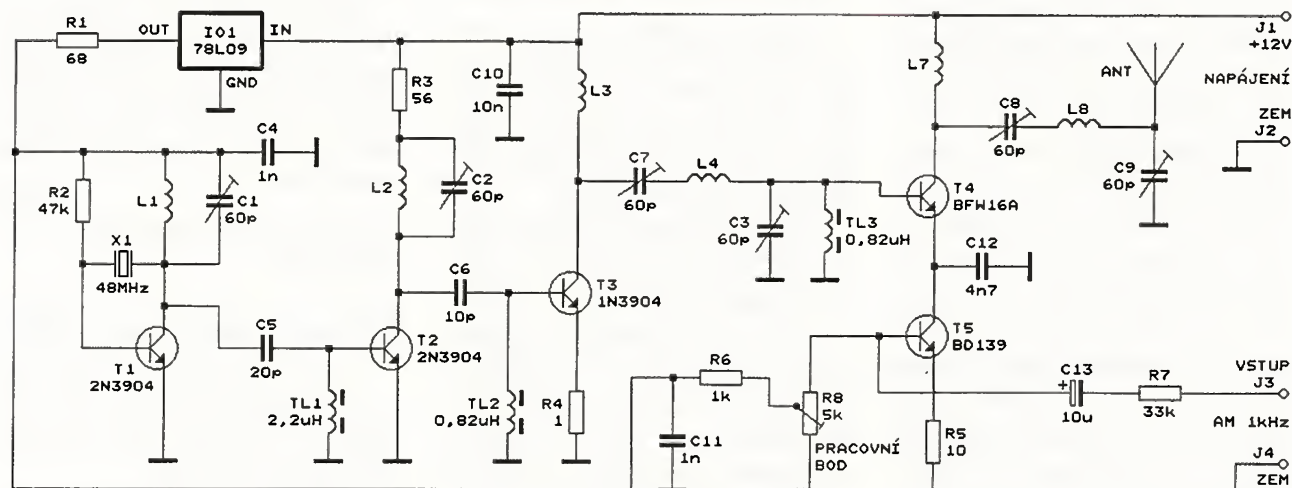
Další dva stupně s T3 typu 2N3904 a T4 typu BFW16A, které rovněž pracují ve třídě C, slouží jako zesilovače výkonu. Laděné obvody s cívkami L3, L4, L7 a L8 a trimry C7, C3, C8 a C9 přizpůsobují navzájem T3 a T4 a anténu k T4. Cívky L3 a L7 jsou samonosné a každá má 2,5 závitů lakovaného drátu o průměru 0,5 mm navinutých na vnitřním průměru 7 mm těsně vedle sebe. Cívky L4 a L8 jsou postříbřené drátu o průměru 1 mm navinutých na vnitřním průměru 7 mm. Závitů každé cívky jsou roztaženy na délku 15 mm.

Amplitudové modulace je dosaženo ovládáním emitorového proudu koncového stupně s T4 modulačním tranzistorem T5 typu BD139. Pracovní bod T5 se nastavuje trimrem R8. Modulační signál o kmitočtu 1 kHz se přivádí na svorky J3 a J4. Tvar ani rozkmit tohoto signálu ani zapojení jeho zdroje nejsou v původním prameni uvedeny.

Vysílač je napájen akumulátorem o jmenovitém napětí 12 V. Napájecí napětí oscilátoru je stabilizováno obvodem 78L09 (IO1). Napájecí proud, ale ani výkon vysílače a typ a rozměry antény rovněž nejsou v původním prameni uvedeny.

MM

Świat Radio, únor 2012



Obr. 8. Schéma zapojení QRP vysílače pro ARDF v pásmu 145 MHz



# Zdroj s předregulátorem 1,5 až 25 V/2,5 A

Stanislav Pechal

VYBRALI JSME NA  
OBÁLKU



Napájecí zdroje jsou jednou z nejčastějších konstrukcí, do jakých se amatérští elektrotechnici pouštějí. V dostupné literatuře a na internetu lze najít řadu námětů, podle nichž si můžete postavit vlastní regulovatelný zdroj do dílny. Bohužel především mnoho zapojení z internetu je funkčních pouze s omezením nebo často pracují jenom krátkou dobu a pak „vyhoří“. Autor obvykle nepočítá s tepelnými ztrátami jednotlivých součástek a provoz pak musí zachraňovat dodatečné ventilátory, nejsou-li přímo překročeny mezní parametry součástek. Příčinou bývají špatně vyhodnocené reálné parametry výkonových prvků v obvodech lineárního stabilizátoru. Správné výkonové dimenzování součástek je zvláště u začínajících konstruktérů častým kamenem úrazu.

Naproti tomu dobře navržené spínané zdroje nejsou obvykle náchylné na teplotní přetížení, mají ale jiné nevýhody - např. zvlnění výstupního napětí. Především však jejich návrh není zcela triviální záležitostí. Následující konstrukce by měla nabídnout ukázkou řešení jednoduchého zdroje pro mírně pokročilého elektrotechnika, která kombinuje výhody obou zmíněných koncepcí zdrojů.

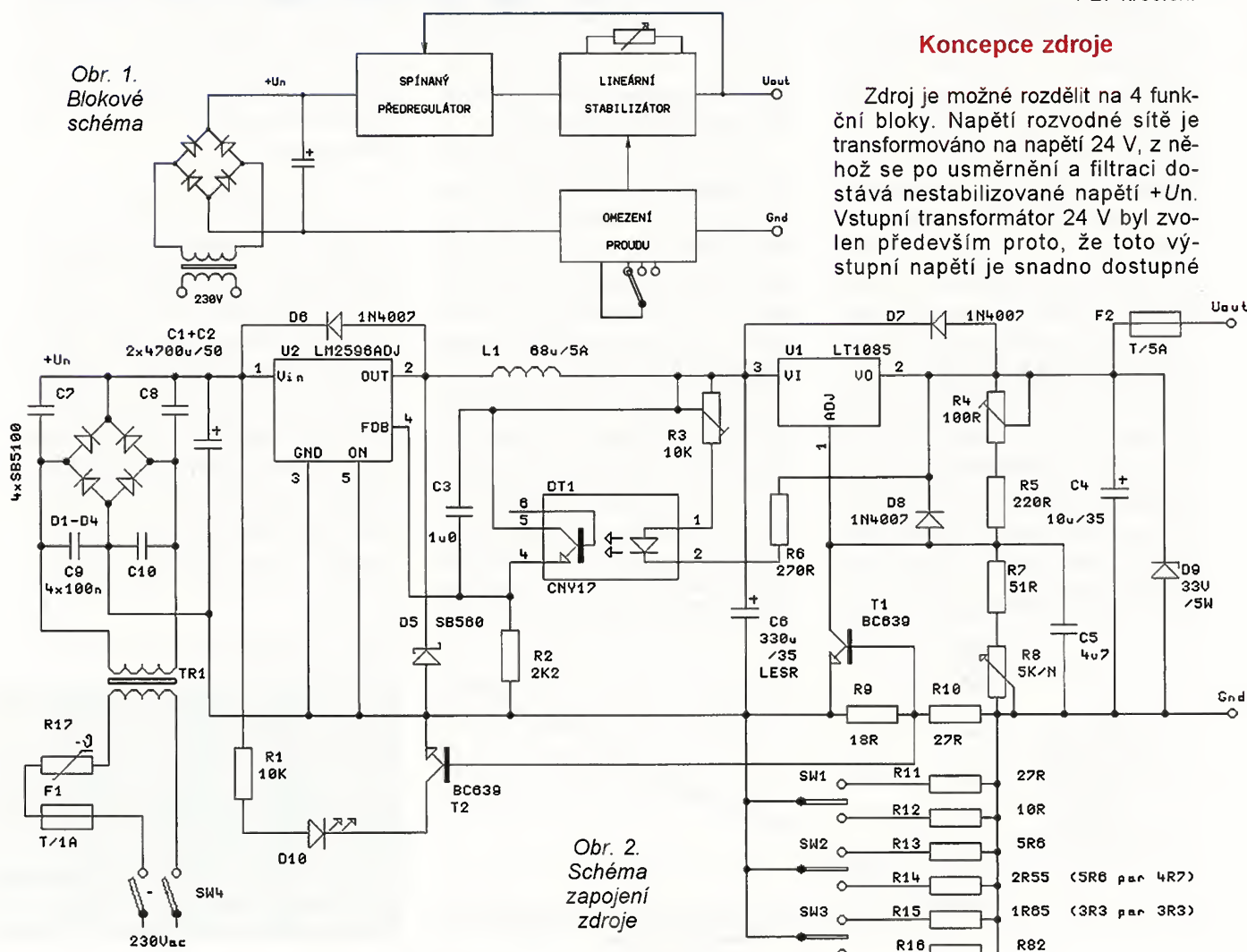
Uvedené zapojení přináší výhody lineárního stabilizátoru a současně využívá přínos spínaných zdrojů, takže nevyžaduje velké chladicí plochy nebo ventilátor. Cílem bylo vytvořit regulovatelný zdroj pro běžné použití v dílně elektrotechnika s co nejmenším počtem součástek a snadno pochopitelným nebo modifikovatelným zapojením.

## Parametry zdroje

Vstupní st. napětí: 230 V.  
Výstupní ss napětí minim.: 1,5 V.  
Výstupní ss napětí max.: 25 V.  
Maximální výst. proud: 2,5 A.  
Nastavení proudového omezení:  
v 27 krocích.

## Koncepce zdroje

Zdroj je možné rozdělit na 4 funkční bloky. Napětí rozvodné sítě je transformováno na napětí 24 V, z něhož se po usměrnění a filtraci dostává nestabilizované napětí  $+U_n$ . Vstupní transformátor 24 V byl zvolen především proto, že toto výstupní napětí je snadno dostupné





a také aby všechny obvody za transformátorem byly odděleny od nebezpečného síťového napětí. Použitý typ transformátoru by měl být kvalitní bezpečnostní s dvojistou izolací.

Spínaný předregulátor snímá napětí na výstupní svorce  $U_{out}$  a udržuje na vstupu lineárního stabilizátoru konstantní rozdílové napětí tak, aby stabilizátor pracoval s nejmenší výkonovou ztrátou. Lineární stabilizátor je centrální částí zařízení a přináší do obvodu některé výhody, které má proti spínaným stabilizátorům. Především jde o potlačení zvlnění ze spínaného předregulátoru a rychlejší odezvu regulační smyčky. K nastavení výstupního napětí se používá otočný potenciometr. Posledním blokem je obvod proudového omezení, který umožňuje přepínačem zvolit omezení výstupního proudu na požadovanou hodnotu. Zdroj omezuje proud po dosažení nastavené úrovně, přitom není přetížena regulační součástka výkonovou ztrátou. Elektronická pojistka, která by vypnula výstup zdroje, by obvodově zapojení dále komplikovala.

### Popis zapojení (obr. 2)

Schéma celého zařízení není složité a lze v něm snadno nalézt jednotlivé části z uvedeného blokového zapojení (obr. 1):

Lineární stabilizátor U1 patří do kategorie „třísvořkových“ stabilizátorů s nastavitelným výstupním napětím. Požadované výstupní napětí se z vnitřního referenčního napětí 1,25 V určí pomocí proměnného děliče na výstupu, složeného z R4 + R5 a R7 + R8. Změnou odporu potenciometru R8 se mění výstupní napětí tak, aby na rezistorech R4 + R5 bylo stabilní napětí odpovídající vnitřní referenci obvodu U1. Kondenzátory C4 a C5 zlepšují stabilitu a reakci na skokové změny odebíraného proudu. Aby mohl obvod U1 pracovat s minimální výkonovou ztrátou, je na jeho vstupu  $V_I$  udržováno minimální napětí potřebné pro jeho správnou činnost. Např. je-li na výstupu zdroje nastavené napětí 5 V, integrovanému obvodu LT1085 postačí ke správné funkci za normálních podmínek vstupní napětí 6,5 V. Vstupní napětí pro U1 reguluje integrovaný obvod U2. Je zapojený téměř v katalogovém zapojení, úprava

je pouze v části zpětné vazby. Zpětná vazba je opět tvořena děličem složeným z rezistoru R2 a tranzistoru v optočlenu DT1. Obvod U2 má stejné referenční napětí 1,25 V, které se snaží udržet na svém vstupu  $FDB$ . Pro správnou činnost spínaného měniče napětí U2 jsou důležité vlastnosti tří součástek. Cívka L1 by měla mít co nejmenší sériový odpor, měla by být dimenzovaná na větší proud (alespoň 5 A) a její jádro musí mít přijatelné ztráty pro pracovní kmitočet 150 kHz. V případě, že byste neměli odpovídající cívku a chystali se ji sami navinout, můžete se inspirovat např. v [6] nebo [7]. U diody D5 je nutné, aby měla minimální úbytek v propustném směru a patřila mezi rychlé typy. Na tomto místě se nejlépe hodí Schottkyho dioda dimenzovaná na 3 a více ampér. Třetí důležitou součástí u spínaného zdroje je filtrační kondenzátor C6. Je potřeba vybrat typ s malým sériovým odporem.

Regulační smyčka předregulátoru je pak uzavřena přes optočlen DT1. Úbytek napětí mezi vstupem a výstupem U1 je dán napětím na LED v optočlenu DT1 a úbytky napětí na rezistorech R3 a R6. R6 zde funguje jako ochrana LED a určuje maximální velikost proudu přes LED v mezním stavu, který by mohl nastat při zkratování trimru R3. Proud, který musí protékat přes LED, je určen CTR parametrem optočlenu. Zvolený odpor trimru R3 by měl postačovat na dostatečně široký rozptyl tohoto parametru.

Vstup zdroje je zapojen jako běžný dvoucestný můstkový usměrňovač. Protože kapacita filtračních kondenzátorů C1 a C2 je větší a síťový transformátor také nepatří mezi nejmenší typy, mohla by se při startu přerušovat náběhovým proudem pojistka T1. Z tohoto důvodu je na primární vinutí transformátoru zařazen ochranný NTC termistor R17.

Poslední funkční částí je jednoduchý obvod omezení výstupního proudu. Tvoří jej tranzistor T1 a rezistory R9 až R16. Jestliže se při protékajícím proudu vytvoří úbytek napětí asi 0,6 V na rezistoru R9, otevře se tranzistor T1 a začne omezovat výstupní napětí. Na rezistorech R9 a R10 bude v tento okamžik asi 1,6 V, což již stačí pro činnost stabilizátoru U1 i při

zkratu na výstupu. Rezistor R7 je v obvodu nutný, aby zabránil vyřazení T1 z funkce při nulovém odporu na R8. Velikost výstupního proudu je možné nastavit poměrně netriviálně pomocí 3 páčkových přepínačů typu ON-OFF-ON. Přidáváním dalších bočnickových odporů je pak možné nastavovat omezení výstupního proudu v 27 krocích podle obr. 3. To by mělo být dostatečné pro běžné použití v dílně.

Uvedené nastavení a jeho průběh platí pro ideální vypočítané hodnoty. Ty se budou v reálných podmínkách vždy mírně lišit podle odchylek použitých součástek. Pro ukázkový průběh byly zvoleny odpory podle tab. 1.

Je zřejmé, že funkce proudového omezení není ideální. Nastavená hodnota omezovaného proudu se bude mírně měnit s nastavením R8, teplotou uvnitř přístroje (vliv na T1 a na R9 až R16) atd. Pro požadovaný účel - tj. jednoduché omezení proudu - se v praxi ukazuje, že obvod vyhovuje a je plně použitelný.

Doplňkový tranzistor T2 slouží na signalizaci proudového omezení výstupu. Začíná se otevírat současně s T1 a rozsvěcuje D10. Aby správně pracoval, měl by být shodného typu a stejné výrobní série jako T1. Pak lze u nich předpokládat s velkou pravděpodobností shodu parametrů.

Zbývající součástky - D6 až D9 a F2 se při normálním provozu neuplatňují. Fungují jako ochranné prvky při mezních stavech (např. připojení opačně pólového akumulátoru na výstup apod.).

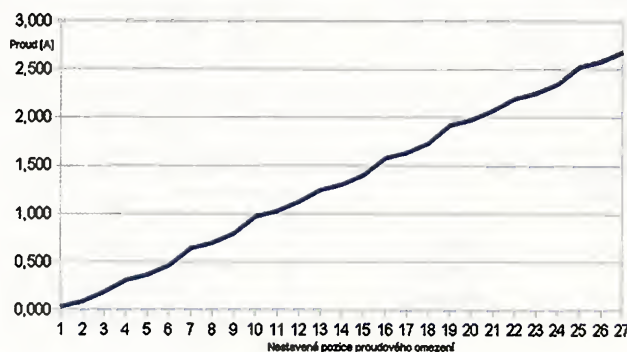
### Konstrukce zdroje

Elektronika vlastního zdroje je umístěna na jedné desce s plošnými spoji velikosti 133 x 97 mm. Při použití jiného chladiče nebo při nedostatku místa je možné desku dále zmenšit oříznutím po stranách. Většina součástek je osazena přímo na desku. Diody D1 až D4 se osazují nastojato. Oba integrované obvody mají pro předepsaný typ chladičů krátké vývody. Je potřeba jejich prodloužení pomocí krátkých vodičů. Na desku spoju jsou umístěny i dvě drátové propojky. Deska s plošnými spoji je na obr. 4 a rozmístění součástek je na obr. 5.

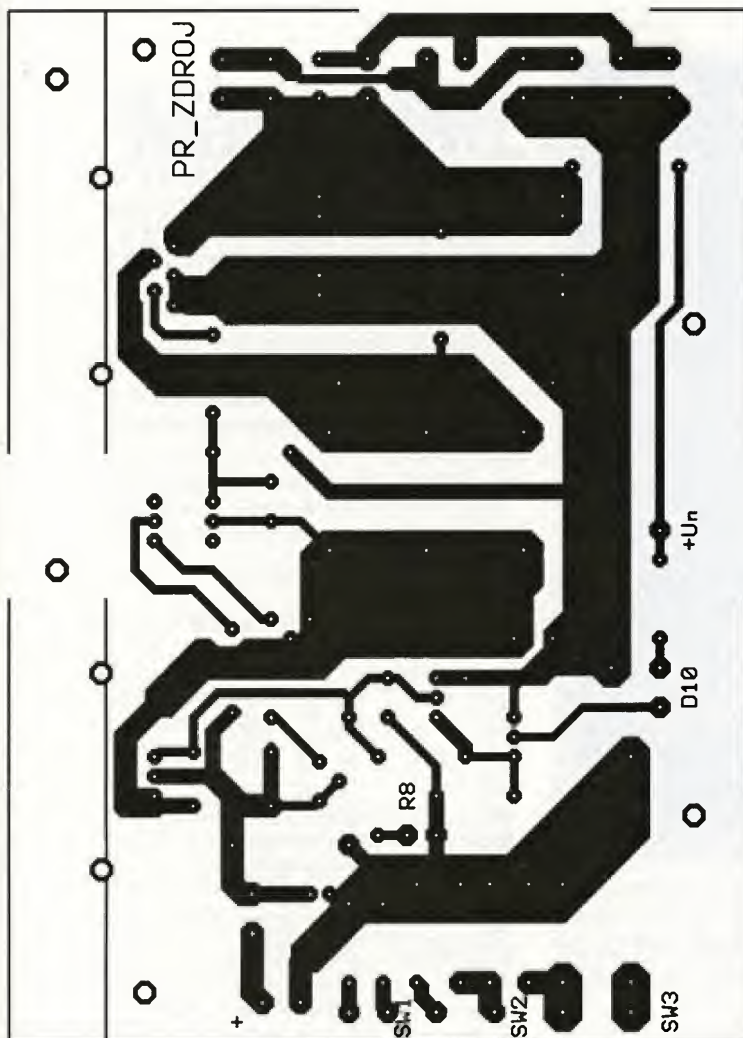
Tab. 1. Tabulka odporů rezistorů pro ukázkový průběh

Rezistor	Odpor [Ohm]	Proud [mA]	Ztrátový výkon [W]
R9+R10	45	35	0,05
R11	27	60	0,09
R12	10	150	0,24
R13	5,6	300	0,43
R14	2,55	600	0,94
R15	1,65	900	1,5
R16	0,82	1800	2,9

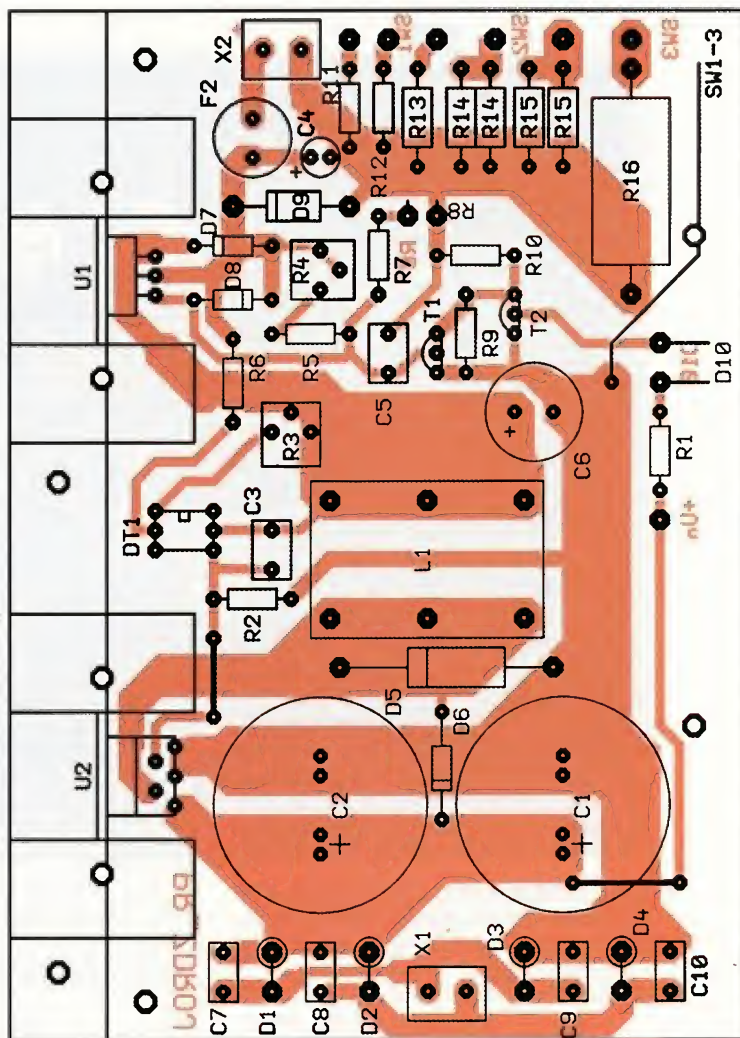
Obr. 3. Nastavování omezení výstupního proudu ve 27 krocích







Obr. 4. Deska s plošnými spoji zdroje



Obr. 5. Rozmístění součástek zdroje

### Oživení a nastavení přístroje

Po pečlivé vizuální kontrole zapojení všech součástek můžeme přistoupit k vlastnímu oživení zdroje. Po zapnutí zdroje zkontrolujeme, zda nestabilizované napětí  $U_n$  na kondenzátorech C1 a C2 je asi 37 V. Pomocí trimru R3 nastavíme rozdíl napětí mezi vývody VI a VO obvodu U1 na 1,5 V. Pokud použijete jiný typ stabilizátoru, musíte toto napětí patřičně zvětšit (viz dále).

Nastavte výstupní napětí potenciometrem R8 na maximum. Trimr R4 pak slouží ke korekci celého děliče, protože odporová dráha potenciometru R8 nemusí mít přesnou hodnotu. Trimrem R4 nastavte při maximálním natočení potenciometru na výstupních svorkách zdroje napětí 25 V. Podle použitého transformátoru by asi bylo možné nastavit i mírně vyšší hodnotu, ale ne ve všech případech by byla zaručena správná funkce i při kolísání síťového napětí.

Polohy všech přepínačů proudového omezení dejte do střední polohy, R8 nastavte asi do poloviny dráhy. Výstupní svorky zdroje spojte ampérmetrem. Proud se musí omezit na nejmenší hodnotu podle tab. 1. Postupně zapínáme jednotlivé rezistory a kontrolujeme, jestli proud odpovídá přibližně hodnotám uvedeným v ta-

bulce. Maximální proud získáme při současném zapnutí rezistorů R12, R14 a R16.

Jako další krok bychom měli zkontrolovat stabilitu zdroje. Ideální pro tuto činnost je osciloskop. Zdroj zatěžujeme proměnnou zátěží nebo zkratujeme jeho výstup a při různých proudových omezeních kontrolujeme stabilitu napětí na vstupu a výstupu U1. V nouzi můžeme použít vlastní sluch. Nestabilita se obvykle projeví „zpívající“ cívkou L1. Kmitání na nižších frekvencích je slyšitelné po přiblížení k cívce. Správně pracující zdroj je úplně tichý, protože jeho spínaný měnič pracuje mimo akustické pásmo.

Posledním testem by mohla být výkonová zátěž. Na výstup byste mohli připojit odporovou zátěž ve formě např. dvou sériově zapojených žárovek 12 V/20 W. Obě žárovky rozsvítíte a nechte zdroj zapnutý po dobu alespoň jedné hodiny. Pak zařízení vypněte, odpojte od sítě a rukou opatrně zkontrolujte teplotu součástek ve zdroji. Kromě R16 byste měli na chladičích, transformátoru i všech ostatních součástkách udržet prst.

### Modifikace a úpravy

V případě, že by vám nevyhovovaly hodnoty proudového omezení,

můžete si snadno upravit proudové rozsahy podle svých potřeb. Patřičný bočník ke snímacím rezistorům R9 a R10, který by nahradil nebo doplnil řadu rezistorů R11 až R16, si snadno dopočítáte podle vzorce:

$$R = 1,55/I \quad [\Omega; A],$$

kde  $I$  je požadovaný proud. Nezapomeňte, že nastavení maximálního výstupního proudu při kombinování rezistorů nesmí překročit 2,5 A.

V seznamu součástek je na místě lineárního stabilizátoru U1 uveden typ LM1085. Jedná se o tzv. nízkovýbovkový (low-drop) stabilizátor s velmi dobrými parametry. Pokud byste jej nesehnali, můžete jej nahradit dostupnějším obvodem LM350. Ten však nemá malý úbytek, v jeho případě musíte mezi svorkami 2 a 3 obvodu U2 nastavit rozdíl napětí alespoň 2,8 V. Tím se přibližně dvojnásobně zvedne výkonová ztráta, kterou musí vyzářit chladič. Bylo by proto vhodné použít lepší chladič s menším teplotním odporem.

Zdroj je plně použitelný samostatně tak, jak je zde popsán. Pro komfort obsluhy je však samozřejmě lepší, je-li doplněn o vhodný měřič výstupního napětí a proudu. Na jeho výstup je možné připojit např. analogový voltmetr (s rozsahem do 30 V) a ampérmetr (s rozsahem do 3 A). Na fotografii hotového vzorku zdroje je v jeho





Obr. 6

panelu osazen jednoduchý měřič V/A s mikrořadičem. Konstrukce tohoto přístroje bude popsána v pokračování v příštím čísle.

### Mechanická konstrukce (obr. 6, 7)

Elektroniku zdroje je nutné vestavět do vhodné skříňky. Vhodnější je pevná plastová krabice odpovídající velikosti. Pokud byste použili kovovou skříňku, je nezbytné použít pro síťové napájení třípramenný kabel s připojením na ochranný kolík v zásuvce. Třetí zelenožlutý vodič pak pevně spojte přímo s kovovou základnou skříňky. Do skříňky umístěte desku s elektronikou a transformátor. Ostatní součástky jsou připevněny na čelní a zadní panel přístroje. Při rozmístění ovládacích prvků se snažte volit taková místa, aby propojovací vodiče k nim byly co nejkratší.

Použijete-li pro potenciometr R8 větší knoflík, bude se snadněji nastavovat potřebné výstupní napětí. S úzkým knoflíkem nebo přímo samotnou hřídelkou potenciometru se hůře ma-

nipuluje. Případně byste mohli sériově k potenciometru doplnit druhý s malým odporem (např. 100  $\Omega$ ) pro jemné nastavení výstupního napětí.

### Závěr

I když lze určitě koupit regulovatelný zdroj podobných parametrů za cenu srovnatelnou s cenou součástek a materiálu, vlastnoručně vyrobený přístroj přinese vždy více uspokojení. Navíc získáte unikátní 24hodinový servis, neboť opravy, servis a záruku si musíte zajistit sami.

**Závěrečné důležité upozornění:**  
*Primární část přístroje je přímo spojena s napětím 230 V. Nemáte-li odpovídající kvalifikaci, nechte oživení a případnou opravu na zkušenějším a patřičně kvalifikovaném kolegovi či známém. Na podobné činnosti se snažte nejříve získat odbornou způsobilost.*

### Použitá literatura

[1] ON Semiconductor: LM2596 3.0A, Step-Down Switching Regulator, Nov. 2008.

- [2] Linear Technology: LT1083/LT1084/LT1085 7,5 A; 5 A, 3 A Low Dropout Positive Adjustable Regulators.  
[3] ON Semiconductor: LM350 3.0 A, Adjustable Output, Positive Voltage Regulator, Aug. 2006.  
[4] National Semiconductor: LM117/LM317A/LM317 3-Terminal Adjustable Regulator, Apr. 2007.  
[5] Diotec Semiconductor: SB520... SB5100, 28. 02. 2002.  
[6] Faktor, Z.: Transformátory a tlumivky pro spínané napájecí zdroje. BEN 2002.  
[7] Patočka, M.: Magnetické jevy a obvody ve výkonové elektrotechnice, měřicí technice a silnoproudé elektronice. VUTIUM 2011.

### Seznam součástek zdroje

R1	10 k $\Omega$ , 0207
R2	2,2 k $\Omega$ , 0207
R3	10 k $\Omega$ , trimr
R4	100 $\Omega$ , trimr
R5	220 $\Omega$ , 0207
R6	270 $\Omega$ , 0207
R7	51 $\Omega$ , 0207
R8	5 k $\Omega$ /N
R9	18 $\Omega$ , 0207
R10, R11	27 $\Omega$ , 0207
R12	10 $\Omega$ , 0207
R13, R14a	5,6 $\Omega$ , 1 W
R14b	4,7 $\Omega$ , 1 W
R15a, R15b	3,3 $\Omega$ , 2 W
R16	0,82 $\Omega$ , 5 W, drátový
R17	NTC25R-2A1
C1, C2	4700 $\mu$ F/50 V
C3	1 $\mu$ F/min. 50 V, fóliový
C4	10 $\mu$ F/35 V, tantalový
C5	4,7 $\mu$ F/min. 50 V, fóliový
C6	330 $\mu$ F/35 V, LESR
C7 až C10	100 nF/min. 100 V, fóliový
U1	LT1085, TO-220
U2	LM2596-ADJ, TO-220-5
DT1	CNY17-4 (CNY17-3), DIL6
D1 až D4	SB5100, Schottky
D5	SB560, Schottky
D6 až D8	1N4007
D9	1N5364, 5 W, 33 V
D10	LED, žlutá, 3 mm
T1, T2	BC639, TO-92
L1	68 $\mu$ H/5 A (64 až 100 $\mu$ H) např. SFT1240
F1	T1A pojistka 5x 20 mm s držákem na panel
F2	T5A pojistka do plošných spojů s držákem
X1, X2	5 mm dvojité svorkovnice do plošných spojů
SW1 až SW3	KNX3 přepínače ON-OFF-ON (TS3P)
SW4	síťový spínač dvoupólový
TR1	230 V/24 V transformátor 100 VA
	Přístrojová zdíčka 4 mm, černá a červená, 2 ks
	Chladič CH142/38-BLK pro integrované obvody U1 a U2.

(Dokončení příště)

Obr. 7





# Měřič MMLC pro malé indukčnosti a kapacity

Ing. Milan Bureš

VYBRALI JSME NA  
OBÁLKU

Popsaným rezonančním přípravkem ve spojení s čítačem změříme nejen indukčnosti a kapacity, ale i vlastní kapacitu cívek, po doplnění předpětovým obvodem kapacitu varikapů atd. Konstrukce je vhodná i pro méně zkušené, určitou zkušenost vyžaduje zhotovení cívky.

## Technické údaje

### Rozsah měření indukčností:

0,1  $\mu$ H až 1 H (10 H).

### Rozsah měření kapacit:

1 pF až 1  $\mu$ F.

Měřicí napětí: 55 mV.

Výstupní napětí: 350 mV.

Napájení ze ss zdroje: 12 až 18 V.

Spotřeba: 5 až 8 mA.

Rezonanční měřiče používající cívku 1 a 25,33  $\mu$ H, dolažovanými na kmitočty 1 MHz, jsou oblíbeny pro svoji jednoduchost. Nejsou však nejpřesnější. Na tom má vliv podíl užívaný oscilátor se dvěma bipolárními tranzistory s paralelním napájením, jehož kmitočet se citelně mění s nastavením pracovního bodu - viz např. [1], [2]. Aplikace oscilátoru [3], který vykazuje tuto nečnost menší řádově, umožní měření výrazně zpřesnit.

Kapacitu vinutí cívek lze eliminovat měřením a výpočtem ve dvou krocích. Potom je možné cívku 1  $\mu$ H vypustit a zapojení zjednodušit na jedinou cívku. Cívka s feritovým hrníčkovým jádrem, téměř bez možnosti vazby s měřenou cívkou, vyloučí další potencionální zdroj chyb a snadněji se navijí. Pokud při výpočtu akceptujeme „neokrouhlé“ konstanty, vyhoví běžně dostupný a levný feritový hrníček bez armatury a nic se nemusí dolažovat.

## Popis zapojení

Schéma zapojení přípravku MMLC je na obr. 1. Vstup je zakreslen při měření kapacity kondenzátoru připojeného mezi společnou zemní svorku a svorku Cx, studený konec L1 je přitom uzemněn pájenou drátovou propojkou na vstupních svorkách. Při nepatrných proudech je

propojka dlouhodobě spolehlivější než spínače. Při měření indukčností se propojka rozpojí. Cívku s malou indukčností Lx zapojíme místo propojky. Chceme-li měřit bez vlivu kapacity vinutí, připojíme cívku na svorky pro Cx (jako měřený kondenzátor, ale propojka rozpojena), její indukčnost označme Lc.

Oscilátor tvoří tranzistory T1, T2 s rezonančním obvodem L1, C1 a měřební prvky. Ladící kapacita C1 je složena z kondenzátorů C1a 2x 1 nF, C1b a dalších kapacit. Kapacita C1 spolehlivě zabrání poškození tranzistorů JFET T1, T4 při pájení na vstupních svorkách i pistolovou páječkou. Malé měřicí napětí umožní měřit kapacitu polovodičových přechodů a redukuje proudové změny indukčnosti L1. Napětí z L1, C1 zesílí asi 6x napětíový zesilovač T4 s emitorovým sledovačem T5. Amplituda kmitů se nastavuje ss řídicím napětím 0,7 až 3 V na bázi T2. Zvýšením napětí klesá proud a strmost T1, T2 a tím i nakmitané napětí. Proud dvojicí klesá asi z 2,5 mA při měření velké kapacity, přes zhruba 10  $\mu$ A bez zapojených vnějších cívek a kondenzátorů až na méně než 1  $\mu$ A při měření velké indukčnosti.

Na emitor T5 je přes R6, C3 připojen tranzistorový usměrňovač T3. Stejněsměrná složka proudových impulsů kolektoru zvyšuje řídicí napětí a udržuje tak přibližně stálé napětí na obvodu L1, C1. Střídavé napětí na bázi T2 zvyšuje efektivní strmost a maximální měřitelnou kapacitu. Přes další emitorový sledovač T6 a kondenzátor C6 je připojen konektor K2 pro měřicí kmitočet s vyšší impedancí vstupu, obvyklou na kmitočtech generovaných MMLC.

Má-li vstup měřiče dovolené špičkové napětí vyšší, než je použité napájecí, bylo



by možné R10, D2, D3 vypustit a konektor připojit na výstup OU1. Některé čítače mají na vstupu přípustné jen malé napětí, pro univerzální užívání je jistější R10, D2, D3 osadit a konektor K2 připojit na výstup OU2.

Celý měřič (resp. přímo vázaný zesilovač) se seřizuje rezistorem R5. Pro zachování stability není použit trimr, ale paralelní rezistory.

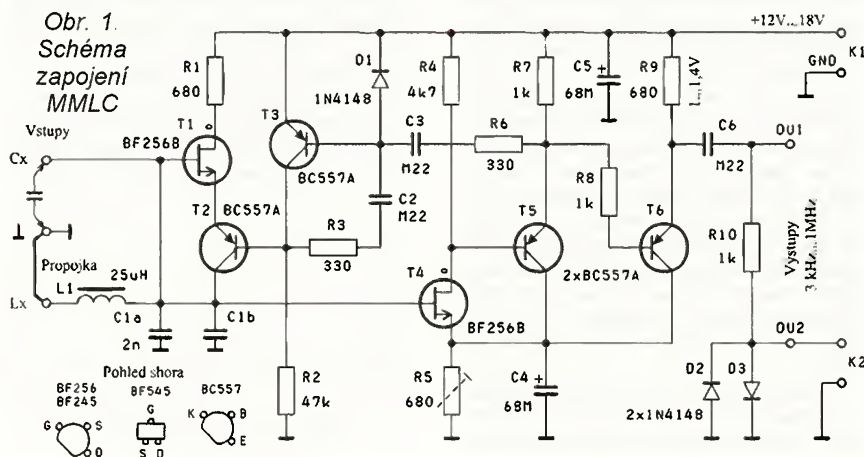
Přípravek je jen málo citlivý na velikost napájecího napětí (asi 10 Hz/V při 0,7 MHz), pro přesná měření je přesto vhodnější zdroj stabilizovaný. Je-li přerušeno ss spojení mezi hradlem T1 a zemí, odběr ze zdroje stoupne asi na 15 mA.

Měřič je jednoduchý; neuděláme-li chybu, bude pracovat na první zapojení. K nastavení stačí ss voltmetr, pro kalibraci je nutný čítač a kapacitní normál Cn s kapacitou v rozmezí asi 15 až 50 nF. Pro některá měření je třeba ještě pomocný „malý normál“ Cp s kapacitou přibližně mezi 470 pF až 1 nF. Normálové kondenzátory nejsou uvedeny v rozpisce součástek.

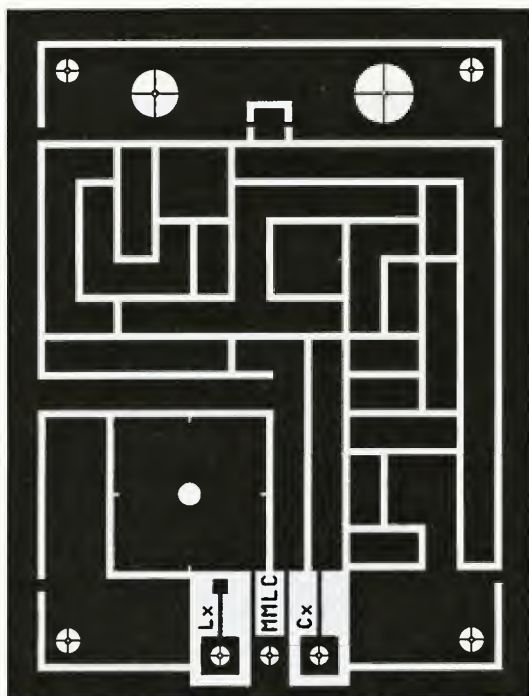
## Použité součástky

V konstrukci jsou použity vývodové součástky, rezistory 1 až 5 % pro nejmenší výkon. Kapacitu C1a složíme z keramických kondenzátorů z hmoty NPO. Celková kapacita není kritická, možné je osadit např. 3x 680 pF a zabrat i místo C1b. Na pozici T1, T4 lze použít BF245B (v nouzi BF545B v provedení SMD), na ostatní univerzální pnp tranzistory 100 mA, 45 až 60 V. Místa C4, C5 lze osadit elektrolitickými kondenzátory s malým ESR. Pro napájení použijeme konektor K1 podle síťového adaptéru, nejčastěji zástrčku průměr 2,1 x 5,5 mm s centrální matiči nebo podle toho, co používáme. Jako K2 postačí neizolovaná zásuvka CINCH, rovněž s centrální matiči.

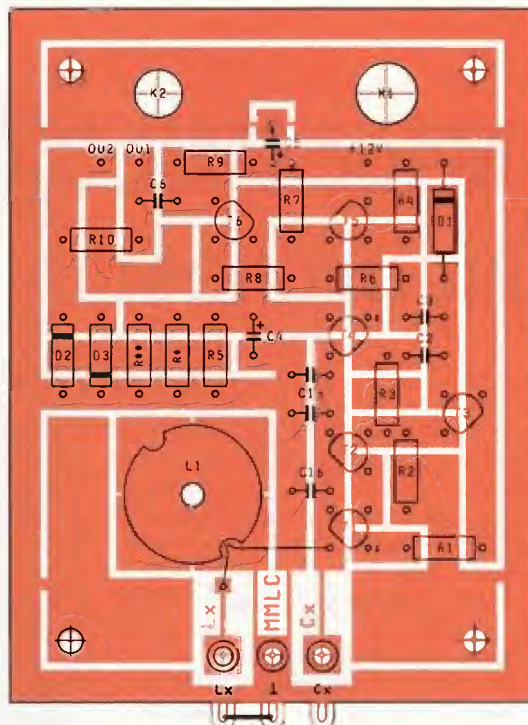
Cívkou L1 musíme vyrobit, a to s dostatečným činitelem jakosti a pro snadné







Obr. 2.  
Deska  
s plošnými  
spoji



Obr. 3.  
Rozložení  
součástek  
na straně  
spoju

měření i s nízkým teplotním součinitelem indukčnosti  $TK_L$  (cívka byla „doladěna“ experimentálně, doporučuji zachovat uvedené komponenty). Osvědčilo se hrníčkové jádro J18/11 (někde P18/11, či průměr 18/11 mm), ferit H6, konstanta  $A_L$  40 nH/z<sup>2</sup>, ještě z výroby Pramet Šumperk. Jádra a kostry dodávají JD & VD, DENKL elektronika (též pájecí oka) a další. Vhodné je zakoupit nejméně dvě jádra (2 páry) i kostry, ne každá cívka se podaří na 100 %. Hrníček i kostrička jsou křehké, vyžadují opatrné zacházení.

Do jednokomorové bakelitové kostry navineme 26 závitů lakovaným vodičem o průměru 0,22 mm. Kostra nebude ani zdaleka plná, ale nenechme se zlákat k vinutí tlustším drátem. Mimo nežádoucího zvýšení součinitele  $TK_L$  by se sice zvětšila měřitelná kapacita, ale zhoršila přesnost v pásmu vř. Cívka, navinutá drátem 0,22 CuL, umožní měřit kapacitu 1  $\mu$ F s rezervou asi do 1,5  $\mu$ F. Maximální měřitelná kapacita závisí i na tranzistoru T1 a kvalitě dielektrika měřeného kondenzátoru.

Pro vinutí v rukou navlékneme kostričku na šroub M6 x 50 a přitáhneme matkou. Vineme závit vedle závitu, vinutí přiměřeně utahujeme a závity počítáme. Začátek a konec vinutí vyvedeme u protilehlých čel kostry, vývody zajistíme vázací nití s kapkou vosku. Vinutí jako celek neslepujeme, často se tím zvýší součinitel  $TK_L$ . Vývody až na nutnou rezervu zkrátíme. Cívku s jádrem provizorně sestavíme, dosedací plochy *musí být čisté!* Sestava se stáhne kolíčkem, vyhoví i větší na prádlo. Obě poloviny jádra potom proti sobě několikrát opatrně trochu pootočíme, jako při zabrušování, a vycentrujeme. Tím máme cívku připravenou ke kontrole indukčnosti.

### Mechanická konstrukce a stavba

Měřené prvky mohou mít nejrůznější provedení a rozteče vývodů. Použití zdířky jako připojovací svorky mi nepřipadá nejvhodnější, zvolil jsem jiné řešení. Jednoduchá a stabilní jsou nýtovací pájecí oka zapájená přímo do DPS. Vývody měřené součásti se na oka buď jen přitlačí rukou, nebo rychle připájejí a s měřením je pak nutné vyčkat na ustálení

teploty a kmitočtu. Oboustranná oka průměru 2,5 x 2,5 mm (vyhovuje DPS tl. 1,5 mm) umožní měřit bez pájení součástky s mechanicky pevnými vývody rozteče 5 až 20 mm.

Deska (obr. 2) je pak přímo horním dílem krabičky s pájecími oky a konektory na svrchní straně, ostatní součástky jsou pájeny na spodní stranu spoju. Boky krabičky zhotovené z odřezků kuxprexitu se po odzkoušení přípravku spájejí s horním dílem. Dno se připevní k DPS distančními sloupky délky asi 18 mm s vnitřním závitem M3 a šrouby M3. (Marné by nebylo dno z tlustšího ocelového plechu, přípravek je jinak příliš lehký s tendencí k cestování po stole.) Pokud bychom chtěli použít uhladný obal v podobě dodávaných skříněk, u vstupních svorek se jen těžko vyhneme prodlouženým přívodům s nestabilními reaktancemi a následnému zhoršení kmitočtové stability.

Deska s jednostrannými plošnými spoji formátu 90 x 69 mm je na obr. 2, rozložení součástek na straně spoju na obr. 3. Použitý systém dělicích čar není na přesnost osazování náročný, ale pro lepší vzhled si umístění vývodů označíme např. jehlou. Při natírání desky pájecím lakem vynecháme místo pro cívku, aby ji bylo možné spolehlivě přilepit! Vrtají se jen 3 díry o průměru 2,5 mm pro pájecí oka, 4 díry o průměru 3,2 mm pro šrouby a 2 díry pro konektory podle použitých typů.

Po kontrole plošných spoju se nejdříve zanýtují pájecí oka. Ještě před zanýtováním je žádoucí nalepit pod oka pásek samolepící silikonové fólie, případně kaptonové pásky [4]. Má zabránit poškození krabičky odštítky a úkapy pájky, kterým se neubráníme. Pásek podle obr. 4 si na fólii nakreslíme nepřilíživě ostrou tužkou, díry vysekáme děrovačem („lochajznou“), pásek vystříháme a nalepíme. Roznýtovanou část oček ještě mechanicky očistíme jemným smírkem, ofoukneme, natřeme pájecím přípravkem a teprve potom zapájíme. Nedokonalé zapájení nýtů může časem působit záhadné skoky kmitočtu. Nezapomeneme na propojku na vstupních svorkách, stačí odštířený vývod rezistoru.

Následovat by mohlo polepení krabičky štítkem a montáž konektur. Aby štítek při dalších operacích nedoznal úhony,

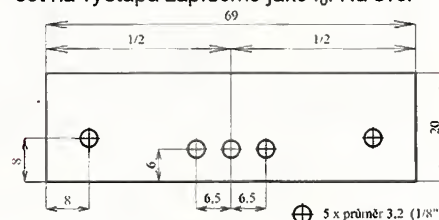
necháme lepení až na závěr, po připájení boků krabičky. Pro oživení buď konektory dočasně namontujeme, nebo napájení a čítač připojíme k DPS jen pájenými vodiči.

Osadíme všechny ostatní součástky. Vývody zkrátíme tak, aby součásti byly asi 5 až 7 mm nad deskou. Tranzistory JFET T1, T4 zapájíme až jako poslední. Před zapájením rezistorů nespolehneme jen na označení, ale přeměříme je, abychom později nemuseli pracně hledat chybu. Pro pohodlné osazování a kontrolu přišroubojeme k DPS distanční sloupky, prozatím na opačnou stranu (obr. 5) než v konečné sestavě. Provizorní sestavu cívky L1 zapojíme pro kontrolu jen položenou na DPS.

### Oživení a kontrola indukčnosti

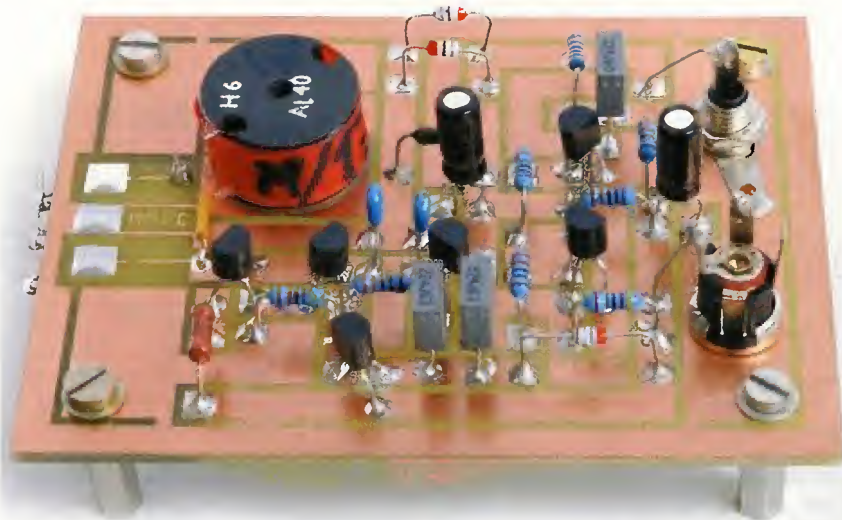
Zapojíme napájecí zdroj a několik minut necháme přístroj ustálit (stejně tak po každém zapnutí). Změříme ss napětí na rezistoru R9, má být 1,2  $\pm$  0,2 V, s napájecím napětím se téměř nemění. Nižší napětí zvětšíme do uvedených mezí připojením dalšího rezistoru (rezistorů) paralelně k R5. Jeho odpor určíme zkusem, závisí na použitém T4. Napoprvé vyzkoušíme rezistor 2,7 k $\Omega$ , v rozpisce uvedený jako R\*. Dvě místa pro přídavné paralelní rezistory jsou na obr. 3 označena R\*, R\*\*.

Připojíme čítač, měl by ukázat kmitočet 700  $\pm$  25 kHz. Údaj měnící se skokově i v desítkách kHz signalizuje rozkmitání regulační smyčky. Příčinou může být omylem zapojený velký odpor na místě R2 nebo jiná chyba. Před pájením v obvodu báze T2 odpojme napájení, abychom nepoškodili tranzistory oscilátoru. Po odstranění případné závady zkontrolujeme indukčnost cívky. Již stabilní kmitočet na výstupu zapišeme jako  $f_0$ . Na svor-



Obr. 4. Ochranný pásek  
pod pájecí oka





Obr. 5. Osazená deska připravená ke kontrole

ky pro Cx pak připojíme kapacitní normál se známou kapacitou Cn, naměříme nižší kmitočet  $f_n$ . Vypočteme ladící kapacitu:

$$C1 = Cn / [(f_0/f_n)^2 - 1] \quad [\text{nF; nF, MHz}] \quad (1)$$

a indukčnost zhotovené cívky:

$$L1 = 25,33 / (f_0^2 C1) \quad [\mu\text{H; MHz, nF}] \quad (2)$$

Při navinutí 26 závitů vychází indukčnost L1 na  $24,75 \pm 1,5 \mu\text{H}$ . Pokud jsme se přepočítali a indukčnost se značně liší, cívku převineme. Kontrolu zopakujeme po slepení jádra, indukčnost dobře provedené cívky se může změnit jen nepatrně. Malá indukčnost zmenšuje maximální měřitelnou kapacitu.

### Konečná sestava cívky

Provizorní sestava se rozebere a následuje sestava konečná, na níž z velké části závisí stabilita kmitočtu a snadné měření. Cívka se v jádře nesmí pohybovat, proto na obvod středního sloupku jádra nebo na čelo kostříčky kápneme lepidlo a navinutou cívku vlepíme do jedné poloviny jádra. Nesmíme přitom znečistit zabroušené styčné plochy! Po vytvrzení se může pokračovat v montáži jádra.

Obě poloviny se na styčných plochách důkladně očistí, přitisknou k sobě tlakem 10 až 30 N/cm<sup>2</sup>, vycentrují, odmastí a nakonec slepí. Lepidlo se nemá dostat na styčné plochy, slepuje se jen po vnějším obvodu. Tak praví [5], odkud jsem čerpal i další informace. Bez stlačovacího přípravku to dost dobře nejde. Jádro se nesmí namáhat nad středním sloupkem se vzdychovou mezerou, snadno praskne. Následkem malého stlačení nebo znečištění styčných ploch bývá vysoký součinitel  $TK_L$  až pokles indukčnosti. Důsledkem opačného extrému může být změna parametrů i destrukce jádra.

Improvizovaný stlačovací přípravek na obr. 6 je sestavený z toho, co lze najít v dílně. Základem je šroub M3 x 40, na který se postupně navlékne podložka o průměru 10/3,2, klenutá podložka o průměru 17/8,4; sestavené jádro s vlepou cívky, klenutá podložka o průměru 17/8,4; podložka o průměru 10/3,2, tlačná pružina „cejchovaná“ na kuchyňské váze, podložka o průměru 10/3,2 a matka M3. Matkou se celá sestava mírně stlačí a potom vycentruje. „Klenuté“ podložky se vyberou mezi běžnými pro šrouby M8, jsou to ty ne zcela rovinné. Právě ono vyklenutí, na obr. 6 pro názornost značně zvětšené, zaručí odlehčení střední části jádra nad středním sloupkem. Tlačná pružina původně vysouvala střelku v zámku starých

dveří (jako náhradní díl se koupí v železářství, vybereme pokud možno tlustší). Přitahováním matky sestavu stlačíme silou přibližně 20 N, mírou je zkrácení pružiny na délku podle „cejchování“. Obě poloviny jádra pootáčením proti sobě opět „zabrousíme“, tentokrát to jde již ztuha, a vycentrujeme. Matka na konci šroubu umožní po upnutí do svěráku otáčení a pohodlné lepení.

Epoxy, někdy používaný pro lepení, zvětšoval součinitel  $TK_L$  a také může předznamenat cestu jádra slepeného se stlačovacím přípravkem ke kontejneru pro elektroodpad.

Osvědčil se Tenyl, lepidlo pro domácnost (výrobce Druchem) a 6 až 8 mm široká textilní (savá!) stužka. Na obvod jádra stlačeného v přípravku nanese se v jednom místě lepidlo, přitiskneme začátek stužky a chvíli vyčkáme, lepidlo dost rychle tuhne. Potom postupně a bez mezer nanášíme lepidlo na obvod jádra a stužku do lepidla navijíme, tak asi 1,5 závitů. Vývody cívky můžeme ke stužce přilepit.

Lepená cívka se vytvrdí několik hodin při teplotě do 60 °C. Poté se demontuje stlačovací přípravek a vývody cívky se zkrátí tak, aby po umístění na desku nebyly napnuté ani zbytečně dlouhé. Indukčnost se po slepení nepravidelně mění. Pro stabilizaci se cívky podrobují tzv. umělému stárnutí, tj. několika teplotním cykly z pokojové teploty do teploty maximálně 60 °C. Na této teplotě mají cívky setrvat asi 4 h, nárůst teploty nemá překročit 1 °C za minutu, volně opět podle [5].

Při pečlivé práci se cívka většinou povede na první pokus. Nicméně nelze vyloučit, že se při lepení mohla vloudit chybíčka, nejčastěji v podobě nečistoty na zabroušených styčných plochách jádra. Chyba se zjistí kontrolou indukčnosti po slepení a měřením součinitele  $TK_L$ , viz dodatek.

Časově náročné postupy stabilizace a měření součinitele  $TK_L$  lze sloučit, i když s rizikem demontáže nepovedené cívky. Prostě upevnění šroubem středem jádra by cívku znehodnotilo. Proto po vytvrzení a kontrole indukčnosti jádra na desku přilepíme, ale demontovatelně! Vhodný je opět Tenyl, feritový hrníček a deska, coby nenásákové materiály je možné po slepení kroucením oddělit. Po vytvrzení lepidla zapájíme vývody a přilepenou cívku s celým MMLC stabilizujeme několika teplotními cykly v klimatizační komoře. Přitom měříme součinitel  $TK_L$  a můžeme sledo-

vat, jak s přibývajícím počtem cyklů klesá. Zjistíme-li nakonec  $TK_L$  příliš vysoký, musíme cívku „odkroutit“ a postup opakovat s jiným kusem, až ze zhotovených cívek vybereme tu s nejnižším součinitelem.

Nemáme-li klimatizační komoru nebo čas, můžeme vyzkoušet cívku bez měření součinitele  $TK_L$ . Zda vyhovuje našim nárokům, posoudíme subjektivně při praktických měřeních.

### Kalibrace a měření

Před kalibrací ještě můžeme v případě potřeby snížit v malých mezích kmitočet  $f_0$  kondenzátorem C1b z materiálu NPO. Pokud jsme cívku L1 nestabilizovali, vyčkáme s kalibrací na samovolné vyrovnání vnitřních prnutí z výroby, alespoň týden od slepení cívky.

Stejně jako při kontrole indukčnosti s použitím normálu Cn a vztahů (1), (2) přesně změříme konečné hodnoty C1, L1 a pro další používání si je zaznamenáme. Po kalibraci již můžeme měřit.

1) Měřené kondenzátory se připojují na svorky pro Cx. Cívky s malou indukčností, orientačně do 1 mH, se zapojují místo propojky. Z naměřených kmitočtů se vypočítá

$$Cx = C1 [(f_0/f_x)^2 - 1] \quad [\text{nF; nF, kHz}] \quad (3)$$

$$Lx = L1 [(f_0/f_x)^2 - 1] \quad [\mu\text{H; kHz}] \quad (4)$$

kde  $f_0$  je kmitočet bez měřených prvků,  $f_x$  je kmitočet s měřeným prvkem, Cx je kapacita měřeného kondenzátoru a Lx je indukčnost měřené cívky.

2) Kapacita vinutí zvyšuje v zapojení Lx naměřenou indukčnost. Chceme-li vliv této kapacity vyloučit, připojíme cívku na svorky pro Cx spolu s malým normálem Cp (propojka rozpojena), naměříme kmitočet  $f_p$ . Po odpojení Cp kmitočet vzroste na  $f_v$ . Vypočteme obvodovou kapacitu

$$Co = Cp / [(f_v/f_p)^2 - 1] \quad [\text{nF; kHz}] \quad (5)$$

a indukčnost cívky

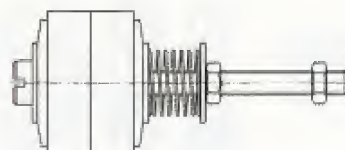
$$Lc = 25,33 / (f_v^2 Co) \quad [\text{mH; kHz, nF}] \quad (6)$$

Kdy měřenou cívku zapojit jako Lx a kdy již jako Lc, lze jen odhadovat podle typu cívky a nároků na přesnost. Správnou odpověď dostaneme až porovnáním výsledků obou měření. Můžeme proto preferovat přesnější měření v zapojení Lc. Cívky s indukčností asi do 20  $\mu\text{H}$  je však nutné měřit výhradně v zapojení Lx na místě propojky. Důvodem je klesající přesnost při kmitočtech nad 1 MHz. To musíme mít na paměti při všech měřeních!

3) Zjištění vlastní kapacity cívky je rychlé. Cívku připojíme na svorky pro Cx spolu s malým normálem Cp (propojka zapojena), zapíšeme kmitočet  $f_p$ . Po odpojení Cp naměříme kmitočet  $f_v$ . Kapacitu vinutí cívky vypočteme ze vztahu:

$$Cv = Cp / [(f_v/f_p)^2 - 1] - C1 \quad [\text{pF; kHz, pF}] \quad (7)$$

4) Kombinací uvedených postupů můžeme změřit kapacitu Cv a indukčnost Lc paralelního laděného obvodu v uzavřeném stínícím krytu (např. jednoduchého mf transformátoru) bez jeho demontáže



Obr. 6. Improvizovaný stlačovací přípravek s jádrem



a případně tento obvod předběžně naladit na požadovaný kmitočet. Nejdříve postupujeme stejně jako při měření vlastní kapacity cívky. Vypočtená kapacita  $C_v$  podle [7] nyní zahrnuje jak vlastní kapacitu připojené cívky, tak i kapacitu kondenzátoru měřeného obvodu. Potom rozpojíme propojku a postupujeme jako při měření indukčnosti bez vlivu vlastní kapacity. Vypočteme obvodovou kapacitu podle [5] a podle [6] hledanou indukčnost  $L_c$ .

- Do zlomků lze samozřejmě dosazovat v libovolných jednotkách kmitočtu, shodných v čitateli i jmenovateli. Výše uvedené jednotky jsou voleny s ohledem na následné výpočty, vyžaduje to zvýšenou pozornost při dosazování. Abychom se vyhnuli chybám, bývá spolehlivější dosazovat do obecných vztahů v základních jednotkách a v exponenciálním tvaru.

- Po dokončení MMLC nalepíme na krabičku štítek (viz titulní fotografie) s označením konektorů a vstupních svorek, zjednodušeně tam zaznamenáme vzorce (snadno se zapomene, ale později už těžko hledají) a pomocí „vypínačových“ symbolů 1, 0, kdy má být „zapnuta“ či „vypnuta“ propojka. Hodnoty  $C_1$ ,  $L_1$  po kalibraci zapisujeme na dno krabičky; přípravek můžeme časem překalibrovat a údaje bude někdy třeba poopravit. Kdo potřebuje měřit co nejpřesněji, může kalibraci opakovat před každou sérií měření a upřesněné hodnoty ukládat přímo do paměti kalkulačky.

## Poznámky k měření

Přesnost měření závisí především na přesnosti a stabilitě kapacity kondenzátorů použitých jako normál. Dosud jsou k dostání stále přesné pracovní normály (obr. 7) z produkce bývalé TESLA Lanškroun, polystyrénové typy WK716-01, WK716-02 a ekvivalenty TGL z dovozu, a to i 0,5 %. Nabízí je zmíněný DENKL elektronik a další. Něco přesnějšího za rozumnou cenu těžko seženeme.

Jako pomocný normál  $C_p$  můžeme použít stejný kondenzátor jako pro  $C_1$ a, jeho kapacitu přesně změříme po kalibraci MMLC. Jedná se o relativně malou kapacitu, vliv na kmitočet už má i délka přívodu či přiblížení ruky. Při měření se proto snažíme  $C_p$  připojovat vždy stejným způsobem.

Rozlišení závisí na použitém měřiči kmitočtu. Na začátku rozsahu 10 Hz odpovídá 0,06 pF a 0,7 nH. Obdobné chyby tu působí délka a uspořádání přívodu měřené součástky, součinitel  $TK_L$  apod. Měření s rozlišením 10 Hz proto bude přijatelné a místo univerzálního čítače lze použít levnější číslicovou stupnici (nepatří to pro měření nízkých teplotních součinitelů).

Připojí-li se na vstup příliš velká kapacita, oscilátor přestane kmitat. Jestliže se připojí příliš velká indukčnost, oscilátor kmitá dál, ale na kmitočet už mají vliv po-

měr  $L/C$  s činitelem jakosti a časové konstanty. Zvýšení časové konstanty by nebyl problém (volbou  $C_3$  např. 1  $\mu$ F), ale prodloužení doby ustálení a dlouhé čekání na údaj čítače už by jistý problém byl. Se součástkami podle obr. 1 můžeme přibližně měřit cívky do 10 H. Potřeba měření větší indukčnosti je v amatérské praxi výjimkou, schůdnější by proto bylo zvolit pro takový případ jinou metodu měření. Totéž platí i pro fóliové kondenzátory se jmenovitou kapacitou vyšší než 1  $\mu$ F.

Na zhotoveném vzorku jsem se pokusil, s nadsázkou řečeno, o test linearitu. Nejdříve jsem co nejpřesněji změřil kapacitu většího počtu kondenzátorů od 15 pF do 1  $\mu$ F. Potom jsem kondenzátory různě kombinoval a co nejpřesněji změřil kapacitu kombinace. Tu jsem porovnal se součtem kapacit zjištěných jednotlivě. V rozsahu 97 pF až 1  $\mu$ F byla zjištěná odchylka do  $\pm 0,14$  %, při 1,47  $\mu$ F  $\pm 0,5$  %.

## Závěr

Popsaný přípravek může v době digitálních LCR měřičů vypadat na první pohled jako anachronismus. Podrobnějším pátráním zjistíme, že dostatečné rozlišení a přesnost měření hodnot LC běžných v klasické radiotechnice, najdeme jen u měřičů vyšších cenových tříd. Za cenu srovnatelného LCR měřiče lze postavit MMLC a ještě koupit čítač. Dobrý pocit z vlastnoručně vyrobeného užitečného přístroje však může převážet i případnou finanční úsporu.

Pro měření velkých LC bude digitální LCR měřič vhodnější. Na úvaze případného zájemce zůstává, jak často a v jakém zařízení bude potřebovat měřit např. indukčnosti 20 až 2 000 H.

## Seznam součástek

R1, R5, R9	680 $\Omega$
R2	47 k $\Omega$
R3, R6	330 $\Omega$
R4	4,7 k $\Omega$
R7, R8, R10	1 k $\Omega$
R*	2,7 k $\Omega$
C1a	1 nF, RM 5, keram. NPO, 2 ks
C2, C3, C6	220 nF, RM 5, fóliový
C4, C5	68 $\mu$ F/25 V, tantal.
L1	hrníčkové jádro, kostra bakelit, 1 sekce - viz text; vodič 0,22 CuL 1 m; stužka textilní 8 mm, 0,25 m
T1, T4	BF256B
T2, T3, T5, T6	BC557A
D1, D2, D3	1N4148
Napájecí zástrčka, 1 ks	
Zásuvka CINC, 1 ks	
Pájecí oko NTN 013B, 3 ks	
Mechanické díly - viz text	
Štítek 70 x 69 mm si lze stáhnout na stránkách <a href="http://www.aradio.cz">www.aradio.cz</a> .	

## Literatura

- [1] Balhar, V.: Poznámka k oscilátoru z PE 4/2012. PE 8/2012, s. 28.
- [2] Skalník, J.: Pomocný oscilátor. PE 7/2012, s. 15.
- [3] Bureš, M.: Dvoubodový LC oscilátor. PE 1/2012, s. 10.
- [4] Černý, M.: Kaptonová páska. PE 9/2013, s. 19.
- [5] Faktor, Z.; Rejmánek, M.; Šimek, B.: Transformátory a laděné cívky pro sdělovací techniku. Praha, SNTL 1968.

## Dodatek

Přípravek MMLC dovoluje změřit teplotní součinitel indukčnosti či kapacity. Potřebná je k tomu klimatická komora. Může to být i skříňka velikosti krabice od větších bot, vylepená tepelnou izolací a vybavená topením, teploměrem a ventilátorem pro rovnoměrnější rozložení teplot. I taková komora je výborné zařízení pro vytváření a stabilizaci zhotovené cívky a nepřetržité množství experimentů. Změřit teplotní součinitel není příliš obtížné, ale značně zdouhavé.

1. Cívka, jejíž teplotní součinitel indukčnosti  $TK_L$  chceme měřit, by měla mít indukčnost  $>20$   $\mu$ H. Cívku připojíme na svorky pro  $C_x$  a mechanicky ji zajistíme proti změně polohy a indukčnosti přívodu, vnitřní cívku  $L_1$  odpojíme rozpojením propojky. Pokud však chceme proměřit právě cívku  $L_1$ , zůstává na svém místě zapojená podle schématu a s propojkou. MMLC připojený dostatečně dlouhým vedením poté vložíme do klimatické komory bez zapnutého vytápění, ale s ventilátorem v chodu. Po vyrovnání a ustálení teploty zapíšeme teplotu v komoře  $T_1$  a kmitočet  $f_1$ . Zapneme vytápění, mělo by vyhovovat dříve uvedeným pravidlům pro stabilizaci indukčnosti cívek. Po ustálení vyšší teploty  $T_2$  zaznameneáme kmitočet  $f_2$ . Pro výpočet teplotního součinitele užitíme vzorec z [5]:

$$TK_L = 2(f_1 - f_2) / [f_1(T_2 - T_1)] \quad [^\circ\text{C}, \text{kHz}, ^\circ\text{C}] \quad (8)$$

Vypneme vytápění, ventilátor necháme zapnutý. Po ustálení na pokojové teplotě kmitočet i teplotu opět zaznameneáme a vypočteme další  $TK_L$ , používáme průměr z obou měření. Při každé teplotě se cívka nechá ustálit asi půl hodiny a teprve potom se zaznamenává kmitočet. Vztah (8) platí pro cívku bez dalších teplotně závislých prvků. S  $C_1$  z hmoty NPO musíme za zjištěný součinitel  $TK_L$  doplnit  $\pm 30 \cdot 10^{-6}$ . Pro vzájemné porovnávání cívek to není rozhodující.

2. Teplotní součinitel kapacity  $TK_C$  naměříme snadno, bez přepočítávání, pro kondenzátory  $C \gg C_1$ . Můžeme si vybrat ze dvou postupů.

a) Kondenzátor připojíme na svorky pro  $C_x$  a postupujeme stejně jako při zjišťování teplotního součinitele indukčnosti, propojka zůstává zapojena. Od naměřené hodnoty odečteme  $TK_L$  cívky  $L_1$ .

b) MMLC zůstává na pokojové teplotě a propojka zapojena. Zkoumaný kondenzátor vložíme do klimatické komory a připojíme na svorky pro  $C_x$  vedením potřebné délky. Naměříme přímo hledaný  $TK_C$  (pokud je kapacita vedení proti kapacitě kondenzátoru zanedbatelná).

Pozn. 1. První cívky, které jsem lepil epoxi a bez kontroly stlačení jádra, byly nepoužitelné se součinitelem  $TK_L$  i přes  $200 \cdot 10^{-6}^\circ\text{C}$ . S popsáním postupem lepení a po třech teplotních cyklech bylo možné označit cívky převážně za způsoblé s  $TK_L$  v intervalu  $(15 \text{ až } 63) \cdot 10^{-6}^\circ\text{C}$ . Po vyloučení málo poškozené cívky mělo zbývajících 7 ks součinitel  $TK_L$  v mezích  $(15 \text{ až } 39) \cdot 10^{-6}^\circ\text{C}$ . U některých cívek snížila stabilizace původní  $TK_L$  až o dvě třetiny, u některých jen o pár procent. Rozptýlený součinitel  $TK_L$  je značný i při hromadné výrobě, uplatňuje se jak vinutí cívky, tak použitý kus jádra.

Při orientačním měření vyšší  $TK_L$  příliš nevadí. Když však kmitočet „ujždí“ příliš, vyšší přesnost je dosažitelná jen bezprostředně po kalibraci. Pro měření malých hodnot LC z počátku rozsahu by nemusela stačit ani už značně „otrávná“ kalibrace před každým měřením. Proto má význam součinitel  $TK_L$  vyrobené cívky  $L_1$  změřit a málo povedený kus s  $TK_L > 40 \cdot 10^{-6}^\circ\text{C}$  raději vyměnit.

Pozn. 2. Pro porovnání ještě výsledek jiného měření. Potřeboval jsem zjistit součinitel  $TK_L$  feritové antény pro příjem SV. S dostupnou literaturou jsem nespěl a tak přišel na řadu MMLC. Pro tyčku o průměru 8 x 100 mm s originálním vinutím na papírové trubce jsem naměřil  $940 \cdot 10^{-6}^\circ\text{C}$ , což jsem přičítal zjevně levnému provedení. Pro druhé měření jsem proto vybral profesionálně vyhlížející anténu o průměru 10 x 200 mm, nejspíš z přijímače řady VEF. Výsledek byl k mému překvapení prakticky stejný.



Obr. 7. Pracovní normály kapacity



# Přípravek pro zobrazení hysterezní křivky jádra cívky

Ing. Michal Černý

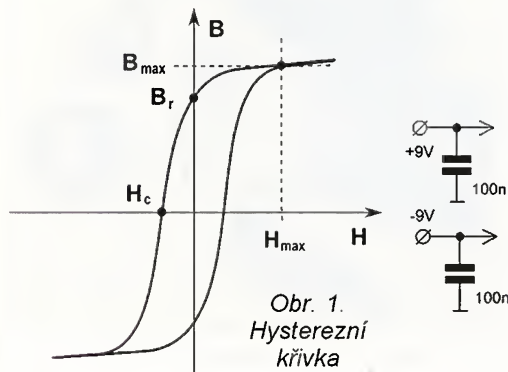
Cívky s malou indukčností můžeme vyrobit jako vzduchové, u větších indukčností však kvůli rozměrům musíme použít feromagnetické, nejčastěji feritové jádro. Materiály používané na jádra se vlastnostmi výrazně liší podle účelu, například jádra tlumivek se většinou nehodí pro transformátory dnes velmi často používaných spínaných zdrojů, u nichž je důležitá co nejlepší účinnost. Naopak to platí pochopitelně také. Vyznat se v dnešní době v materiálech jader, která pocházejí z různých rozebraných přístrojů od mnoha výrobců a často nejsou vůbec značená, rozhodně není jednoduché. Uvedený přípravek dovoluje rychle orientačně porovnat vlastnosti jader a s trochou dodatečné práce a počítání i přibližně změřit jejich parametry.

Základní vlastnosti reálných cyklicky zatěžovaných feromagnetik je hystereze průběhu magnetické indukce  $B$  v závislosti na intenzitě magnetického pole  $H$ , které je úměrné budicímu proudu. Pokud budicí proud v cyklu klesne k nule, magnetická indukce se současně s tím do nuly nedostane, ale v určité míře zůstane zachována. V další části cyklu se spotřebuje jistá energie na překonání a otočení smyslu této indukce, a když opět budicí proud klesne k nule, znovu zůstane určitá nenulová magnetická indukce, ovšem nyní v opačné orientaci. To se stále opakuje. Při jisté hodnotě budicího proudu magnetického pole se navíc nasýtí jádro a magnetická indukce se již dále nemůže zvětšovat.

V podstatě jsou pro nás důležité tři body hysterezní křivky (obr. 1) snímané při relativně pomalé a plynulé změně  $H$ . Čím je materiál magneticky tvrdší, tím větší plochu hysterezní křivka ohraničuje a tím větší energie se v jádře ztrácí v každém cyklu.

- Maximální intenzita magnetického pole  $H_{\max}$ , respektive pro konkrétní indukčnost maximální hodnota budicího proudu, to je bod, v němž se oddělené křivky pro poloviny cyklu setkají.

- Velikost remanentní magnetické indukce  $B_r$ , což je průsečík křivky s osou  $Y$  a jeho vzdálenost od nuly, odpovídá míře zmagnetování materiálu při nulovém buzení.

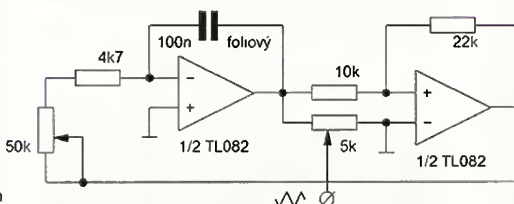


- Velikost koercitivty  $H_c$ , což je průsečík křivky s osou  $X$  a jeho vzdálenost od nuly, odpovídá intenzitě magnetického pole, při němž klesne magnetická indukce na nulu.

Hysterezní křivku jádra je možné zobrazit na osciloskopu v režimu XY pomocí následujícího přípravku, který vychází z článku [1]. Jádro (typicky toroid) je buzeno jedním vinutím s několika závitů. Proud má trojúhelníkový průběh s frekvencí kolem 500 Hz, což je frekvence z hlediska feritů dostatečně malá. S okamžitou velikostí proudu a tím i intenzitou magnetického pole ( $H = n \cdot I / L$ , kde  $n$  je počet závitů,  $I$  proud a  $L$  délka kružnice vedené středem toroidu) je svázáno vychýlení podle osy  $X$ . Na osu  $Y$  se vynášá integrované napětí snímané z cívky.

V původním článku byl jako zdroj trojúhelníkového napětí použit obvod ICL8038, který není úplně běžně dostupný. V zapojení tak, jak jsem ho vyzkoušel, byl tento zdroj nahrazen běžným zapojením integrátor - komparátor s OZ TL082 (obr. 2). S uvedenými hodnotami součástek je frekvence nastavitelná zhruba od 150 Hz do 1,5 kHz, jako výchozí zvolíme tedy 500 Hz. Výstupní mezipřechodové napětí při napájení  $\pm 9$  V je přibližně 6 V.

Dalším stupněm je proudový zesilovač (obr. 3). Vychází z původního zapojení, které využívá k vytvoření symetrického výstupu pro buzení tranzistorového koncového stupně ne zcela obvyklého triku. Dva operační zesilovače (TL082) pracují jako sledovače napětí a vytvářejí trojúhelníkový průběh proudu ve dvou rezisto-



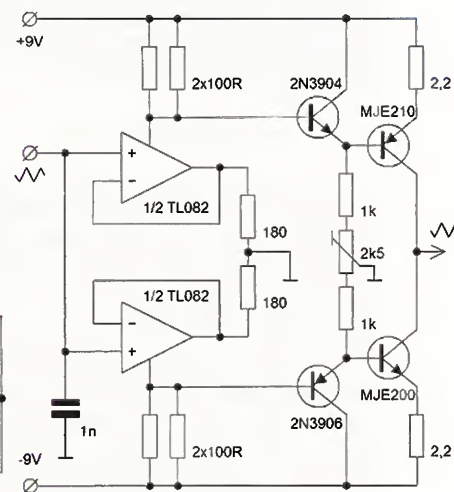
Obr. 2. Schéma zapojení generátoru trojúhelníkového napětí

rech 180  $\Omega$ . Tento proud je až na velmi malou složku klidového odběru tožný s proudem, který OZ odebírá jako celek a který je snímaný na rezistorech 50  $\Omega$ , přes které jde napájení. Trimrem 2,5 k $\Omega$  se nastaví symetrie koncového stupně (nulové napětí na výstupu při nulovém napětí na vstupu).

Tranzistorový stupeň není zahrnut ve zpětné vazbě, zkoušel jsem i jiná řešení, ale podobně jako autor původního článku jsem narazil na problém se sklony ke kmitání po připojení zkoušené cívky. Na místě tranzistorů s malým výkonem 2N3906 a 2N3904, které u nás jde také koupit, byly použity běžnější typy BC327-40 a BC337-40. Koncové tranzistory MJE200 a MJE210 se již shánějí i nahrazují hůře, v zapojení jsem vyzkoušel typy BD139-16 a BD140-16, nicméně ty nejsou dostatečně výkonově dimenzované a přípravek s nimi může pracovat jen krátkou dobu. Vhodnější náhradou by asi byly BD243 a BD244. V případě, že se proudový zesilovač rozkmitává, pomohou kondenzátory s kapacitou jednotek až desítek nF přidané paralelně ke snímacím rezistorům v napájení OZ. Rezistory 2,2  $\Omega$  by měly být alespoň na 0,5 W, ostatní jsou miniaturní.

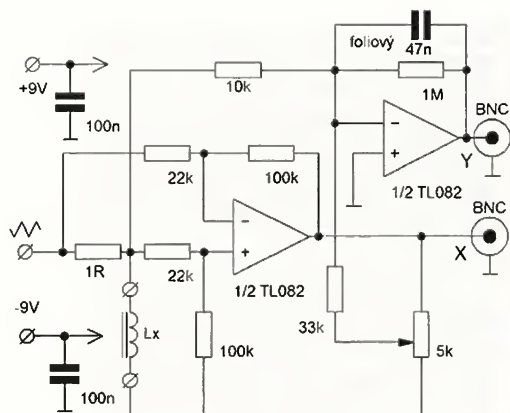
Přípravek vyžaduje napájení z kvalitně stabilizovaného symetrického zdroje dimenzovaného opravdu podle maximálního použitého proudu, to je o něco více než 0,5 A v každé větvi. Změříme-li proud jedné napájecí větve, ať už ručkovým nebo běžným digitálním přístrojem, ukáže se (střední či efektivní) hodnota zhruba čtvrtinová, ale to opravdu nestačí. Také není vhodné napájet tento přípravek z různých „symetrizátorů“ nebo jiných zapojení vytvářejících virtuální nulu v polovině nesymetrického napájecího napětí. Na vyzkoušení sice stačí, ale zapojení se s nimi často v některých fázích cyklu rozkmitá.

Poslední částí přípravku (obr. 4) je vyhodnocení proudu cívkou a napětí na ní. Obojí potřebujeme zavést do jednoho osciloskopu a tedy převést na „společnou nulu“. Napětí na cívce, jejíž jeden vývod je připojen



Obr. 3. Schéma zapojení proudového zesilovače



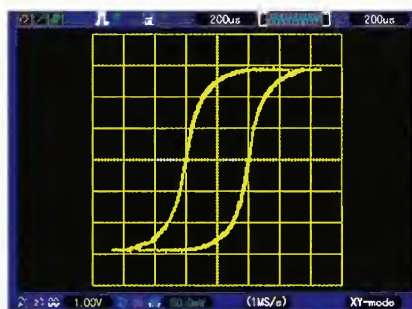


Obr. 4. Schéma zapojení vyhodnocovací části

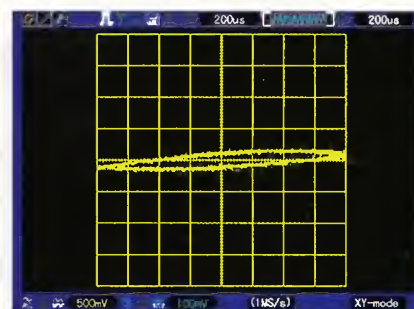
na zem, je integrované jedním OZ (opět TL082) a přivedené na vychylování v ose Y. Trimmer 5 kΩ umožňuje nastavit čistý průběh křivky. Proud je snímán jako napětí na rezistoru 1 Ω / 0,5 W a zesílen diferenciálním zesilovačem, jehož výstup je připojen na vychylování ve směru osy X.

V původním zapojení je proudové zesílení nastaveno přesně na 23 a stupňovitou regulací trojúhelníkovitého napětí je zvolen proud 500, 200, 100 nebo 50 mA. Zvolil jsem plynulé nastavení pracovního proudu přibližně v podobném rozsahu. Takto se dobře určuje zejména maximální proud (intenzita magnetického pole  $H_{max}$ ) pro nasycení jádra. Nastavíme proud přesně tak, aby dosahoval bodu  $H_{max1}$  a pak změříme proud připojením sondy osciloskopu přímo na snímací rezistor 1 Ω, případně pro odečtení koercitivty získáme převodní konstantu pro velikost proudu odpovídající jednomu dílku rastru na průběhu.

Přípravek je vhodný pro zkoušení cívek s vinutím o indukčnosti přibliž-



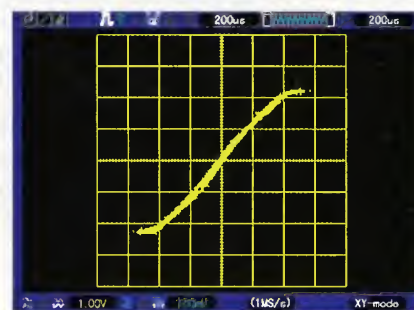
Obr. 5. Křivka feritového jádra neznámého původu, dosaženo  $H_{max}$



Obr. 7. Stejně jádro při působení konstantního vnějšího magnetického pole



Obr. 6. Stejně jádro hluboko v pracovní oblasti (5x menší proud)



Obr. 8. Magneticky velmi měkké jádro (z proudové pojistky zdroje PC)

ně v rozsahu 10  $\mu$ H až 1 mH, takže dobře pokrývá oblast tlumívek a transformátorů v malých spínaných zdrojích. Dovoluje dobře odlišit magneticky měkká jádra vhodná pro transformátory od magneticky tvrdých materiálů; většinou i železoprachová jádra od feritových. Umožňuje přehledně vyzkoušet mezni proud hotových cívek a transformátorů, pokud stačí rozsah do 0,5 A. Pro větší proud by stačilo upravit proudový zesilovač (a případně snímací rezistor proudu). Při měření při horním okraji rozsahu indukčnosti je možné snížit pracovní

kmitočet, aby indukčnost znatelně neovlivňovala průběh proudu. Jako osciloskop lze použít prakticky libovolný typ s frekvenčním rozsahem ve zvukové oblasti a XY režimem, i programový osciloskop využívající zvukové karty v PC.

Mírně vhodnější je analogový osciloskop, protože digitální mívají v XY režimu jen zobrazení bodů a pro vytvoření souvislé křivky se musí nastavit delší dosvit.

[1] NV. Probing Cores. Nuts & Volts 6/2007 str. 46 - 50.

# Mikrorobot

Robot je stroj pracující s určitou mírou samostatnosti, vykonávající určené úkoly, a to předepsaným způsobem a při různých mírách potřeby interakce s okolním světem a se zadavatelem [1]. To k definici robota. Jediným úkolem zde popisovaného mikrorobota je simulace poněkud chaotického pohybu vytvářejícího zdání úprku malého živočicha.

## Námět konstrukce

Při brouzdání na internetových stránkách na mě kdesi „vyskočil“ banner s reklamou na zajímavou hračku. Jednalo se o jakéhosi elektronického brouka s označením HEXBUG Nano. Na Youtube jsem našel mnoho videí, která ukazují, jak se tato hračka chová. Slovy prodejce: HEXBUG Nano se chová jako skutečný brouk a věrně imituje jeho chování. Vejde se právě do dlaně, pohybuje se zcela autonomně a při převrácení se vždy opět sám postaví na nohy. Je napájen jedním článkem AG13. Když jich dáte velké množství k sobě, je to nádhera

[2]. Trochu mi to připomínalo Replikátory ze seriálu Stargate [3]. Spíše než brouk mikrorobot.

Na internetu jsem našel mnoho výrobců amatérů, kteří se snažili podobnou konstrukci napodobit. Měl jsem všechny potřebné díly doma, tak jsem to také zkusil.

## Popis konstrukce

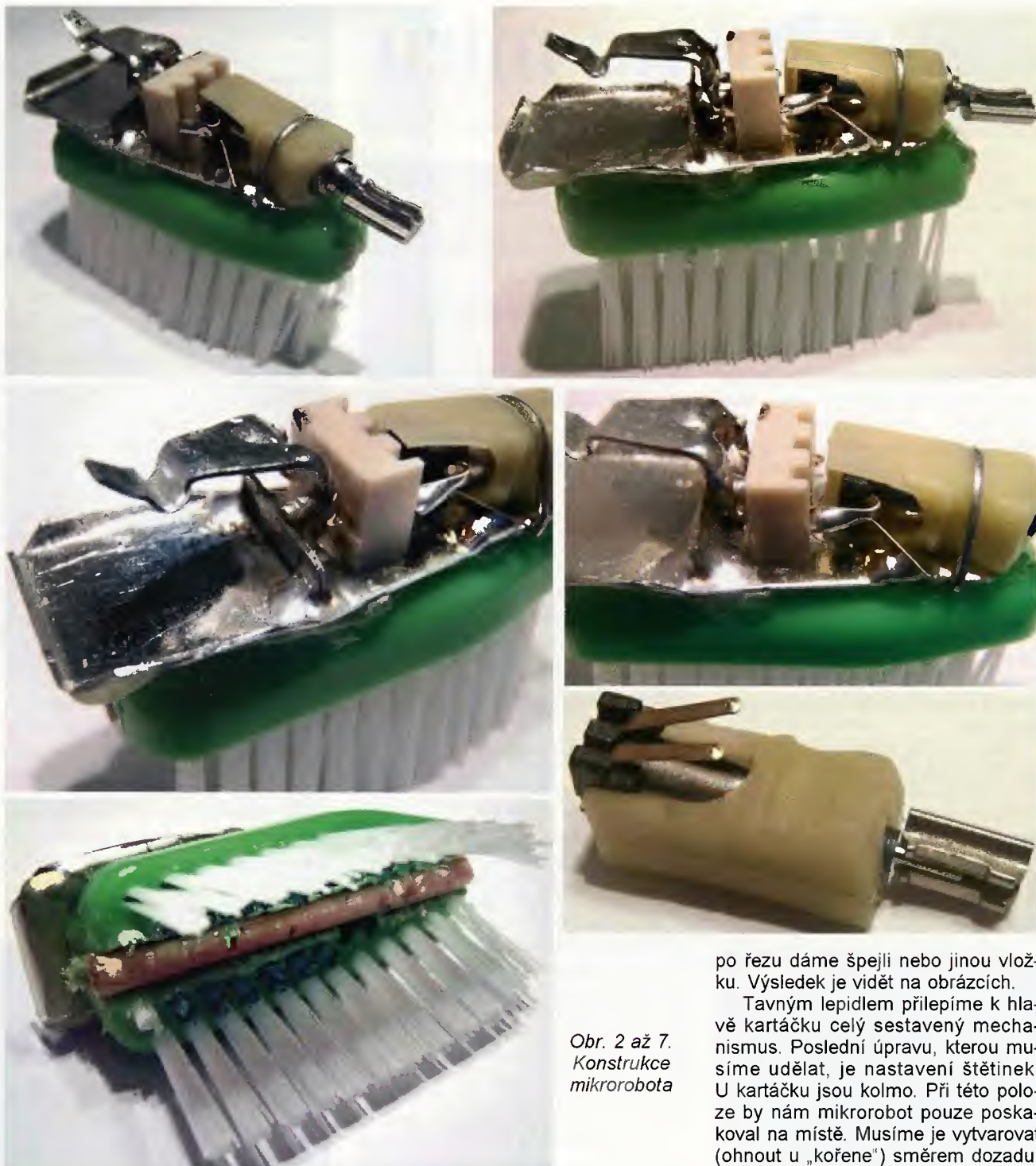
Mikrorobot se skládá z vibračního motoru používaného v mobilních telefonech, napájecího článku, několika plíšků pocínovaného plechu, části konektoru a hlavy kartáčku na zuby - viz obr. 1.

Vibrační motorky se prodávají v mnoha velikostech a výkonech [4]. Jsou napájeny jedním článkem typu LR44/AG13 o velikosti napětí 1,5 V. Mají obvykle kapacitu kolem 100 až 150 mAh. Je potřeba zdůraznit, že provoz mikrorobota není žádná levná



Obr. 1. Základní díly





Obr. 2 až 7.  
Konstrukce  
mikrorobota

záležitost. Proudový odběr vibračního motorku je v řádech desítek až stovek miliampér. Při takovýchto proudcích je článek přetěžován a jeho životnost je v jednotkách minut.

Na internetu jsem narazil na alternativní napájení pomocí solárního článku, kdy se nabíjí kondenzátor nebo malý akumulátor, a když napětí dosáhne určité velikosti, mikrorobot je na nějaký čas aktivován. Celá sestava mikrorobota je vidět na následujících obr. 2 až 7.

Pocínovaný plech je vystřižen podle tvaru hlavy kartáčku a na krajích v zadní části umístění článku zahnut tak, aby z něj nemohl vypadnout. Prostřední vývod konektoru je

na obou stranách zastřižen, zahnut dolů a připájen k plechu. Tím je konektor upevněn. Ke krajním vývodům konektoru je z jedné strany připájen vytvarovaný plíšek (záporný pól článku) a z druhé strany jeden vývod vibračního motorku. Jeho druhý vývod je připájen dolů k plechu.

Na rozdíl od HEXBUG Nano je těžiště mikrorobota hodně vysoko, takže pokud se převrátí, už se „nepostaví na nohy“. Je proto potřeba zlepšit stabilitu tím, že kartáček zespodu podélně rozřízneme asi do 75 % hloubky materiálu, silou roztáhneme (třeba šroubovákem), odstříhneme vnitřní štětiny tak, že nám zůstane pouze obvodová řada a do vzniklé mezery

po řezu dáme špejli nebo jinou vložku. Výsledek je vidět na obrázcích.

Tavným lepidlem přilepíme k hlavě kartáčku celý sestavený mechanismus. Poslední úpravu, kterou musíme udělat, je nastavení štětinek. U kartáčku jsou kolmo. Při této poloze by nám mikrorobot pouze poskakoval na místě. Musíme je vytvarovat (ohnout u „kořene“) směrem dozadu. To můžeme udělat tak, že položíme mikrorobota na podložku a při současném posouvání dopředu ho silou tiskneme dolů. Nastavením štětinek je mikrorobot připravený k použití. Jak se pohybuje mikrorobot popsáný v tomto článku, můžete vidět na tomto videu: <http://www.youtube.com/watch?v=RRv4k3QYLog&feature=youtu.be>

#### Literatura

- [1] <http://cs.wikipedia.org/wiki/Robot>
- [2] <http://www.hexbug.com/nano#video>
- [3] <http://www.youtube.com/watch?v=CYu2tbkgF4>
- [4] <http://www.telel.cz/search/Vibra%C4%8Dn%C3%AD%20motor/>

Stanislav Kubín



# Těsnění na míru

Ing. Michal Černý

**Občas je potřeba použít těsný kryt přístroje, zejména to platí při instalaci zařízení do venkovního prostředí a vystavení povětrnostním vlivům. Gumová těsnění po čase praskají nebo se rovnou rozdrolí, a protože mívají atypický tvar i rozměry, sehnat nová bývá značný problém. Výměna celého krytu je pracná i drahá. I když dále uvedený postup domácí výroby těsnění na míru byl vyvinut kvůli úplně jinému účelu, časem jsem jej úspěšně aplikoval i na krabice zajišťující krytí podle IP 65.**

Má-li těsnění kruhový průřez a jednoduchý tvar, je většinou možné najít odpovídající větší gumový „O“ kroužek, rozříznout ho, vytvarovat těsnění, zkrátit gumové vlákno a pružným sekundovým lepidlem řez slepit. Neodstraní se tím však problém s horší odolností gumy a taková náhražka vydrží zejména kvůli lepenému spoji méně než původní těsnění. U plochých těsnění a složitějších tvarů nezbyvá, než vyřezat nové těsnění z plátu gumy, ale praktický výsledek většinou není dobrý. Jinou možností je těsnění „odlít“ ze silikonového kaučuku do formy, to se osvědčilo mnohem lépe.

Jako první je třeba připravit formu. Je více postupů, které se liší pracností a přesností výsledku. Má-li mít těsnění přibližně obdélníkový průřez, jednoduché, spíše hranaté tvary, a očekáváme, že postačí jediný kus, najdeme si hladké dřevěné nebo plastové lišty odpovídajícího průřezu a nařežeme z nich kousky, z nichž lze

tvar těsnění sestavit. Do misky upěchujeme plastelínu a nožem seřízneme její povrch do roviny. Pak opatrně vmáčkne do plastelíny lišty do tvaru budoucího těsnění tak, aby jejich horní strana byla v rovině s okolním povrchem, a nožem opět zarovnáme. Nejmenší průřez by měl být asi 2 x 2 mm. Celek zchladíme, plastelína ztuhne. Špendlíkem opatrně vydolujeme lišty a vzniklé prohlubně začistíme úzkým šroubovákem. Tím je forma na jedno použití hotová. Máme-li k dispozici původní těsnění a dostatečně drží tvar, je to ještě jednodušší, obtiskneme ho přímo do plastelíny.

Jiný, trochu přesnější způsob výroby formy, je na základní desku (například z kuprexitu) nalepit lišty stejně vysoké, jaká má být tloušťka budoucího těsnění, vytvořit „korýtko“ s potřebnými rozměry. Tato forma je opět vhodná jen pro hranaté tvary, ale lze ji použít i několikrát.

Nejpřesnější výsledek a téměř neomezenou životnost poskytne forma vytvořená nalepením vyřezané laminátové desky (kuprexitu) na podklad. Pro složitější tvary může být desek (vrstev) i více. Případná poškození nebo chyby je možné opravit epoxidovým tmelem a vybrousit. Tvar může být i oblý, zhotovení formy kvůli jednomu kusu těsnění je však většinou příliš pracné.

Do plastelínové formy může přijít silikon rovnou, do dřevěné nebo laminátové by se však přilepil a je nutné použít separátor. Osvědčil se parafín z běžné bílé svíčky nanesený v roztaženém stavu pod horkovzdušnou pistolí nebo horkovzdušnou pájecí stanicí. Stačí nepatrná vrstva, která zůstane po stečení parafínu ve svislé poloze. Nastříkání (natěr) roztočením parafínu v benzínu dělá až příliš tenkou vrstvu a musí se několikrát opakovat, navíc parafín má pak mnohem větší snahu shromažďovat se v koutech formy, než při práci za tepla. Část separátoru po vyloupnutí odlitku zůstane ve formě a lze ho použít znovu stejně jako celou formu, parafín nešpiní a po zchlazení je ho možné ze silikonu beze zbytku odrolit nebo sloupnout.

Jiným a ještě účinnějším separátorem je asfalt, konkrétně asfaltové lepidlo na pístěná zednická hladítka. Je řídké, lze ho natírat jemným štětcem a dělá tenkou vrstvu, která vyschne za několik hodin. Silikon se pak musí nanést pokud možno rychle a ve formě jej nemíchat, v čerstvém stavu s vrstvou asfaltu reaguje a rozpouští ji. Po ztuhnutí se dají i složitější tvary z formy úplně volně vyjmout, jako by byly na vrstvě oleje. Asfaltové lepidlo má jedinou závažnou nevýhodu, silně maže a ani odlitek se nikdy nepodaří úplně vyčistit, zůstane žlutý a místy až nahnědlý.

Na kvalitu výsledku a zejména životnost těsnění má zásadní vliv výběr kvalitního materiálu. Vždy si připravíme zkušební vzorek a necháme jej dobře vyzrát několik dnů. Výsledná hmota by měla být výrazně pružná, pokud možno bezbarvá nebo jen mírně zakalená. Bílé nebo hnědé silikon (zejména levné sanitární) nejsou vhodné, mají podstatně menší pružnost. I když jde o materiál dražší, pro příležitostné použití doporučuji průhledný akvaristický neutrální silikon v kovové tubě. Je kvalitní, pružný, nevysychá, lze ho mnohokrát otevřít a zase těsně zavřít. Potřebujeme-li větší množství, vynikající vlastnosti má Soudal T-rex Crystal, ten se může protáhnout až 3x do délky nebo stlačit o 20 %, je bezbarvý a dlouhodobě stabilní i při vystavení vlhkosti, odolává teplotám od -40 do +90 °C, nebo UV záření. T-rex vlastně ani není silikon, je označován jako SMX polymer.

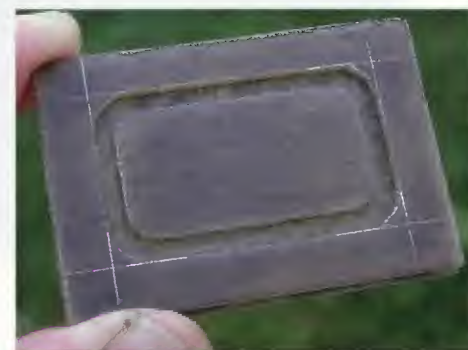
Zaplníme formu a nožem co nejlépe uhladíme povrch (jednu z budou-



Obr. 1. Příprava formy z plastelíny



Obr. 2. Větší forma z dřevěných lišt na kuprexitu



Obr. 3. Přesnější forma vybroušená z kuprexitu



Obr. 4. Nanosená vrstva asfaltového separátoru





Obr. 5. Odlitek po vyjmutí z formy



Obr. 6. Očištěné těsnění před finálním zbavením otřepků

cích styčných ploch těsnění). Protože hmota potřebuje přístup vzduchu a vzdušné vlhkosti, nemůžeme shora



Obr. 8. Soudal T-rex Crystal



Obr. 7. Potřebné pomůcky

formu zakrýt a srovnat povrch tlakem. Existuje však „figl“. Na zaplněnou formu se položí tenký papír a přihladí, případně krátce vyrovná třeba plastovou nebo skleněnou tabulkou. Tím se přebytečný silikon vytlačí. Papír musí být prostupný, ne například hladký křídový. Zůstane na formě a prodlouží dobu tuhnutí nejméně na dvojnásobek, asi 24 hodin při tloušťce vrstvy 2 mm.

Po vyjmutí z formy a ostrižení vytlačeného materiálu zůstane vrstva papíru spojená s těsněním, odrolíme ji podobně jako zbytek parafinového separátoru beze zbytku po namočení ve vodě. S asfaltem je větší práce, zbytky otíráme hadříkem.

Pokud má krabice uzavírání typu pero - drážka s hlubší drážkou, v níž bylo gumové těsnění, je situace mnohem jednodušší, není potřeba ani forma a lepicí tmel vtlačíme přímo do očištěné drážky a zarovnáme mírně nad úroveň původního těsnění. Když dáme více tmelu a krabici hned uzavřeme, těsně se slepí; má-li být spoj opakovaně rozebíratelný, nasadíme víko až po vyschnutí.

Tento způsob výroby náhražek atypických těsnění byl původně vyvinut a používán pro funkční modely ponorek, v nichž jsou podstatně větší nároky na tlak a těsnost, než odpovídá krytí IP 67. Těsnění krabic pro elektronická zařízení (anténní zesilovače, venkovní snímače dat, elektroniku u solárních panelů, řízení čerpadel v kotelně atd.) je jen méně náročný „vedlejší produkt“. Podobným způsobem je možné vyrobit na míru i pružné silentbloky se šrouby na koncích nebo atypické úchyty a těsnící průchodky kabelů. Zkušenost zatím ukazuje, že životnost náhražky je většinou delší než původního gumového těsnění.

Tab. 1.  
Tabulka  
krytí

IP 60	bez ochrany před vodou
IP 61	před padající vodou (mírným deštěm) po dobu 10 minut v pracovní poloze
IP 62	před padající vodou (jako IP 61, při náklonu 15° v libovolném směru)
IP 63	před vodní tříští po dobu 5 minut, voda stříká v úhlu 60°
IP 64	před stříkající vodou (jako IP63, ale voda stříká ze všech úhlů)
IP 65	před tryskající vodou ze všech úhlů po dobu 3 minut
IP 66	před vlnobitím po dobu 3 minut (jako IP 65, vyšší průtok a vyšší tlak proudu)
IP 67	před ponořením po dobu 30 minut do hloubky 1 metr
IP 68	před potopením (trvalé ponoření za podmínek určených výrobcem)

Zkrácená charakteristika stupňů ochrany před vniknutím vody (IP 6x už znamená ochranu před nebezpečným dotykem jakoukoli pomůckou a úplnou ochranu před vniknutím prachu)

## Malý nf zesilovač pro mikrokontrolér

Když je potřeba, aby mikrokontrolér dostal co nejjednodušším způsobem zvukový výstup, většinou stačí připojit na jeho výstup malý piezoreproduktor. V případě, že tento způsob neposkytuje dostatečně výrazný zvuk, je třeba generovat hlubší tóny, které piezocílen špatně reprodukuje, nebo je třeba lepší kvalita zvuku než jen „obdélníky“ z digitálního výstupu,

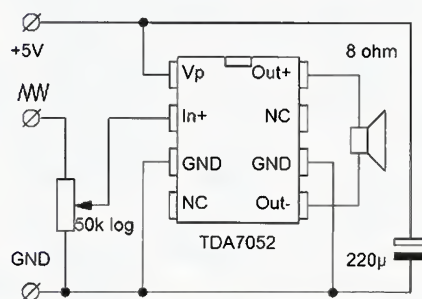
hodí se malý integrovaný nf zesilovač s obvodem TDA7052.

Výhodou tohoto zesilovače je, že nevyžaduje žádné další součástky, lze připojit přímo na zdroj signálu i k reproduktoru 8 Ω; zapojení je krajně jednoduché. Na obr. 1 je navíc potenciometr pro nastavení hlasitosti, který asi většinou nebude potřeba, a také kondenzátor s větší kapacitou na napájení, který v zapojení musí být, ale bývá použit již kvůli napájení mikrokontroléru a může sloužit jak pro něj, tak pro zesilovač.

Obvod TDA7052 se může napájet napětím 3 až 18 V, typicky se používá právě pro nízká napětí 3 až 6 V. Výstupy na reproduktor jsou v klidu

na úrovni přibližně odpovídající polovině napájecího napětí, spotřeba proudu v klidu je typicky 4, nejvýše 8 mA.

Ing. Michal Černý



Obr. 1. Schéma zapojení zesilovače s obvodem TDA7052



# Vodní hlásič

Václav Khun

**Jistě to mnozí z vás znají: dáte do pračky prádlo, odejdete dělat jiné věci, než proběhne prací cyklus, a když přijdete, najdete v koupelně potopu.**

Toto zařízení bylo vyrobeno právě proto, aby na tuto pohromu okamžitě upozornilo, a přivolalo někoho do koupelny, aby se ještě pokusil katastrofě zabránit. Na internetu je podobných zařízení mnoho, ale téměř každé neustále odebírá ze zdroje proud. Toto zařízení má v klidu zanedbatelný odběr a aktivuje se pouze při potopě.

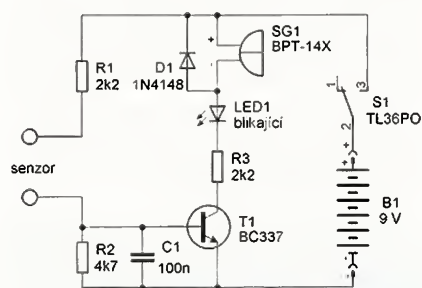
Schéma zapojení je na obr. 1. Jak je z obrázku patrné, zařízení je velice jednoduché a obsahuje minimum součástek, takže jej může sestavit i úplný začátečník i z tzv. šuplíkových zásob. Zařízení je v principu jednoduchý tranzistorový spínač v zapojení se společným emitorem, který využívá zesilo-

vací účinek tranzistoru. Zdrojem je 9V baterie připojená přes konektor, která by měla vydržet, pokud „nevyteče“, řádově několik let bez nutnosti výměny; záleží na její kvalitě. Zařízení obsahuje spínač S1, aby ho bylo možné v případě nutnosti vypnout a přerušit tak kolísavé a nepříjemné houkání oznamující vyplavení koupelny.

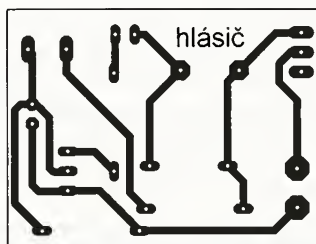
Princip zařízení je prostý, spínací proud do báze tranzistoru T1 je omezen rezistorem R1. Takto omezený proudový signál je přiveden na svorkovnici, na kterou se připojí jednoduchý senzor vyrobený z desky kuprestitu, rozdělené na dvě poloviny buď proškrábnutím, nebo leptáním. Mož-

né uspořádání senzoru je na obr. 2. Takto „hřebenovitý“ tvar se ukázal efektivnější než jen prosté rozdělení vodorovnou čarou, neboť vyteklá voda netvoří vždy pravidelné kruhové tvary. Vzhledem k možnému rušení, které může způsobovat motor zapnuté pračky, je k rezistoru R2 paralelně připojen odrušovací kondenzátor C1. Ten rušivé signály zkratuje, a tím zabrání pootevření tranzistoru T1. V kolektoru je zátěž skládající se z piezosírenky s vlastním oscilačním obvodem SG1. Pro maximální jednoduchost konstrukce je k sírénce připojena antiparalelně ochranná křemíková dioda D1 a sériově blikající LED1. Díky blikající LED1 je zvuk sírenky přerušovaný v rytmu blikání. Velikostí rezistoru R3 se lehce mění kmitočet přerušovaného tónu piezosírenky SG1. Tranzistor T1 je v normálním stavu zavřený, jelikož má proud do báze přerušovaný senzorem. Jakmile se senzor dostane do kontaktu s vodou, vodivě se propojí a do báze tranzistoru teče malý proud, tranzistor T1 se tím otevře a sepne kolektorovou zátěž.

Deska s plošnými spoji je na obr. 3, její osazovací plán je na obr. 4. Stranu spoju doporučuji kvůli možnému vysrážení vlhkosti potřítit nevodivým lakem, v nouzi postačí i čirý lak na nehly. Celé zařízení včetně baterie se s velkou rezervou vejde do lištové elektroinstalační krabice.



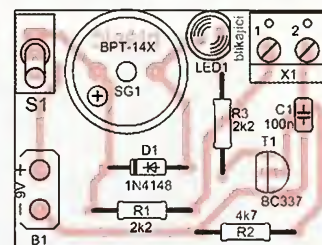
Obr. 1. Schéma zapojení hlásiče



Obr. 3. Deska s plošnými spoji hlásiče (41 x 31 mm)



Obr. 2. Možné uspořádání senzoru



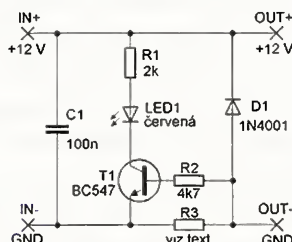
Obr. 4. Rozložení součástek na desce hlásiče

## Jednoduchý indikátor přetížení

Tento jednoduchý obvod je určen především začátečníkům a může sloužit jako doplněk k napájecímu zdroji, který by neměl chybět v dílně žádného elektro-bastlíře. Indikátor je převážně určen pro málo výkonné, takřka začátečnické zdroje, které mají na výstupu monolitické stabilizátory řady LM78xx (maximální proud 1,5 A) či LM78Lxx (maximální proud 100 mA). Schéma indikátoru je na obr. 1.

Princip zařízení je prostý; průchodem proudů odebíraného zařízením se na snímacím rezistoru R3 tvoří úbytek napětí podle Ohmova zákona. Jakmile se tento úbytek napětí zvětší na asi 0,55 V (při nadproudu), začne

do báze tranzistoru T1 téci proud omezený rezistorem R2. Tranzistor T1 se tím otevře a rozsvítí červenou LED1, která signalizuje přetížení zdroje. Při poklesu proudu LED1 zhasne. Dioda D1 je v antiparalelním zapojení a chrání obvod před indukční zátěží, jako jsou například cívky relé nebo stejnosměrné motorky. Zařízení můžete připojit na výstup zdroje, pokud



Obr. 1. Zapojení indikátoru přetížení

jeho výstup nejdříve plynule regulovat. V opačném případě je vhodné obvod připojit za vyhlazovací kondenzátor usměrňovače zdroje. Celé zapojení obsahuje minimum součástek, takže na případné desce s plošnými spoji zabírá minimum místa, navíc lze většinu součástek použít i v SMD provedení.

Odpor rezistoru R3 jednoduše určíme podle Ohmova zákona, a sice  $R3 = 0,55/I$ , kde 0,55 je otvírací napětí tranzistoru T3 (pro přesnější nastavení si můžete toto napětí mezi bází a emitorem přesně změřit) a  $I$  je proud v ampérech, při kterém se má indikace zapnout. Výsledný odpor vyjde v jednotkách, popřípadě desetinných ohmu. Pro jiné výstupní napětí doporučuji upravit odpor rezistoru R1.

Václav Khun



Zveme Vás k účasti a návštěvě 23. mezinárodního veletrhu elektrotechniky,  
elektroniky, automatizace, komunikace, osvětlení a zabezpečení

# 2015 AMPER

Již 23 let prostor pro Vaše:  
INOVACE,  
TECHNOLOGIE,  
KONTRAKTY

**24. - 27. 3. 2015**  
**VÝSTAVIŠTĚ BRNO**

[www.amper.cz](http://www.amper.cz)

pořádá

**TERINVEST**  
prestižní veletrhy.com





KTS - AME s. r. o., K. Čapka 60,  
500 02 Hradec Králové

fax: 495 212 588  
tel.: 495 263 263  
mobil: 605 263 263  
email: ame@ame.cz

více na....

**WWW.AME.CZ**

Google



**1308,-**

YouTube

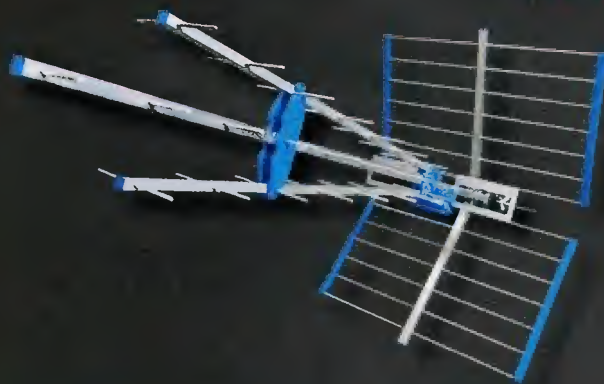
**Full HD**  
1920x1080

### Android Media Player DI-WAY AND-1 (Smart TV)

- internet v TV (Google Chrome, Mozilla Firefox, volání a videohovory, chatování s přáteli ( Skype, ICQ,..)
- YouTube, hudba, rádio, foto, video, ... multimediální centrum s velkou podporou formátů
- Android 4.2 Jelly Bean
- CPU: Allwinner A20 Dual Core, RAM: 1GB, Flash 4GB
- WiFi: IEEE 802.11 b/g/n, LAN RJ45, 2x USB, HDMI 1.4, AV OUT Jack, SD card, podpora FullHD rozlišení 1080p
- USB 2.0 data support OTG
- analogový TV výstup (pro připojení starších TV bez HDMI)
- možnost připojení externí klávesnice a myši, flash disků či externích HDD (pokud mají své napájení)
- napájení: 5V / 2A

**Objednáací číslo: A000035700**

**690,-**



### Anténa 45SLC Super Emme Esse pro DVB-T

- Tato anténa je určena do míst, kde chceme přijímat DVB-T signál. Má excelentní přijímové vlastnosti a tak se používá zvláště tam, kde je nízká úroveň přijímaného signálu. Nový filtr odfiltruje LTE pásmo. Dá se také samozřejmě použít i pro příjem pozemního analogového signálu.
- Určená pro pásmo 21-60 kanál (bez LTE)
- Počet prvků: 47
- Zisk: 12-17 dB
- Předozadní poměr: 32 dB
- Délka: 1145 mm, hmotnost: 2.5 kg

**Objednáací číslo: 580M046500**

**518,-**



### Anténa směrová SYNAPS DVB-T venkovní AHD 343

- Anténa vhodná pro příjem DVB-T signálu v oblastech se slabým pokrytím. Velmi kvalitní provedení s vyvedeným F-konektorem pro připojení koaxiálního kabelu
- Pásmo: IV+V (UHF)
- Rozsah pásma: 21 - 69 k
- Počet prvků: 27
- Zisk: 15.5 dB
- Váha: 1,6 kg
- Materiál: hliník / plast
- Rozměry: 1.056 x 540 mm
- Připojení: F- konektor

**Objednáací číslo: 580M061500**



Dopřejte si také něco pod Váš technický stromeček  
a pořiďte si od nás...

**Akční  
sleva 20%**



## Oddělovací transformátor OT230.012

- odděluje síťové napětí od připojeného zařízení
- pro zařízení s max. odběrem 1.2 A
- chráněn tavnou pojistkou

Původní cena: ~~2 182 Kč~~

Akční cena: **1 746 Kč**

### Další výrobky



#### RZ3F400.060

Třífázový oddělený  
autotransformátor

**53 420,-**



#### AC250K1D-S

AC zdroj 0-250V / 1A

**9 650,-**



#### V130R50D

DC zdroj 0-30V, 0-10A

**9 800,-**



#### OT230.100

Oddělovací transformátor  
230V, 10A

**10 215,-**

České výrobky světové kvality...

« **DIAMETRAL**®  
[www.diametral.cz](http://www.diametral.cz)

\* pouze pro objednávky v měsíci prosinci 2014, všechny ceny uvedeny bez DPH.

Diametral spol. s r.o., Hrdoňovická 178, 193 00 Praha 9 - Horní Počernice  
tel./ fax 281 925 939 - 940, email: [info@diametral.cz](mailto:info@diametral.cz).



## AEC ELEKTROTECHNIKA spol. s r.o.

Member of the Kathrein Group

AEC ELEKTROTECHNIKA, spol. s r.o.  
Na Rovinách 6/390, 142 00 Praha 4  
Tel.: +420 241 710 018, -48  
Fax: +420 241 710 003  
E-mail: info@aec-eltech.cz

# KATHREIN

Antennen · Electronic



**Pozemní antény  
DAB / DAB+**



Digitální rozhlasové vysílání  
v bývalém 3. TV pásmu

**Na konec  
roku tip pro  
Vás**



Kathrein Typ	AV 06	AV 09	AV 11	AV 12
Obj. číslo	211450	211453	211463	211473
Kanály		5 – 12		
Zisk [dB]	5 – 6,5	6 – 9	7 – 11	7,5 – 12,5
Kmitočtový rozsah [MHz]		174 – 230 MHz		
Předozadní poměr [dB]	14 – 17	12 – 19	18 – 27	18 – 26

### HDTV SAT přijímač KATHREIN UFS 940sw



- DVB-S/S2, EPG, HDMI výstup (1080i)
- Rozměry pouze: 226 x 38 x 170 mm
- CI modul, IR čidlo
- USB 2.0 pro HDD (Timeshift); SPDIF
- Ideální pro skrytou montáž na stěnu nebo za televizi

### Výprodej pro čtenáře (naleznete na e-shopu)

Twin LNB konvertor pro dva SAT přijímače **154,- Kč** vč DPH

**GET IN TOUCH** Elektromechanické prvky, průmyslové klávesnice a různé spínací systémy. **RAFI**

**NOVÁ KONCEPCE**

**NOVÉ RÁDY**

**RAFIX 22 FS<sup>+</sup>**  
**RAFIX 22 FSR**  
**RAFIX 30 FS<sup>+</sup>**

Ø 22 mm  
Ø 30 mm

- Snadná integrace do vašich systémových řešení, moderní design
- Velmi nízká vestavná hloubka – plošný spoj 9,2 mm / fastony
- Řada 22 FSR – pro venkovní použití, vysoce odolné prvky

Kompletní portfolio výrobků naleznete na [www.aec-eltech.cz](http://www.aec-eltech.cz)  
Internetový obchod na <http://obchod.aec-eltech.cz>

## ERA COMPONENTS spol. s r.o.

představuje

# RECTRON

RECTIFIER SPECIALISTS

## SPECIALISTA NA USMĚRŇOVAČE

Schottkyho diody  
usměrňovací diody ULTRA/SUPERFAST  
diody FAST RECOVERY  
diody s vysokou účinností  
usměrňovací můstky  
diody pasivované sklem  
vysokonapěťové diody  
usměrňovače pro fotoblesky  
standardní usměrňovací diody  
signálové spínací diody  
transily, varistory  
Zenerovy diody

## NEJŠIRŠÍ SORTIMENT V KLASICKÝCH I SMD POUZDRECH

Technické údaje: [www.rectron.com](http://www.rectron.com)

Michelská 12a, Praha 4 tel.: 241 483 138 fax: 241 481 161 era@comp.cz

### ELTIP s.r.o., ELEKTROSOUČÁSTKY

Velkoobchod, maloobchod, zásilková služba

Bulharská 961, 530 03 Pardubice

TEL: 466 611 112, 466 657 688, FAX: 466 657 323

eltip@eltip.cz [www.eltip.cz](http://www.eltip.cz)

distribuce elektronických součástek všech světových výrobců  
osvětlení LED, zásilková služba, elektronické stavebnice  
těžko dostupné elektronické součástky a komponenty  
AKČNÍ NABÍDKA - LED ŽÁROVKA 6W (~60W) E27 180° - 159,-  
AKČNÍ NABÍDKA - LED ŽÁROVKA 5W (~40W) GU10 120° - 145,-

velko a malo-obchodní prodejna v Pardubicích

Pondělí – Pátek 8:00 až 17:00

Elektronické součástky  
e-mail: bucek@bucek.name  
[www.bucek.name](http://www.bucek.name)  
Tel/Fax: (05) 45 21 54 33  
Vranovská 14, 614 00 BRNO

Výroba zakázkových  
plošných spojů - jednostranné  
oboustranné

- \* plošné spoje dle časopisů AR, PE, KE, Radio PLUS (KTE)
- \* plošné spoje zakázkové - Jednostranné, Oboustranné prokovené/neprokovené (měďáky, cínované, vrtané, s nepájivou maskou, s potiskem)
- \* zhotovení filmových předloh
- \* digitalizace plošných spojů
- \* digitalizace dat pro strojní vrtání
- \* výroba plošných spojů z hotových DPS, ke kterým nejsou výrobní podklady

Bližší informace o výrobě naleznete na [www.bucek.name](http://www.bucek.name)





# www.etc.eu

Osciloskopy

Generátory

Analyzátory

Príslušenstvo

Vývoj a výroba

**Prajeme Vám pokojné a šťastné Vianoce  
a aby rok 2015 splnil Vaše očakávania**



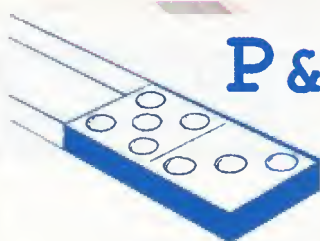
Pripravili sme pre Vás vianočný darček.

Na tovar\*, ktorý si objednáte v čase  
od 5.12.2014 do 23.12.2014 poskytneme  
**zľavu vo výške 40%**

Tak napríklad 120 MHz osciloskop M524RM  
s funkciou dvojkanálového zapisovača a  
spektrálneho analyzátora môžete mať za  
408 EUR (11 337 CZK) s DPH.

Objednávky posielajte na [sales@etc.eu](mailto:sales@etc.eu),  
alebo telefonujte na +421 (0)41 5652687.

\* Zľava sa nevzťahuje na školské laboratória a osciloskopy M521, M774 a M595



## P&V ELEKTRONIC

spol. s r.o.

### Coil Winding Parts for Electronics

P&V ELEKTRONIC  
Call center 24h/7d  
20 years with you 😊



- \* Samonosné a tvarové cívky
- \* Anténny cívky
- \* Měřicí cívky a senzory
- \* SMD tlumivky a převodníky
- \* Transformátory a tlumivky do spínaných zdrojů
- \* Toroidní síťové transformátory a tlumivky
- \* VN transformátory
- \* Statory pro BLDC motory
- \* Zákaznické vinuté díly a sestavy
- \* Zalévání ( i vakuové ) dílů a sestav pro elektroniku
- \* Komplexní mechanické sestavy s vinutými díly

#### Mechanické díly (nejen) pro elektroniku

- \* CNC soustružení , frézování, broušení  
a elektroerozivní obrábění i miniaturních dílů
- \* Nástroje a přípravky - včetně konstrukce
- \* Vakuové pájení a tepelné zpracování kovů

Sídlo firmy : Nad Rybníkem 589 , 190 12 Praha 9  
Provoz: Kasejovice 389 , 335 44 Plzeň-jih  
telefon: 00420371595412, fax: 00420371595280  
e-mail: [pvelektronic@pvelektronic.com](mailto:pvelektronic@pvelektronic.com)  
<http://www.pvelektronic.com>



**programming speed improvement**



**BeeProg2  
BeeProg2C**

Podpora:  
BeeProg2: **65 700**  
BeeProg2C: **84 400**  
obvodov

BeeProg2 extrémne rýchly univerzálny programátor  
BeeProg2C ekonomická verzia, extrémne rýchly univerzálny programátor

- možnosť násobného programovania pripojením viacerých programátorov k jednému PC
- konektor pre ISP
- záruka - 3 roky

**BeeHive204** EXTREMNE RÝCHLY MULTI PROGRAMÁTOR

- 48 univerzálnych pin-driverov, nie sú potrebné adaptéry pre obvody v púzdрах DIL
- pripojenie k PC - USB port
- záruka - 3 roky
- podpora ISP



Podpora:  
> **65 500**  
obvodov

**SmartProg2** UNIVERZÁLNY PROGRAMÁTOR s možnosťou ISP

- výkonný a rýchly univerzálny programátor
- pripojiteľnosť k PC: USB port
- konektor pre ISP
- záruka - 3 roky



Podpora:  
> **41 600**  
obvodov

**Programovacie adaptéry**

- viac ako 1300 modelov
- vysoká životnosť
- pre obvody: PLCC, LCC, SDIP, SOIC, SOP, PSOP, SSOP, TSOP, TSOPII, TSSOP, QFP, PQFP, TQFP, VQFP, QFN, MLF, BGA, EBGA, FBGA, VFBGA, UBGA, FTBGA, CSP, QLP, QIP, SOT23 a i.
- počet pinov: od 3 do 676
- prevádzková životnosť ZIF patice - 10.000 až 500.000 (BGA) cyklov
- väčšina modelov na sklade



**ELNEC** vyrába a dodáva **Elneec s.r.o.**  
Jana Bottu 5  
SK - 080 01 Prešov  
tel. 051/77 343 28  
elneec@elneec.sk, www.elneec.sk

**Cigler software, a.s.** (servis a zastúpenie pre ČR)  
Rostislavovo nám. 12, 612 00 Brno, tel. 5 4952 2511,  
fax: 5 4952 2512, eShop: http://shop.elneec.cz

**Fanda elektronik s.r.o.** Těchická 475/22, 73535 Horní Suchá  
tel. 603 531 605, fax: 59 642 58 19, elneec@fanda.cz

**HW** U Pily 103/3, 143 00 Praha 4, info@hw.cz  
tel. 241 402 940, fax: 222 513 833, www.hw.cz

**Ryston electronics s.r.o.** Modřanská 621/72, P.O. Box 13  
143 00 Praha 4, tel. 225 272 111, fax: 225 272 211

**S.O.S. electronic s.r.o.** Pri prachárni 16, 040 11 Košice  
tel. 055/786 04 10-16, fax: 055/786 0445, info@sos.sk

**S.O.S. electronic s.r.o.** Hybešova 42, 602 00 Brno  
tel. 5 43 427 111, info@soselnetronic.cz

**Prodej elektronických měřicích přístrojů.**



repasované, nové

Elex - Selská 27  
Brno 61400  
Tel/fax 543255252/1  
www.elexbrno.cz  
elex@elexbrno.cz



Provádíme opravy a kalibrace.

**MECOTRONIC, S.R.O.**

- \* CNC a konvenční frézování a soustružení dílů (jednotlivé kusy, malé i velké série)
- \* Výroba přípravků a nástrojů
- \* Mechanická úprava polotovarů (krabiček)
- \* Montáž a výroba mechanických sestav
- \* Distribuce technických plastů (tyče, desky a přřezy z tyčí i desek)

Tel./Fax.: ++420 371 585 262  
e-mail: mecotronic@mecotronic.cz  
http://www.mecotronic.cz  
335 44 Kasejovice 389, Plzeň-jih

**FOLIOVÉ ŠTÍTKY PRO PŘÍSTROJE**




**www.step-electric.cz**  
info@step-electric.cz  
+420 777 601 452, +420 543 521 413  
Havránkova 11, 619 00 BRNO

**www.aradio.cz**

**OPTOELEKTRONICKÁ ČIDLA A ZÁVORY**

**INFRA ZÁVORY 15m**  
**REFLEX. ZÁVORY 5m**  
**DIFUZNÍ ČIDLA 1,2m**  
**INDUKČNÍ ČIDLA 6 mm**

**PROGRAMOVATELNÁ ČIDLA A ZÁVORY**

Použití: kontrola osob, předmětů, rozměru, ochrana objektů

**REHABILITAČNÍ A MASÁŽNÍ PŘÍSTROJE**

**ELFA-SRB s.r.o.** e-mail: ar@elfa.cz  
Řečice 22 http://www.elfa.cz  
388 01 BLATNÁ tel. fax 383 423 652

**KONEKTORY - BRNO, s.r.o.**  
Musilova 1, 614 00 BRNO  
tel. + fax: 541 212 577  
www.konektor.cz  
e-mail: brno@konektor.cz

**Že nemáte na co vysílat..?**  
**MLA nové konstrukce**  
pro několik pásem, do 100 W,  
za neuvěřitelných **990.- Kč.**  
**MLA-ER V.1** 7 MHz až 18 MHz  
**MLA-ER V.2** 18 MHz až 28 MHz  
Oba typy pouze za **1400.- Kč**  
Evropský patent - by OK2ER  
**Vánoční dárek?** ok2er@btv.cz  
Ověřeno u OK2RZ a DL8SEL



# Praktická elektronika-AR

Ročník XIX (LXIII), 2014

Šéfredaktor Ing. Josef Kellner

**LEGENDA:** První číslo označuje stránku, číslo za lomítkem sešit. Římské číslice označují obálky příslušných sešitů, příp. zařízení v inzertní příloze časopisu; DPS znamená, že v článku je deska s plošnými spoji.

## INTERVIEW, REPORTÁŽE, KOMENTÁŘE, RŮZNÉ

### Náš rozhovor

s ředitelem firmy Spezial Electronic	
ing. Martinem Peškou	1/1, II/1
s Františkem Půbalem, OK1DF, vedoucím operátorem	
a konstruktérem radioamatérského majáku OK0EPB, který	
vysílá časové značky a je řízen kyvadlem	1/2, II/2
s jednatelem společnosti GAMAaluminium	
panem Marianem Gahrem	1/3, II/3
s Michalem Rybkou, OK1WMM, jedním	
z vedoucích skautského radioklubu OK1RAJ v Praze	1/5, II/5
s Hartmutem Hoffmannem,	
ředitelem firmy RK Rose + Krieger	1/6, II/6
s Radomírem Aujezdským z Kostelce na Hané,	
majitelem pozoruhodně rozsáhlé sbírky elektronek	1/7, II/7
s ing. Přemyslem Hejdukem z firmy Micronix	
o novinkách v sortimentu měřicí technika	1/9, II/9
s technickým ředitelem firmy Antech, spol. s r. o.	
Radkem Novákem o novinkách v TV příjmu	1/10, II/10

s ing. Pavlem Šulckem, jednatelem firmy Infrasektor,	
kteř se zabývá prodejem převážně	
průmyslových snímačů	1/11, II/11
s Josefem Viktorou,	
jednatelem firmy P&V ELEKTRONIC	1/12, II/12

Výsledky Konkursu PE-AR 2013 o nejlepší	
elektronické konstrukce	3/1
FOR ELECTRON 2013	III/2
Ročník 2013 na CD ROM	3/3
Vyhlášení Konkursu PE-AR na nejlepší elektronické	
a radioamatérské konstrukce v roce 2014	4/3
Americké značení průměru vodičů	19/3
Jak se navždy zbavit podomního obložovače	47/3
Postřehy z Norimberku 2014	1/4, II/4
30. ročník sůtaže ZENIT v elektronice	25/4
Robotický den	1/8, II/8
Veletrh Amper – jednička v oblasti elektrotechniky	48/10
„Know-how-Packet“ z nakladatelství Franzis	25/11

## MĚŘICÍ TECHNIKA

Výkonový útlumový článek	10/1
Nizkofrekvenční generátory	16/1, 11/2
RC generátor 10 Hz až 1 MHz (DPS)	11/2
Teploměr 1W (DPS)	15/2
Aktivní sondy nejen k osciloskopu (DPS)	18/2
Šumový generátor	32/2
Elektromechanický čítač	10/3
EKG záznamník – holter (DPS)	13/3
Detektor vř signálu na 2,4 až 5 GHz	21/3
Připrvek pro párování polovodičových součástek	25/3
Programovatelný tester kontinuity (DPS)	7/4
Reálný čas s DCF77 nejen pro počítač (DPS)	26/4
Příčkové mf filtry s krystaly 10 MHz	9/5
Tester operačních zesilovačů s bipolární LED	24/5
GW Instek GSP-730 – spektrální analyzátor určený pro výuku	
v oblasti RF komunikací	28/5
Prozváněčka a indikátor napětí za 5 Kč (DPS)	30/5
Čidlo vibrací s piezoměničem (DPS)	8/6
Vř dipmetr NGDO 0,1 až 210 MHz (DPS)	11/6, 20/7
Převodník napětového signálu 1 až 5 V	
na proud 4 až 20 mA	19/6
Digitální dozimetr s mikrokontrolérem AVR	22/6
Xprotolab Plain	19/7
Přeladitelný nf generátor sinusového průběhu	
bez stabilizačních prvků	23/7

Úprava rozsahu klešťového ampérmetru	27/7
Jednoduchý tester polovodičových součástek	24/8
Třístavová logická sonda	10/9
Aktivní sonda 500 MHz (DPS)	11/9
Hodiny vzdušné (DPS)	14/9
„Inteligentní“ ručkové měřidlo	21/9
Jednoduché stopky	22/9
Vyhledávací přijímač (DPS)	29/9
Doplňk k voltmetru pro měření impedance antén	31/9
Kmitočtový normál 10 MHz	11/10
Indikátor vybití baterie	13/10
Semináře firmy Rohde@Schwarz	30/10
Časový spínač s obvodem 555	9/11
Tester zdrojů ATX (DPS)	11/11
Čidla pro CanSAT a Raspberry PI (DPS)	20/11
IR detektor	30/11
Tester displejů z tekutých krystalů	9/12
Měřč MMLC	
pro malé indukčnosti a kapacity (DPS)	15/12
Připrvek pro zobrazení	
hysterezní křivky jádra cívky	19/12
Hodiny řízené mikrokontrolérem (DPS)	25/12
Jednoduchý VA merací přístroj	27/12

## RUBRIKY

Rádio „Historie“	37/1, 37/2, 37/3, 37/4, 37/5, 37/6, 37/7, 37/8,
	37/9, 37/10, 37/11, 37/12
Z radioamatérského světa	41/1, 41/2, 41/3, 41/4, 41/5,
	41/6, 41/7, 41/8, 41/9, 41/10, 41/11, 41/12

Nové knihy	2/4, 2/5, 2/12
Světlozor	4/1, 3/2, 5/3, 3/4, 3/5, 3/6, 3/7, 3/8, 3/9,
	3/10, 3/11, 3/12



## NF TECHNIKA, ZÁZNAM ZVUKU A OBRAZU, ELEKTRONICKÉ HUDEBNÍ NÁSTROJE, BAREVNÁ HUDBA

Kytarový zesilovač pro sluchátka .....	9/1	Jednoduchý bzučák .....	10/6
Stereofonní mixážní předzesilovač pro diskotéku (DPS) .....	25/1, 25/2	20 světelných efektů bez mikrokontroléra .....	28/8
Zesilovač vyzvánění telefonu 2 .....	7/2	Tónová clona .....	30/9
Generátor náhodných tónů (DPS) .....	9/3	Zdůrazňovač reproduktorových basů .....	9/10
Kvalitní zesilovač pro sluchátka .....	11/3	VUmetr s pamětí špiček (HOLD PEAK) (DPS) .....	22/10
Barevná hudba s LED (DPS) .....	11/4	Aktivní chlazení k zesilovači s PICAXE (DPS) .....	25/10
Mikrofonní zesilovač s TDA7050 .....	10/5	Sháníte velmi malý reproduktor? .....	26/12
		Automatický přepínač reproduktů .....	71/12

## TECHNIKA A METODIKA RADIOAMATÉRSKÉHO SPORTU, CB

Zimní olympiáda v Soči a radioamatéři .....	41/1	Světové prvenství v radioamatérském olympijském maratonu Soči 2014 .....	46/6
Počítání v ham-shacku .....	42/1, 42/2, 44/3, 44/4, 44/5, 44/6, 44/7 45/8, 44/9, 45/11, 44/12	Radioamatérské setkání na Kozákově 2014 .....	41/7
Staré programy pro závody v novém kabátě .....	42/1, 42/2	Modul pro zlepšení poslechu .....	43/7
Předpověď podmínek šíření KV na leden .....	44/1	Předpověď podmínek šíření KV na červenec .....	45/7
Nový japonský zesilovač pro KV pásma TOKYO HY-POWER HL-770B .....	44/1	Projekt HAARP a ionosféra .....	45/7
OSCAR .....	45/1, 45/4, 45/9	Mistrovství ČR dětí a mládeže v radiotechnice – Olomouc .....	41/8
Desítky nových CubeSatů .....	45/1	KV zpětnovazební přijímač Ten-Tec 1253 v SMD provedení .....	42/8, 42/9
Pozvánka do OK QRP závodu .....	46/1	Předpověď podmínek šíření KV na srpen .....	46/8
Silent key OK2PFO .....	46/1	Radioamatérské expedice v září 2014 .....	46/8
Reflexní SV přijímač (DPS) .....	7/2	VKV setkání Gajów 2014 .....	47/8
Krátkovlnný zpětnovazební audion .....	8/2	Silent key DJ0AK .....	47/8
První spojení OK-SP a OK-DL v pásmech 134 a 248 GHz .....	41/2	Vzpomínka na Milana Prokopa, OK2PP .....	47/8
Nové výrobky pro náročné radioamatéry .....	44/2	Nový VHF/UHF transceiver ICOM ID-5100 .....	32/9
Silent key Ivan Kosiř, OK2MW, OK4MW/mm .....	45/2	První světová válka a radioamatéři .....	41/9
Předpověď podmínek šíření KV na únor .....	46/2	Japonská kosmická sonda Shin-en2 .....	45/9
Radioamatérské expedice v únoru a březnu .....	46/2	Přenosný minitransceiver FT-252 .....	45/9
Tabulka závodů na VKV v roce 2014 .....	47/2	Předpověď podmínek šíření KV na září .....	46/9
Old New Year (Staryj Novyj God) .....	47/2	Radioamatérské DX expedice v září 2014 .....	46/9
Minivysílač na 433 MHz .....	12/3	Polní den s OK2KOS .....	47/9
Pozvánka k novému závodů OK-OM DX SSB Contest .....	41/3	Jak jsme fandili českému reprezentačnímu týmu OL4HQ .....	41/10
Česká reprezentační stanice má pro rok 2014 značku OL4HQ .....	41/3	České expedice do Afriky/25. mezinárodní setkání radioamatérů „Holic 2014“ .....	42/10
Novinky na radioamatérském trhu .....	43/3	Předpověď podmínek šíření KV na říjen .....	45/10
Tradiční vánoční setkání v Olomouci .....	45/3	Radioamatérské expedice v říjnu 2014 .....	45/10
Předpověď podmínek šíření KV na březen .....	46/3	Závody a program TR4W .....	46/10
Radioamatérské expedice v měsíci březnu až dubnu .....	46/3	OK Flora a fauna s OK1APY a OK2APY .....	46/10
Lineární vf zesilovač 5 W .....	10/4	QRP vysílač pro ARDF v pásmu 3,5 MHz .....	9/11
V dubnu a květnu vrcholí technické soutěže mládeže (DPS) .....	41/4	VKV setkání Zielieniec 2014 .....	41/11
Nové transceivery TEN-TEC .....	42/4	Oscilátory pro DCRX a využitelné titěrnosti zvané SMD .....	42/11
Nové knihy pro radioamatéry .....	42/4	Upřesňující informace k používání volací značky OL90OK v listopadu 2014 .....	45/11
Přírodní rezervace Kamenný vrch, JN88JX .....	43/4	Předpověď podmínek šíření KV na listopad .....	46/11
LituanicaSat-1 – litevský CubeSat .....	45/4	Radioamatérské expedice v listopadu .....	46/11
Předpověď podmínek šíření KV na duben .....	46/4	Silent key OK1BI .....	47/11
Radioamatérské expedice v dubnu až květnu .....	46/4	Silent key OK2OT .....	47/11
Nadace Yasme .....	47/4	Silent key OK1NR .....	47/11
Nový KV transceiver firmy Alinco – DX-SR9T/E .....	42/5	QRP vysílač pro ARDF v pásmu 145 MHz .....	10/12
Přijímač pro dvě pásma: 7 a 14 MHz .....	43/5, 42/6	Kongres FIRAC 2014 v Hamburku .....	41/12
Předpověď podmínek šíření KV na květen .....	45/5	Stavebnice zesilovače špičkových parametrů – JUMA PA1000 .....	45/12
Radioamatérské DX expedice v květnu až červnu .....	45/5	SDR transceiver FLEX 6300 .....	45/12
Nová VKV přenosná stanice YAESU FT1DR .....	43/6	Předpověď podmínek šíření KV na prosinec .....	46/12
XIX. setkání radioamatérů a CB Zásoka 2014 .....	43/6	Česká expedice na ostrov sv. Eustacha .....	46/12
Předpověď podmínek šíření KV na červen .....	45/6		
Září 2014: česká radioamatérská expedice do Toga .....	45/6		
Pozvánka do závodu IARU Championship 2014 .....	46/6		

## ROZHLASOVÉ A TELEVIZNÍ PŘIJÍMAČE, PROFESIONÁLNÍ PŘIJÍMACÍ A VYSÍLACÍ TECHNIKA, ZAŘÍZENÍ OVLÁDANÁ RÁDIEM, TELEFONY, FAXY

Programovatelný FM tuner (DPS) .....	11/7	Přijem FM rozhlasu – jak na to? .....	28/7
		Paměť vyzvánění telefonu .....	8/11

## POKYNY A POMŮCKY PRO DÍLNU

Pozor na kontaktní pole .....	30/1	Poznámka k používání elektrolytických kondenzátorů .....	29/6
Domácí reflow .....	31/2	Oživování starých přístrojů .....	18/9
Miska na součástky .....	22/3	Odlučovač k vysavači .....	24/10
Redukce pro IO v pouzdech SMD .....	30/4	Těsnění na míru .....	22/12
Regulační autotransformátor v dílně .....	14/5		



## ZDROJE, MĚNIČE, REGULÁTORY

Udržovací nabíječka akumulátoru .....	12/1	Žhavicí zdroj ZD2 1,0 až 2,5 V/2 A (DPS) .....	7/7
Ni-MH nabíječka SOLO (DPS) .....	19/1	Regulovatelný napájecí zdroj 0 až 30 V/0 až 2 A (DPS) .....	15/7
Odpojovač zátěže při poklesu napětí akumulátoru (DPS) .....	43/1	Anodový zdroj ZD90 90 V/30 mA (DPS) .....	8/8
Automatický přepínač polarity .....	9/2	Obousměrný regulátor otáček (DPS) .....	14/8, 19/9
Mustek H pro buzení ss motoru .....	9/2	Regulátor teploty pištole na horúce lepenie .....	23/8
Zdroj k autorádiu (DPS) .....	22/2	Nabíječka s UC3906 (DPS) .....	23/9
Impulsní regulátor s LM2576T-5.0 .....	12/3	Stmívač s ATtiny13 (DPS) .....	25/9
Superkondenzátor posílí malý knoflíkový článek v případě potřeby .....	17/3	Síťový oddělovač .....	7/10
Regulátor AC ventilátoru (DPS) .....	18/3	Regulátor jasu LED (DPS) .....	7/10
Ochrana regulovaného zdroje s LM317 .....	26/3	Solární elektrina v praxi .....	14/10
Třístavový regulátor termostatu .....	9/4	Zdroj pro aktivní sondu (DPS) .....	18/10
Regulátor pro plynulý doběh ss motoru .....	8/5	Několik zařízení z jednoho zdroje 12 V .....	21/10
Analogový MPPT regulátor k solární nabíječce (DPS) .....	21/5	Jednoduchá nabíječka alkalických akumulátorů (DPS) .....	7/11
5 V z jedné nebo dvou baterií .....	25/5, 30/6	Síťový zdroj pro LED .....	9/12
Zdroj ss proudu se dvěma tranzistory .....	9/6	Zdroj s předregulátorem 1,5 až 25 V/2,5 A (DPS) .....	11/12
Označení míry nabití akumulátorů .....	19/6	H-Bridge ovládaný PV optodriverem .....	29/12
Elektronická pojistka .....	29/6	Malé napětí? .....	30/12

## RŮZNĚ APLIKOVANÁ ELEKTRONIKA, ELEKTRONIKA VE FOTOGRAFII, PRO MOTORISTY, MODELÝ, HRAČKY

Generátor náhodných barev (DPS) .....	8/1	Stroboskop s LED napájený ze sítě .....	10/7
Alarm k ledničce .....	9/1	Hlídání výšky hladiny vody bezdrátovým zvonkem .....	22/7
Semafor pro modeláře (DPS) .....	21/1, 28/2	Univerzální zdroj impulzů pro MT, EIT a LEDT (2) .....	7/8
Valentinské srdíčko s mikrokontrolérem Atmel .....	24/1	Bezdrátový mikrofon .....	10/8
Ovladač pro modelářské servo .....	10/2	LED osvětlení schodiště (DPS) .....	11/8
Oprava kompaktní žárovky .....	32/2	Procesorový přepínač PP/ZZ zálohového zdroja nie len pre RC modely (DPS) .....	21/8
Blikačka na kolo (DPS) .....	23/3	Automatické dálkové ovládání (DPS) .....	25/8
Vyvolávací systém .....	27/3, 28/4, 26/5	Vreckové svietidlo .....	7/9
Úsporná žárovka pro chudé amatéry .....	30/3	Běžící světlo (DPS) .....	7/9
Spouštěcí tlačítko .....	10/4	Ultrazvukový plašič psů a koček .....	8/9
Serva nejen pro modeláře .....	14/4, 18/5, 25/6, 25/7	Retranslátor pro IR ovladač .....	10/9
Ridičí elektronika pro domácí vodárnu (DPS) .....	17/4	Náhrada 75 W žárovky LED žárovkou 12 W .....	20/10
Jeden ventilátor pro dva chladiče .....	20/4	Pípajúca kocka .....	28/10
Akustický indikátor zaplavení (DPS) .....	7/5	Jednoduché blikače s dvoubarevnými LED .....	10/11
Lampička za televizor .....	8/5	Dotykové zvonky (DPS) .....	15/11
FenOmen – topení téměř zadarmo (DPS) .....	11/5	Řadič motoru s L9110 .....	16/11
LED žárovka 2 W (DPS) .....	15/5	Osvětlení koupelny (DPS) .....	23/11
Univerzální zdroj impulzů pro MT, EIT, LEDT .....	7/6	LED lampička .....	26/11
Detektor kovů .....	10/6	Řízení vytápění rodinného domu (DPS) .....	27/11
SMCB10 a SMCB30 – řadiče krokových motorů (DPS) .....	16/6	Drawdio – zahrajte svou oblíbenou písničku pomocí tužky a papíru! (DPS) .....	7/12
Evakuační spínač (DPS) .....	20/6	Mikrorobot .....	20/12
Světelný spínač s netradičním senzorem .....	24/6	Vodní hlásič (DPS) .....	23/12
RGB kontrolér .....	27/6	Jednoduchý indikátor přetížení .....	23/12
Signalizácia zapnutia osvetlenia .....	7/7		
Oprava úspornej kompaktnéj žiarivky .....	7/7		
Ovladač bistabilního relé .....	10/7		

## VÝPOČTY OBVODŮ, NOVÉ MATERIÁLY, NOVÁ TECHNIKA A TECHNOLOGIE, POUŽITÍ NOVÝCH PRVKŮ

Olověné akumulátory Cyclon .....	29/1	Ohebné solární panely .....	20/5
Konfigurovatelné obvody 74LVC1Gxx .....	23/2	Ono se řekne atenuátor .....	18/8
Odporová fólie .....	3/3	Vícenásobný kroužkový sběrač .....	22/8
Sendustové akumulární SMD tlumivky pro spínané zdroje .....	20/3		

## ANTÉNY, ANTÉNNÍ ZESILOVAČE, PŘÍSLUŠENSTVÍ

KV aktivní prutová anténa .....	11/1	Fresnelzónová anténa .....	31/7
Logaritmicko-periodické antény pro dvě pásma .....	31/1	Nová vertikální anténa firmy Cushcraft – R9 .....	44/7
Doporučené provedení balunu 4:1 .....	43/2	Přijímací anténa G3LNP se směřováním v azimutální i elevační rovině .....	31/8
O Fresnelových zónách .....	31/3	Palstar BT-1500A .....	32/8
Asymetrické anténní členy .....	42/3	Anténní zesilovač pro pásma AM .....	9/9
Modelování antén pomocí programu 4NEC-2 .....	44/3, 44/4, 44/5, 44/6, 44/7, 45/8, 44/9, 45/11, 44/12	Dálkové ovládaný přepínač čtyř antén .....	10/10
Vysílací krátkovlnné antény v městských podmínkách .....	31/4, 31/5, 31/6	Anténa MOXON pro pásmo 30 m .....	31/10
Směrová anténa pro pásma 10 a 6 metrů .....	43/4	Aktivní anténa pro VKV .....	10/11
Aktivní anténa podle N7ZVY .....	10/5	Anténní zesilovače Telkom Telmor WWK-1062, WWK-861 a Alcad AM-417 .....	17/11
O magnetických smyčkových anténách – - teorie/praxe/výroba .....	41/5, 41/6, 42/7, 44/8, 43/9, 44/10 44/11, 43/12	Stavba vícepásmové zkrácené dipólové antény .....	31/11, 31/12
Nová anténa SteppIR .....	46/5	Držák malé antény do okna .....	32/12
		Kvadroptera – nový pomocník při stavbě antén .....	42/12



## ČÍSLICOVÁ A VÝPOČETNÍ TECHNIKA

Periférie mikrokontrolérů .....	6/1, 5/2, 7/3, 5/4, 5/5, 5/6, 5/7, 5/8, 5/9, 5/10, 5/11, 5/12	50 let programovacího jazyku Basic .....	35/6
Mikrokontroléry STM32F prakticky (DPS) .....	14/1	Logický simulátor pro Android .....	35/6
Odrušovací obvod pro sběrnici USB .....	12/3	USB2GO Android Development Board .....	36/6
Mikrokontroléry STM32 bezdrátově (DPS) .....	21/4	Generátor telegrafních textů .....	36/6
<b>Ze světa počítačů</b>		Electronics Club <a href="http://electronicsclub.info">http://electronicsclub.info</a> .....	36/6
MINI PC INTEL NUC .....	33/1	Free software pro návrh plošných spojů .....	33/7
Software pro Android .....	35/1	USB programátor pro Atmel AVR .....	35/7
Modul PGSM-1 .....	36/1	Modul pro spojení telefonu a automobilu .....	36/7
Přepínač DNS – DNS Jumper .....	36/1	Klávesnice pro Android .....	36/7
Elektrotechnický magazín <a href="http://www.pandatron.cz">http://www.pandatron.cz</a> .....	36/1	Electronics lab <a href="http://www.electronics-lab.com">http://www.electronics-lab.com</a> .....	36/7
Domácí mediální centrum .....	33/2	1SHEELD – rozhraní k Arduino, umožňující použít smartphone jako shield (DPS) .....	33/8
Sériová digitální datová rozhraní .....	34/2	Morseovka v Androidu pro zadávání znaků i jejich vysílání .....	35/8
Fitbit Force .....	36/2	BMP180 – senzor tlaku vzduchu a teploty .....	36/8
GreenShot – snímání obrazovky .....	36/2	Změna času a data souborů .....	36/8
Khanova škola <a href="http://khanovaskola.cz">http://khanovaskola.cz</a> .....	36/2	Radioamatérský e-shop <a href="http://hamshop.cz">http://hamshop.cz</a> .....	36/8
EveryCircuit – simulátor elektronických obvodů .....	33/3	Internet věci – Máme se nadchnout nebo bát? .....	33/9
Připojení karty MicroSD do vlastní konstrukce .....	35/3	Převodník RS232/TCP-IP .....	35/9
WiFi modul WizFi630 .....	35/3	SHT15 – senzor vlhkosti a teploty .....	36/9
Intel Edison – počítač velikosti SD karty .....	36/3	ISS detector .....	36/9
HAMCALC – kalkulátor pro radioamatéry .....	36/3	Propojení věci a dat v internetu <a href="http://www.carriots.com">http://www.carriots.com</a> .....	36/9
Webové technologie <a href="http://www.w3schools.com">http://www.w3schools.com</a> .....	36/3	Otevřená platforma pro aktivní elektroniku Fritzing .....	33/10
Dálkové spínání telefonem přes Bluetooth .....	33/4	Soukromí a bezpečnost na internetu .....	35/10
Programy pro elektroniku pro OS Android .....	35/4	Mini 3G modem pro „internet věci“ .....	36/10
TEENSY – menší a výkonnější Arduino .....	36/4	Turbo editor .....	36/10
Youtube Downloader .....	36/4	Tisíce fontů na Fonts2u <a href="http://cs.fonts2u.com">http://cs.fonts2u.com</a> .....	36/10
Hackerspaceshop <a href="http://www.hackerspaceshop.com">http://www.hackerspaceshop.com</a> .....	36/4	Bezpečný systém i software .....	33/11
Virtuální hudební nástroje ve webové stránce .....	33/5	Soukromí a bezpečnost na internetu .....	35/11
Legenda časovač 555 z diskretních součástek .....	35/5	Mobilní AP LTE/HSPA E5372 .....	35/11
Microview – miniaturní Arduino .....	36/5	Audio generátor a analyzátor .....	36/11
Editor HTML, CSS, PHP a JS pro Android .....	36/5	Protected text <a href="http://www.protectedtext.com">http://www.protectedtext.com</a> .....	36/11
EVIL MAD Scientists laboratories .....		DX Patrol – SDR přijímač 0,1 MHz až 2 GHz .....	33/12
<a href="http://www.evilmadscientists.com">http://www.evilmadscientists.com</a> .....	36/5	Bezpečný e-mail .....	35/12
Dálkové spínání přes Bluetooth II .....	33/6	LAN ovladač s pěti výstupy .....	36/12
Senzory pro Arduino .....	34/6	DSP filter .....	36/12
		Web Popcorn QRP .....	36/12

## ČLÁNKY PRO MLÁDEŽ

Signál v místě příjmu .....	5/1	Feritové antény .....	4/7, 4/8, 4/9, 4/10
Intenzita signálu a přijímaný výkon .....	4/2, 6/3, 4/4, 4/5, 4/6	Příjem AM signálu .....	4/11, 4/12

## HISTORIE

Vzpomínání rozhlasové .....	37/1	Válečná výroba spojovací techniky .....	
Zkáza lodi Republika .....	38/1	německé firmy Radio Mende .....	40/6, 40/7
Historie firmy Hallicrafters .....		Technika SSB na VKV před 50 lety .....	37/7, 37/8, 37/9, 38/10, 40/11, 40/12
a její výrobky .....	39/1, 40/2, 40/3, 39/4, 40/5, 38/6	Perličky z historie firmy Collins .....	38/7, 40/8
Radioamatér – vynálezce kardiostimulátoru .....	40/1	Nové elektronické knihy .....	40/7
Gigant PHILIPS má za sebou už přes 120 let .....	37/2, 39/3, 40/4	Dönitzova ponorková strategie .....	
Grid dip meter Philips professional GDM3121 .....	38/2	za druhé světové války .....	39/8, 38/9, 39/10
80 let od potopení parníku Čeljuskin .....	37/3	Roberto Landell de Moura – předchůdce Marconiho .....	40/9
Muzeum Jozefa Murgaše v Tajově .....		30. říjen – Den spojovacího vojska AČR .....	37/10
a 150. výročí jeho narození .....	38/3	Na počest Pravoslava Motyčky, OK1AB .....	39/10
Zrození 13cm klystronu .....	37/4	Návštěvou na ledoborci Krasin .....	37/11
První český bulletin pro radioamatéry vysílače .....	38/4	100 let od vynálezu elektrodynamického reproduktoru .....	38/11
Hon na lišku, Harrachov 1962 .....	37/5	Rádio „Blyskawica“ .....	39/11
Sovietske rádiostanice Velké vlastenecké vojny .....	38/5	Kdyby všichni chlapi světa .....	37/12
TESLA Rožnov – .....		Konstruktor monolitických OZ s českými kořeny (Widlar) .....	38/12
stručný pohled na dějiny zaniklého závodu .....	37/6		
Elektronická kniha „Rádio v zelenom“ .....	39/6		

## OPRAVY A DOPLŇKY KE STARŠÍM ČLÁNKŮM

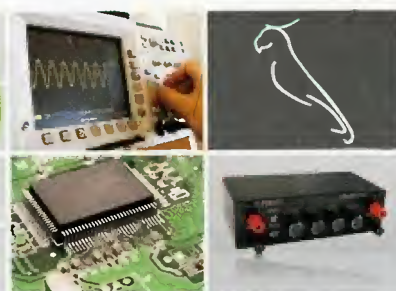
Ohlas na jedenáct let starý článek! .....	40/1	Oprava k článku „Lineární vf zesilovač 5 W“ z PE 4/2014 .....	10/6
Ohlasy čtenářů na konstrukční články v oddíle „Z radioamatérského světa“ .....	45/2	Nf ekvalizér a spektrální analyzátor z PE 1/96, str. 15 .....	19/11
Ohlas na článek „Jak počítat indukčnost jednovrstvé cívky“ z PE-AR 5/12 .....	24/3		



# Datové a měřicí převodníky

www.papouch.com

RS232	Ethernet	CAN BUS	Pro od Papoucha!
RS485	WiFi	Wiegand	LPT
RS422	M-Bus	Pt100	0 - 10 V
USB	MODBUS	TTL	4 - 20 mA



A ještě mnohem více najdete na [www.papouch.com](http://www.papouch.com)

Papouch s.r.o. | 267 314 267 | [papouch@papouch.com](mailto:papouch@papouch.com)

BS ACOUSTIC CZ, s.r.o., Brno - CZ tel.: 00420 541 633 797 e-mail: [bsacoustic@bsacoustic.cz](mailto:bsacoustic@bsacoustic.cz)  
 BS ACOUSTIC, s.r.o., Radošovice - SK tel.: 00421 34 660 4511 e-mail: [bsacoustic@bsacoustic.sk](mailto:bsacoustic@bsacoustic.sk)

**PROFESIONÁLNÍ ZVUKOVÁ**  
**A SVĚTELNÁ TECHNIKA**  
**100V OZVUČOVACÍ TECHNIKA**

[www.bsacoustic.cz](http://www.bsacoustic.cz) [www.bsacoustic.sk](http://www.bsacoustic.sk)

## ODBORNÁ LITERATURA

**POZNÁVÁME ELEKTRONIKU I.**

175,-

Poznáváme elektroniku I  
V. Malina (224 stran, A5)

Základní zákony a veličiny používané v elektronice. Praktické rady pro zhotovování plošných spojů.

**POZNÁVÁME ELEKTRONIKU II.**

175,-

Poznáváme elektroniku II  
V. Malina (200 stran, A5)

Problematika střídavého proudu. Konstrukce a stavba transformátorů, usměrňovačů a stabilizátorů. Stavba zkoušečky.

**POZNÁVÁME ELEKTRONIKU III.**

175,-

Poznáváme elektroniku III  
V. Malina (244 stran, A5)

Obvody CMOS, operační zesilovače, měření napětí a proudu v elektrických obvodech, časovače 555 a 7555.

**POZNÁVÁME ELEKTRONIKU IV.**

175,-

Poznáváme elektroniku IV  
V. Malina (224 stran, A5)

Tyristor, triak, nabíjení, budíček LED. Obsahuje jednoduché stavební návody, např. nabíječka s tyristorovou regulací.

**POZNÁVÁME ELEKTRONIKU V.**

199,-

Poznáváme elektroniku V  
– Vysokofrekvenční technika  
V. Malina (344 stran, A5)

Vf obvody, zesilovače, oscilátory, vysílače, přijímače, antény, šíření vln.

**POZNÁVÁME ELEKTRONIKU VI.**

199,-

Poznáváme elektroniku VI  
od A do Z  
V. Malina (292 stran, A5)

Malá encyklopedie elektroniky, vysvětluje řadu pojmů z elektroniky pochopitelným způsobem.

**POZNÁVÁME ELEKTRONIKU VII.**

199,-

Poznáváme elektroniku VII  
– Osciloskopy  
V. Malina (288 stran, A5)

Pro ty, kdo chtějí porozumět a prakticky se naučit měřit s osciloskopem.

**POZNÁVÁME ELEKTRONIKU VIII.**

299,-

Poznáváme elektroniku VIII  
– Digitální technika  
V. Malina (432 stran, A5)

Základní pojmy a obvody používané v digitální technice. Popisuje řadu zapojení s jednoduchými součástkami.

**ELEKTRONIKA I**

259,-

**ELEKTRONIKA I**  
Miloslav Bezděk (344 stran, A5)

Učebnice pro II. ročník středních odborných škol a odborných učilišť. Kniha má doložku MŠMT.

**ELEKTRONIKA II**

39,-

**ELEKTRONIKA II**  
Miloslav Bezděk (328 stran, A5)

Učebnice pro III. ročník středních odborných škol a odborných učilišť. Kniha má doložku MŠMT.

**ELEKTRONIKA III**

299,-

**ELEKTRONIKA III**  
Miloslav Bezděk (284 stran, A5)

Učebnice pro IV. ročník středních odborných škol a středních integrovaných škol. Kniha má doložku MŠMT.

**ČÍSLICOVÁ TECHNIKA**

259,-

**ČÍSLICOVÁ TECHNIKA**  
M. Antoňová, V. Davidek (308 stran, A5)

Učebnice pro střední odborné školy a odborné učiliště. Kniha má doložku MŠMT.

**APLIKOVANÝ ELEKTROMAGNETIZMUS**

499,-

**APLIKOVANÝ ELEKTROMAGNETIZMUS**  
Daniel Mayer (544 stran, B5, vázaná)

Úvod do makroskopické teorie elektromagnetického pole.

**Slevový kupón**  
 platný do 31. 3. 2015  
**Poznáváme elektroniku I – VIII**  
 cena za 8 svazků  
~~1596~~ ⇒ **1299 Kč**  
 + 100 Kč poštovné

**Elektronika I – III + Číslcová technika**  
 cena za 4 svazky  
~~1056~~ ⇒ **899 Kč**  
 + 100 Kč poštovné

Vystříhnete či naskenujete kupón a zašlete spolu s objednávkou na naši adresu

**KOPP nakladatelství**  
 Šumavská 3, 370 01 České Budějovice  
 tel.: 386 460 474, e-mail: [knihy@kopp.cz](mailto:knihy@kopp.cz)

[www.kopp.cz](http://www.kopp.cz)



# TECHNICKÁ LITERATURA

## Vzestupy a pády české televizní techniky

hold otcům zakladatelům a vzpomínka na léta tovaryšská



Kniha popisuje nejen vývoj techniky, ale i osudy lidí na pozadí politických karambolů. Vše záviselo na mladých tvůrčích osobnostech, které vzaly prapor a udělaly něco nového. Každý došel kam mu síly a okolnosti dovolily. Pak vzal prapor někdo jiný a zase šel dál. Časem jich bylo víc. Tak tomu je i nyní.

Po druhé světové válce začali otcové zakladatelé pod křídly armády a rozhlasu vyvíjet televizi podle německého standardu. Německý výzkum se za války ukrýval v Sudetech. Za tři roky předvedli pracovníci v Tanvaldu, a následně na mezinárodní výstavě rozhlasu Mevro v Praze funkční systém i s vysílačem. Nakonec vysílali přenos z XI. všesokolského sletu. Komunisté zprvu neměli o televizi zájem, tak trvalo dalších 6 let, než bylo v roce 1953 zahájeno pravidelné vysílání. Následovala éra profesionálního výzkumu vývoje, výroby a výstavby televizních středisek v celé republice. Zařízení bylo elektronkové, později tranzistorové pro černobílou a pak i pro barevnou televizi. Po roce 1990 však toto odvětví zaniká. Kupodivu to neznamena konec české účasti, ale naopak eskalaci. Vznikly nové firmy schopné dodávat na míru vybavení ze zahraničního zařízení, řešit automatizaci a uplatnit informační technologie. Dnes se vysílá digitálně s vysokým rozlišením.

*Autor Karel Vambora, vydalo nakladatelství BEN – technická literatura, 248 barevných stran B5, vázané.*

<http://shop.ben.cz/121358>

Prodejní místa nakladatelství BEN – technická literatura:

centrála: Věšínova 5, 100 00 PRAHA 10. (pouhých 200 m od stanice metra „Strašnická“)

prodejna a zásilková služba tel. 274 820 211, 274 818 412

Internet: <http://www.ben.cz>, e-mail: [knihy@ben.cz](mailto:knihy@ben.cz)

BRNO, PLZEŇ, OSTRAVA – prodejny zrušeny. možnost dodání přes systém Uloženko nebo Zásilkovna



## Výprodej součástek za poloviční ceny



**dvouřádkové LCD moduly (16×2) za 65 Kč,**

bezdrátové vf moduly 433 MHz Aurel (stíněné i nestíněné),  
doutnavky, mikrokontroléry Microchip PIC, lithiové baterie,

**piezo píšťátka**, patice s nulovou silou TEXT TOOL,

akumulátory Li-Pol, tělesa žárovek E27/E14/GU10,

UV LED + UV fixy, miniaturní relé, paměti EEPROM,

toroidní transformátory, GSM modemy SIM300DZ, stabilizátory 78xx a 79xx

síťové vypínače, krystaly, filtry, elyty 105 °C a s nízkým ESR, svítkové kondy řady TC205 atd.

vázací pásky, svorkovnice (čokolády), izolační pásky, RJ spojky, domovní zvonky,

různé české i zahraniční polovodiče (na dotaz): T, D, Ty, Tr, LED, IO, TTL, optočleny,

a další různé další součástky = VŠE VELMI LEVNĚ

Vyrábíte-li malé série,  
pošlete svoji poptávku:  
[hezky.den@volny.cz](mailto:hezky.den@volny.cz)

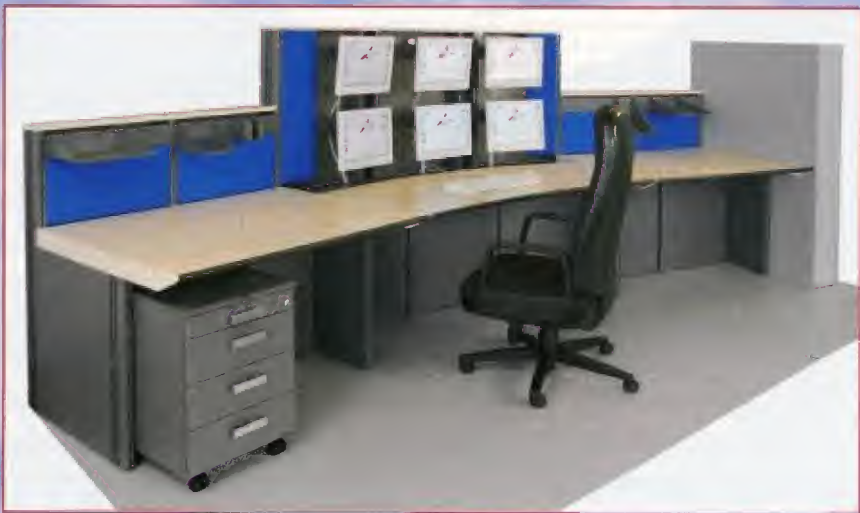
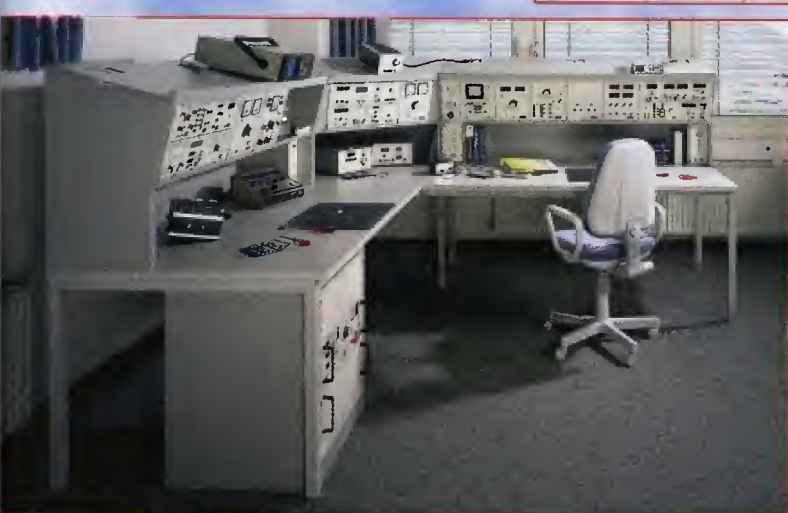
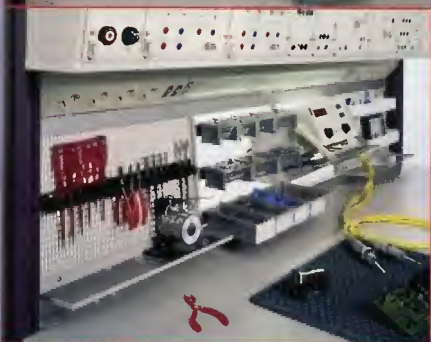
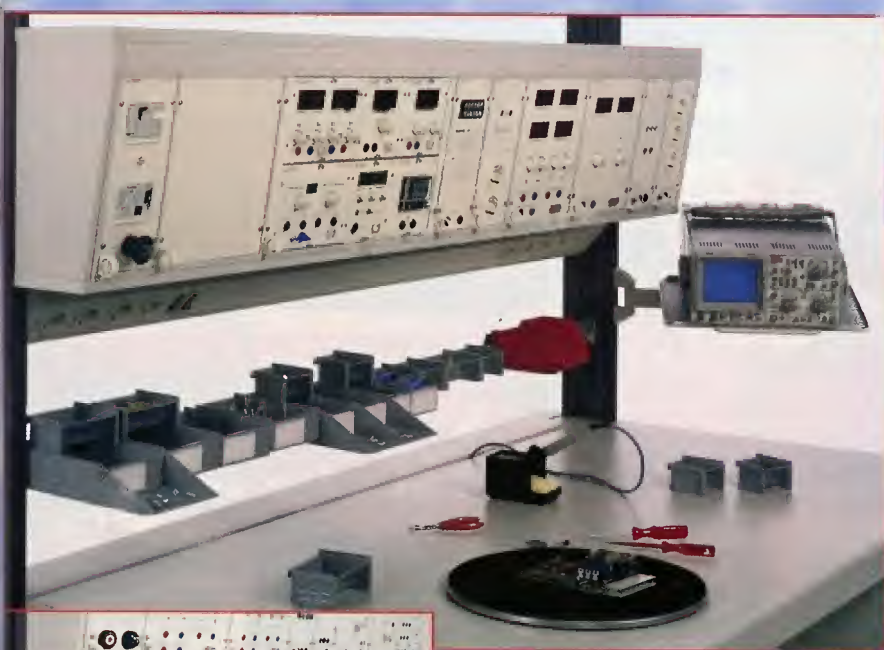
[www.hezkyden.cz](http://www.hezkyden.cz)

Výdejní místo v Praze v prodejně BEN – technická literatura nebo na OK1KFX



# ELABO

Komplexní vybavení  
elektrolaboratoří, zkušeben a velinů



**FC SERVICE**  
spol. s r.o.

info@elabo.cz; www.elabo.cz; tel: +420 603 436 785





Objednávejte na tel. 257 317 312 a 257 317 313 nebo na adrese:  
**AMARO spol. s r. o.,** Karlovo nám. 30, 120 00 Praha 2; [odbyt@aradio.cz](mailto:odbyt@aradio.cz)  
 DVD bude doručen na dobírku nebo si jej můžete vyzvednout osobně.  
 Zájemci na Slovensku si mohou objednávat u firmy **MAGNET-PRESS Slovakia s. r. o.,**  
 P. O. box 169, 830 00 Bratislava, tel./fax (02) 672 019 31-33; [predplatne@press.sk](mailto:predplatne@press.sk).

Cena DVD 1952 až 1995 je 1650 Kč + poštovné + balné. Předplatitelé časopisů u firmy AMARO mají výraznou slevu. Pouze pro ně bude toto DVD stát 1250 Kč.  
 Cena DVD 1996 až 2010 je 1250 Kč + poštovné + balné. Předplatitelé časopisů u firmy AMARO mají výraznou slevu. Pouze pro ně bude DVD stát 850 Kč.



**POZOR! NOVÁ ADRESA: Blanická 845/9, 120 00 Praha 2, tel.: 702 106 157**



## OBJEDNÁVKA PRO ČESKOU REPUBLIKU NA ROK 2015

**Zajistěte si předplatné u naší firmy AMARO a získáte až dvě čísla PE-AR zdarma!!!  
Spolu s předplatným navíc získáváte výraznou slevu na nákup CD ROM a DVD**

Titul	Předplatné 12 čísel	Předplatné 6 čísel	Objednávku od č.:	Množství
Praktická elektronika - Amatérské Radio	756,-- Kč	378,-- Kč		

Tituly prosím zasílat na adresu:

Příjmení ..... Jméno .....

Adresa .....

Organizace doplní název firmy, IČO, DIČ, Tel./fax/e-mail .....

**Objednávku zašlete na adresu: Amaro spol. s r. o., Blanická 845/9, 120 00 Praha 2, tel.: 702 106 157; e-mail: [odbyt@aradio.cz](mailto:odbyt@aradio.cz)**



Titul	Cena	Množství	Cena pro naše předplatitele	Množství
CD ROM ročník 2011	350,-- Kč		220,-- Kč	
CD ROM ročník 2012	350,-- Kč		220,-- Kč	
CD ROM ročník 2013	350,-- Kč		220,-- Kč	
CD ROM ročník 2014 (březen 2015)	350,-- Kč		220,-- Kč	
DVD (1945 - 1951) + (1996 - 2010)	1250,-- Kč		850,-- Kč	
DVD AR ročníky 1952 - 1995	1650,-- Kč		1150,-- Kč	

Tituly prosím zasílat na adresu:

Příjmení ..... Jméno .....

Adresa .....

Organizace doplní název firmy, IČO, DIČ, Tel./fax/e-mail .....

**Objednávku zašlete na adresu: Amaro spol. s r. o., Blanická 845/9, 120 00 Praha 2, tel.: 702 106 157; e-mail: [odbyt@aradio.cz](mailto:odbyt@aradio.cz)**



# PRAKTICKÁ ELEKTRONIKA RADIO

## OBJEDNÁVKA PRE SLOVENSKÚ REPUBLIKU NA ROK 2015

Objednajte si zvýhodnené predplatné v **MAGNET PRESS SLOVAKIA**.  
Spolu s predplatným navyše získate výraznú zľavu na nákup CD a DVD.

### ČASOPISY

	Ročné predplatné	Polročné predplatné	Objednávka od čísla	Množstvo
Praktická elektronika – Amatérské Radio	38,00 € (12 čísel)	19,50 € (6 čísel)		

Časopisy prosím zasielať na adresu:

Priezvisko a meno / Firma .....

Adresa .....

Firma (IČO, IČ pre DPH) .....

E-mail ..... Tel./fax .....

Objednávku zašlite na adresu:

**MAGNET PRESS, SLOVAKIA s.r.o., P.O.BOX 169, 830 00 Bratislava**  
tel./fax: 02 6720 1931 – 33, e-mail: [predplatne@press.sk](mailto:predplatne@press.sk), [www.press.sk](http://www.press.sk)



### CD+DVD

	Cena	Množstvo	Cena pre predplatiteľa	Množstvo
CD ROM ročník 2011	14,00 €		10,00 €	
CD ROM ročník 2012	14,00 €		10,00 €	
CD ROM ročník 2013	14,00 €		10,00 €	
CD ROM ročník 2014	14,00 €		10,00 €	
DVD (1945 – 1951) + (1996 – 2010)	51,00 €		35,00 €	
DVD AR ročníky 1952 – 1995	67,50 €		47,00 €	

CD, resp. DVD prosím zaslať na adresu:

Priezvisko a meno / Firma .....

Adresa .....

Firma (IČO, IČ pre DPH) .....

E-mail ..... Tel./fax .....

Objednávku zašlite na adresu:

**MAGNET PRESS, SLOVAKIA s.r.o., P.O.BOX 169, 830 00 Bratislava**  
tel./fax: 02 6720 1931 – 33, e-mail: [predplatne@press.sk](mailto:predplatne@press.sk), [www.press.sk](http://www.press.sk)



# Hodiny řízené mikrokontrolérem

Ondřej Slovák



Stavba hodin z klasických logických obvodů je výborná škola digitální techniky. Takové hodiny však obsahují spoustu integrovaných obvodů, dnes na to stačí jeden mikrokontrolér. Při psaní programu (nejen pro hodiny) je ale znalost digitální techniky velmi užitečná.

Hodiny zobrazují čas, datum, den v týdnu a rok. Tyto údaje se automaticky střídají podle zvoleného módu.

## Funkce a ovládání hodin

Na ovládání stačí jenom dvě tlačítka: Horní N je pro výběr módu 1 až 4, nebo při nastavování +1. Dolním tlačítkem S se zahájí nebo ukončí nastavování.

Mód 1 - zobrazuje pouze čas.

Mód 2 - střídá se zobrazení času (6 s) a data (2 s).

Mód 3 - zobrazuje čas (6 s), datum (2 s) a den (2 s).

Mód 4 - čas (6 s), datum (2 s), den (2 s) a rok (2 s).

Pro mód 2 až 4 platí, že vždy v padesáté šesté sekundě se displej přepne na zobrazení času.

Konkrétní údaj lze nastavit jenom tehdy, když se zrovna zobrazuje, takže například pro nastavení roku musíme nejdříve zvolit mód 4. Jakmile se rok zobrazí, stiskneme dolní tlačítko S. Údaj potom začne blikat a tlačítkem N ho můžeme změnit (+1), drže-

ní tlačítka urychlí přičítání. Nastavování ukončíme tlačítkem S.

Některá nastavení jsou rozdělena do více kroků, například čas. Po stisknutí tlačítka S začnou první blikat hodiny, potom minuty a nakonec sekundy. Tlačítkem S postupně vybereme požadovaný údaj, ten potom můžeme změnit tlačítkem N.

Během nastavování sekund je na displeji zobrazen nápis SE a běžíci sekundy. Ty se ale nenastavují, jenom se vynulují a zastaví, dokud je tlačítko N stisknuto.



Datum se nastavuje ve dvou krocích, nejdříve den, pak měsíc. Rok lze nastavit až do 2099, potom se vrátí na 2000.

Okamžitě po nastavení roku začíná ruční nastavení jasu displeje. Můžeme vybrat jednu z deseti úrovní jasu, 0 až 9. Ruční nastavení bude však jenom dočasné, v určitých časech bude jas nastaven automaticky:

- v 6:00 se nastaví jas 5,
- v 8:00 jas 9,
- v 18:00 jas 4
- a ve 20:00 jas 0.

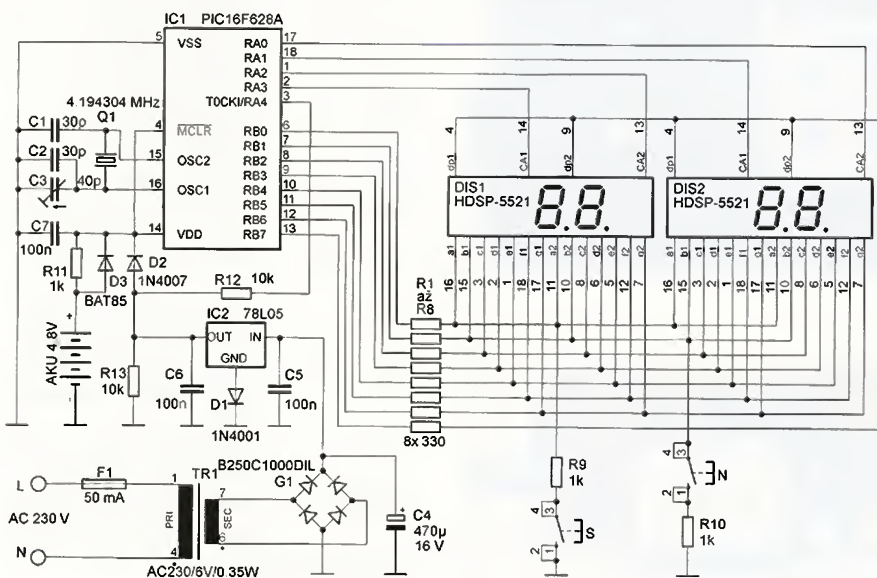


Přesnost hodin závisí na krystalu (4,194 304 Hz), kmitočet doladíme kapacitním trimrem C3. Pokud je kmitočet nízký (čas se pozdí) – kapacitu C3 zmenšíme. Při vysokém kmitočtu (čas se předchází) kapacitu C3 zvětšíme. Jestliže se čas předchází, i když je C3 na maximu, zvětšíme kapacitu kondenzátorů C1 a C2 (o 10 až 20 pF). A naopak, pokud se hodiny zpožďují, přestože je C3 už na minimu, kapacitu C1 a C2 zmenšíme.

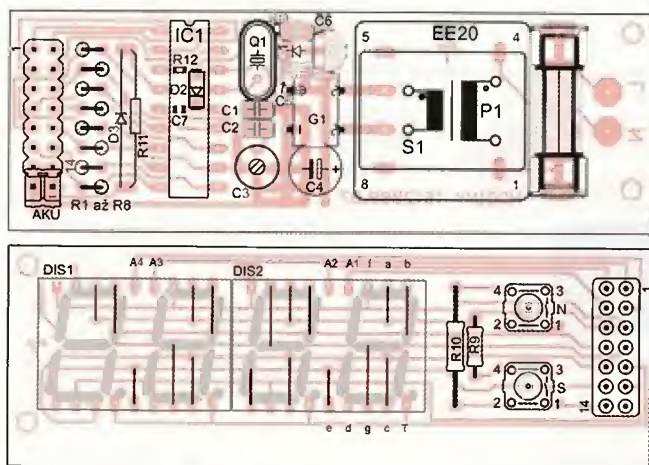
Při výpadku sítě jsou hodiny napájené ze záložního zdroje. Aby akumulátor vydržel co nejdéle, displej při výpadku zhasne, bliká jenom desetinná tečka (1 Hz). Po obnovení napájení svítí displej nejmenším jasnem (0).

## Stavba

Zapojení je rozděleno na dvě desky s plošnými spoji. Propojovací ko-

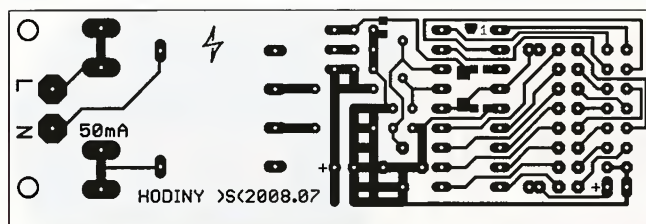


Obr. 1.  
Schéma zapojení  
hodin (nahore)

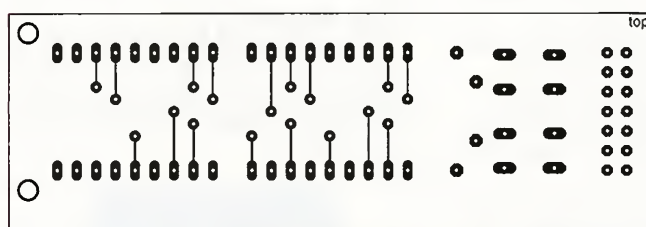
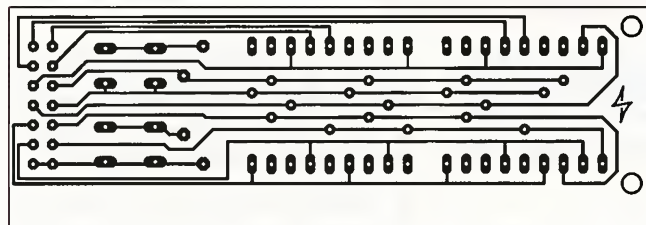


Obr. 2.  
Osazení desek  
hodin. Pro displej  
může být použita  
deska se spoji  
i na vrchní  
straně, stačí  
však použít  
drátové propojky,  
viz text





Obr. 3.  
Desky  
s plošnými spoji  
hodin



Obr. 4.  
Horní strana  
desky displeje  
(použijete-li  
oboustrannou  
desku)



Obr. 5 a 6. Osazené desky a sestava hodin

nektor a dva šroubky M2 drží obě desky u sebe. Rozměry desek odpovídají krabici U-KM32C. Sestava spojených desek do krabičky zapadne, takže není nutné další uchycení.

Deska displeje nemusí mít spoje po obou stranách. Místo horní vrstvy (červená) lze použít drátové propojky, například tenké pocínované drátky z lankového vodiče. Jeden konec drátu se připevňuje do pájecího bodu a druhý provlékne do díry pro vývod displeje. Po osazení displeje, se dráty ovinou kolem vývodů a připevňují.

Program včetně zdrojového kódu si můžete stáhnout na stránkách <http://www.s-o.webnode.cz/hodiny>.

### Seznam součástek

R1 až R8	330 Ω
R9 až R11	1 kΩ
R12, R13	10 kΩ, SMD 0603
C1, C2	30 pF
C3	3 až 40 pF, kapacitní trimr
C4	470 μF/16 V
C5, C6	100 nF, keramický
C7	100 nF, SMD 0603
D1	1N4001
D2	1N4007, SMD pouzdro D0213AB
D3	BAT85 (SB160), Schottky dioda
G1	B250C1000DIL, diodový můstek
IC1	PIC16F628A (naprogramovaný)
IC2	78L05
Q1	krystal 4,194 304 MHz
DIS1, DIS2	HDSP-5521 (vysoce svítivé, společná anoda)
TLS, TLN	B6819 mikropínač, výška 17 mm
TR1	transformátor do DPS AC 230 V/6 V/0,35 W
F1	50 mA trubičková pojistka + 2x držák pojistky do DPS
BAT	akumulátor NiCd 4,8 V / 400 mAh + konektor
konektor	lámací lišta dvouřadá + dutinková lišta 2x 7 pinů
objímka pro IC1 - DIL 18 pinů	krabice U-KM32C

## Sháníte velmi malý reproduktor?

Nemusíte ho kupovat, ostatně velmi ploché nebo miniaturní oválné reproduktory v prodejnách ani nenajdete. Možná ale najdete v okolí nefunkční vyřazený mobilní telefon, v něm budou malé reproduktory hned dva. Jeden průměrem větší (zpravidla zadní) poskytuje na svou velikost



Obr. 1. Reproduktor z mobilního telefonu

slušný výkon a bývá plochý, jeho přenos ale není tak věrný. V mobilu slouží k vyzvánění nebo hlasitému poslechu hovorů. Druhý (přední) bývá menší a méně výkonný, ale má kvalitní přenos; ten slouží při běžném hovoru. Kompaktní reproduktor na snímku je z mobilního telefonu Sony Ericsson W705, má rozměry 10 x 7 x 3 mm a impedanci kolem 32 Ω. Budící signál by neměl příliš překročit napětí 4 V  $U_{ef}$ .

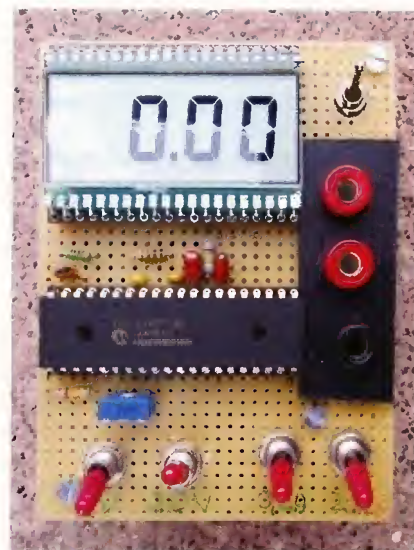
Ing. Michal Černý



# Jednoduchý VA merací prístroj

Miroslav Cina

Pustil som sa zase raz do stavby – už ani neviem čoho s mikrokontrolérom, avšak s dvoma napájacími napätiami: 3,3 V a (pre periférie) 5 V. Keď som po chvíli prišiel ku situácii, keď som to celé chcel premerať, dospel som zrazu k záveru, že meracích prístrojov nikdy nie je dost'. A keďže som nechcel nakupovať „ďalší lacný bakelitový“, pustil som sa do stavby jednoduchého „lacného amaterskeho“... Moje pozorovania a skúsenosti zo stavby tohto prístroja by som rád v krátkosti popísal...



## Úvod

Hneď na začiatok musím povedať, že moje nároky na výsledok tohoto snaženia neboli v tomto prípade zvlášť veľké. Potreboval som „merák“ povedzme „na najbežnejšie rozsahy pri práci s mikrokontrolérmi...“, a najlepšie bez komplikovaných mnohopolohových prepínačov.

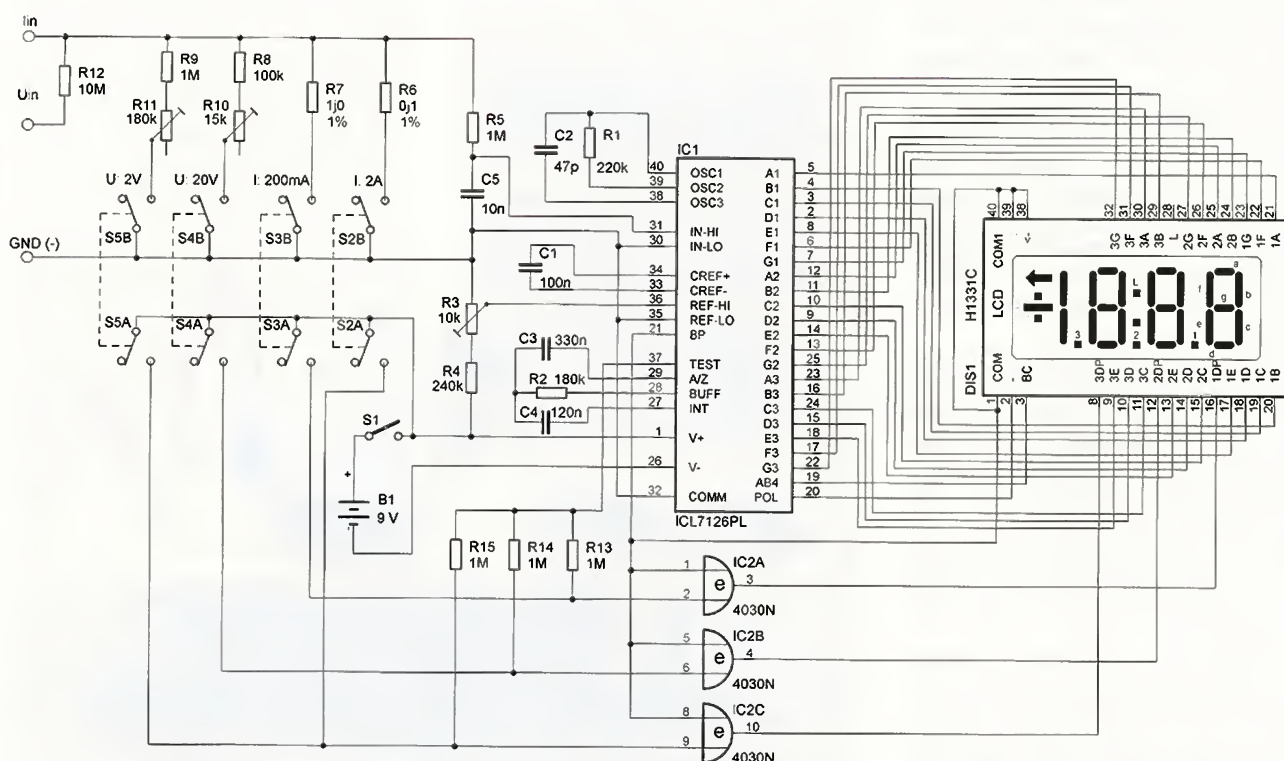
Pretože mal byť prístroj jednoduchý a rýchlo nasaditeľný a napájací z batérie, siahol som po „staršej klasike“ – obvode 7106. Vzhľadom na jeho vlastnosti a používaný 3 1/2-miestny LCD displej som ako „najbežnejšie rozsahy“ zvolil tieto štyri: 2 V, 20 V, 200 mA a 2 A.

## Obvod 7106

Po krátkej rešerši na internete som vzápätí zistil, že 7106 je medzičasom „out“ a existuje niekoľko náhradníkov: 7116, 7126 a 7136. Podľa kľúča, čím „väčšie číslo tým lepší“, som napokon siahol po 7136 od firmy Intersil s označením ICL7136CPLZ. Pustil som sa do stavby a vytvoril najprv jednoduchý ampérmeter s jediným rozsahom do 2 A, ktorý však nepracoval podľa mojich predstáv. Údaj na displeji bol aj „naprázdno“ (teda pri nezapojenom vstupe) veľmi „nekludný“ a posledné dve číslice neustále „poskakovali“. Nevšimnúc si, že som zle zapojil RC členy oscilátora na pinoch 38, 39 a 40, som dospel k záveru, že 7136 je na mňa príliš pokročilý a zohnal si Micro-

chip verziu obvodu o číslo nižšieho – TC7126ACPL, pozrel do katalógu a zistil, že zapojenie je vlastne totožné, ale hodnoty jednotlivých súčiastok sú iné ako pre 7136 – a tak som postavil ten merák nanovo. A podarilo sa. Všetko chodí podľa očakávania. Zo zvedavosti som však napokon prehodil obvody a do novej verzie zasunul pôvodný ICL7136, a čuduj sa svete – fungoval taktiež bez problémov – čo ma primelo k tomu, že som začal znova kontrolovať prvé zapojenie a našiel už zmienený problém – po jeho odstránení som mal merače dva...

V tom čase som našiel niekde po šuplíkoch ešte jeden staručký Tesla MH7106, tak som do tej objímky „fukol“ aj ten, a na moje (ale už nie až



Obr. 1. Zapojenie meracieho prístroja



tak veľké) počudovanie fungoval tiež. Bolo však treba trochu doladiť trimre.

Môj záver z týchto experimentov je, že pre potreby jednoduchých meraní pri experimentoch s digitálnymi obvodymi je úplne jedno, po ktorej verzii siahneme a aj napriek tomu, že pre každú z týchto troch verzií (7106, 7126 a 7136) sú doporučené iné hodnoty použitých súčiastok, schéma, ktorú uvádzam, je použiteľná pre všetky z nich bez úprav. Pre úplnosť musím ešte spomenúť, že mnou použité hodnoty súčiastok nezodpovedajú žiadnemu odporúčaniu – sú akousi kompiliáciou všetkých troch a najbežnejšie dostupných súčiastok.

Ako si je možné všimnúť, pri výpočte chýba typ 7116, a to preto, že tento obvod má zľahka iné zapojenie pinov ako všetky ostatné, a tým pádom ním nie je jednoducho možné v zapojení nahradiť ostatné tri typy (7116 poskytuje na rozdiel od ostatných funkciu „hold“, na čo je vyhradený pin číslo 1, ktorý pri ostatných predstavuje napájanie).

### Popis zapojenia

Schéma pochopiteľne vychádza z odporúčaného katalógového zapojenia spomínaných obvodov.

Za zmienku stojí najmä zapojenie vstupov. Základný merací rozsah obvodov 71x6 je 200 mV, čo je v bežnej praxi nepostačujúce. Preto sa pre meranie väčších napätí používajú vstupné deliče. Moje najbežnejšie rozsahy pri meraní napätia sú 2 a 20 V, preto som použil deliče podľa schémy – R12 a R9 + R11 na rozsah 2 V, a potom R12 a R8 + R10 na rozsah 20 V. Výhoda tohto zapojenia je v tom, že nie je potrebné používať rezistory s veľkou presnosťou (napríklad 0,1 %), pretože presnosť merania je možné doladiť správnym nastavením trimrov R10 a R11 – s použitím iného voltmetra, podľa ktorého sa nastaví správny údaj. V mojom prevedení som namiesto R12 použil tri rezistory v sérii s odpormi 5,6 MΩ + 1,5 MΩ + 3 MΩ, pretože som 10 MΩ v šuplíku nenašiel.

Na meranie prúdu je použitý bočník s odporom 1 Ω (R7) pre rozsah do 200 mA a 0,1 Ω (R6) pre rozsah do 2 A. Toto sú tiež jediné dva rezistory v zapojení, ktoré by mali mať čo najvyššiu presnosť (ideálne 0,1 %). Tiež je potrebné myslieť na to, že pri rozsahu 2 A preteká rezistorom R6 prúd až 2 A, pri úbytku 200 mV by mal byť teda (s malou rezervou) na výkon aspoň 0,5 W.

Prístroj disponuje tromi vstupnými svorkami – zem, a k tomu jedna svorka použitá pri meraní prúdu a druhá pri meraní napätia. Čiže v prípade, že meriame napätie, použijeme svorky „Uin“ a „GND“, ak meriame prúd, tak svorky „lin“ a „GND“.

Prepínanie rozsahov je možné s použitím 4 dvojíťch prepínačov, pričom vždy by mal byť zapnutý len jeden z nich. Nevýhoda je, že na to treba dávať pozor, ničmenej, pokiaľ ich aj zapneme viacero naraz, nič hrozné sa nestane, len výsledok merania nie je jednoducho interpretovateľný. Na druhej strane nemusíme používať drahý mnohopolohový prepínač.

Prepínače by mali byť dvojité z toho dôvodu, že zároveň ovládajú (prostredníctvom XOR hradiel 4030) desatinnú bodku na displeji, a to nasledovne:

- pre rozsah 2 V svieti desatinná bodka hneď za jednotkou (3DP), čiže zobrazené napätie je vo voltoch (.000 až 1.999),
- pre rozsah 20 V svieti desatinná bodka v strede (2DP), čiže zobrazené je napätie vo voltoch (0.00 až 19.99),
- pre rozsah 200 mA svieti posledná bodka (1DP) – zobrazená hodnota predstavuje prúd v miliampéroch (00.0 až 199.9),
- pre rozsah 2 A svieti (rovnako ako pre 2 V) desatinná bodka hneď za jednotkou (3DP), čiže zobrazený je prúd v ampéroch (.000 až 1.999).

V tejto súvislosti sa ešte spomenie funkciu pinu č. 37 (TEST) obvodu 71x6. Tento pin je možné v praxi využiť pri stavbe, kedy slúži na testovanie displeja. Pokiaľ je pripojený na napájanie (čiže spojený s pinom číslo 1), sú zapnuté všetky segmenty displeja. Pre takýto test dokonca nemusia byť zapojené vôbec žiadne externé súčiastky, stačí obvod 71x6, LCD displej a batéria (napájanie) – pokiaľ je displej pripojený správne, všetky segmenty musia svietiť. Je vhodné zobrať do úvahy upozornenie z katalógového listu Microchip uvádzajúce, že takéto testovanie by nemalo trvať viac ako niekoľko minút, inak hrozí poškodenie LCD displeja – neskúšal

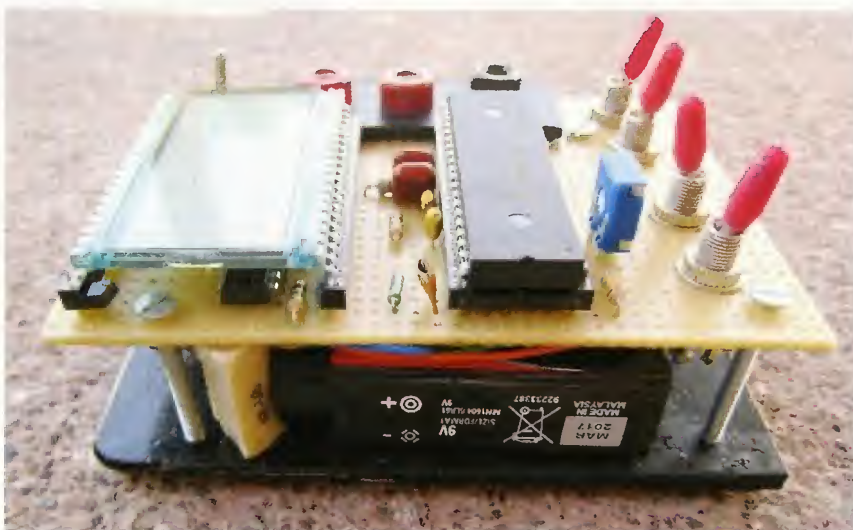
som, ale v praxi postačí len „mrknúť“, či displej naozaj ide, na čo postačuje niekoľko sekúnd. (Segmenty se testujú stejnosměrným napětím. Pozn. redakce.)

V bežnej prevádzke je možné tento pin použiť ako výstup definujúci GND pre prípadné pripojenie obvodu 4030 (ako v našom zapojení) na riadenie desatinných bodiek, prípadne iných segmentov LCD. Je vhodné mať na pamäti, že TEST zapojený ako výstup je zaťažiteľný veľmi malým prúdom (do 1 mA), preto treba zostať pri technológii CMOS a nepoužiť napríklad ani 74HC86, ktorý je síce tiež XOR, ale spotreba je typicky vyššia ako pri 4030.

Prečo sa na riadenie doplnkových segmentov používa práve XOR? Nuž ako hovorí teória, ovládanie LCD je o niečo zložitejšie ako ovládanie LED displeja. Pri LED stačí signál opačný, ako je na spoločnom pine, a príslušný segment svieti. Pri LCD je spoločný pin (tzv. Back Plane – BP) riadený frekvenciou v rozpätí 30 až 100 Hz. Pokiaľ má segment „svietiť“, musí byť pripojený na signál „opačný“, ako je BP, ak je pin zhasnutý, mal by byť pripojený na signál totožný s BP.

Pokiaľ sa pozrieme na pravdivostnú tabuľku hradla XOR a budeme predpokladať, že vstup „B“ je pripojený na BP zistíme, že vstupom „A“ môžeme riadiť, či má byť príslušný segment viditeľný alebo nie. Pokiaľ je na „A“ úroveň logickej „1“, na výstupe dostávame negovaný signál „B“ – príslušný segment pripojený na výstup „Y“ je viditeľný. Pokiaľ máme na vstupe „A“ logickú nulu, výstup kopíruje vstup „B“ a príslušný segment je zhasnutý:

A	B	Y
0	0	0
0	1	1
1	0	1
1	1	0



Obr. 2. Vyrobený merací prístroj



# H-Bridge

## ovládaný PV optodriverom

Ing. Martin Liker

V článku je popísané netradičné riešenie symetrického „H“ mostíka, ktoré umožňuje spínať pracovné napätie podstatne nižšie, ako  $U_{GS}$ , funguje prakticky od nuly.



to spôsob riadenia H mostíka v požadovanej aplikácii.

c. Nie je tu ani výhoda nízkej ceny.

Boli testované iné princípy spínania high-side tranzistora, počnúc použitím P-MOSFET, cez relatívne komplikované konvertory úrovne, ale bez prakticky využiteľného efektu. Vhodné riešenie sa naskytlo – ako obvykle – pri riešení iného problému. Na webe spoločnosti ENIKA.CZ je medzi novinkami stručná informácia o optočlene FDA215S, primárne určenom pre riadenie MOSFET.

Už pri letmom pohľade do data-sheetu sa mi chcelo vykriknúť „to je ono!“. Tento optočlen má totiž na výstupe použité fotočlánky (fotodiódy v režime generujúcim napätie). Starší kolegovia si možno pamätajú fotónku 1PP75, ktorá sa používala napríklad v kinoprojektoroch na detekciu zvuku zo zvukovej stopy filmového pásu. Pri osvetlení svetlom vo viditeľnom spektre fotónka generovala pri meraní v závernom smere napätie rádovo niekoľko mV (závislé od intenzity svetelného zdroja). Moduláciou intenzity svetelného lúča, ktorý prechádza

H-mostík (H-Bridge) predstavuje štandardizovanú štruktúru štyroch spínačov (obvykle tranzistorových, alebo IGBT) a paralelne radených diód, ktorá sa používa v prípade, ak je potrebné zabezpečiť elektronickú reverzáciu, či komutáciu jednosmerných signálov, prípadne výkonových obvodov. Používa sa najčastejšie u jednosmerných elektrických pohonov, u ktorých zmena polarita znamená zároveň zmenu smeru otáčania motora. Ale nie je to jediné použitie. H-mostíky nachádzajú využitie aj pri ovládaní servoventilov, niektorých typoch solenoidov, a v rade iných aplikácií.

Prezentované zapojenie predstavuje príklad riešenia úplného symetrického H mostíka, ktoré umožňuje spínať pracovné napätie v širokom rozsahu. Tento rozsah je teoreticky daný použitým typom MOSFET. Prakticky je popísaný mostík používaný v komerčne vyrábanom zariadení v obvode s pracovným napätím, meniacim sa spojit v rozmedzí 0 až 30 V.

V čom je uvedené zapojenie neštandardné?

Pri riešení tejto úlohy sa pôvodne uvažovalo s riadením H mostíka pomocou dvojice obvodov IRF2104. Tie to známe a často používané MOSFET budiče, označované aj HVIC budiče, využívajú pre ovládanie „High-Side“ MOSFET (tj. tých, ktoré spínajú kladné napätie) obvod s nábojovou pumpou. Sú s ním spojené určité obmedzenia:

- Minimálne pracovné napätie sa pohybuje na úrovni +10 V (požadované bolo od 0 V – tu je prvý problém).
- Nie je možné trvalé zopnutie „High-Side“ tranzistora. Táto „necnosť“ vyplýva z princípu činnosti nábojovej pumpy, ktorá pre nabíjanie bootstrap kondenzátora vyžaduje, aby aspoň minimálny čas bola high-side vetva (T1) vypnutá a zopnutá low-side vetva (T2). Pre túto necnosť nebolo možné využiť ten-

V zapojení je vždy jeden vstup jednotlivých hradieľ pripojený na signál BP a druhý potom cez „pull-down“ rezistor s odporom 1 M $\Omega$  (R13 až R15) na zem. Tým pádom jednotlivé výstupy kopírujú signál BP a príslušné desiatinné bodky sú zhasnuté. Pri zapnutí toho ktorého prepínača sa potom príslušný vstup pripojí na logickú jednotku (napájanie), čím sa na výstupe XOR hradla objaví negovaný signál BP, a tým sa príslušná desiatinná bodka aktivuje.

Keďže prístroj pracuje s LCD displejom (celková spotreba je veľmi nízka), je predurčený na prevádzku s batériou. Ja som použil klasickú 9V batériu 6F22.

### Záver

Prístroje som postavil dva a napokon vyskúšal rôzne varianty čipov 71x6 od firmy Microchip (TC7126, TC7106) a Intersil (ICL7136), no a napokon nakoniec už spomenutý 7106 v prevedení TESLA. Môžem skonštatovať, že moje požiadavky splnili všetky testované typy, aj keď 7136 sa mi v konečnom dôsledku javil ako „najstabilnejší“.



Meracie rozsahy je možné ľubovoľne podľa vlastných požiadaviek upraviť či rozšíriť. Zostáva ešte spomenúť, že v popisovanom zapojení je pochopteľne prístupný (aj keď nespomenutý) aj základný merací rozsah – do 200 mV – a to v prípade, keď sú všetky prepínače vypnuté. Nesvieti však žiadna desiatinná bodka.

V prípade, že máte podobné – či iné – skúsenosti s danými obvodmi, budem rád, ak sa o ne podelite pro-

stredníctvom môjho mailu: [miroslav.cina@t-online.de](mailto:miroslav.cina@t-online.de).

### Zoznam súčiastok

R1	220 k $\Omega$
R2	180 k $\Omega$
R3	10 k $\Omega$ , trimer
R4	240 k $\Omega$
R5, R9, R13 až R15	1 M $\Omega$
R6	0,1 $\Omega$ /0,1 %/0,5 W
R7	1 $\Omega$ /0,1 %
R8	100 k $\Omega$
R10	15 k $\Omega$ , trimer
R11	180 k $\Omega$ , trimer
R12	10 M $\Omega$
C1	100 nF
C2	47 pF
C3	330 nF
C4	120 nF
C5	10 nF
IC1	TC7126
IC2	4030
LCD	3½-miestny LCD, napr. DE113
S1	spínač
S2 až S5	dvojité spínač/prepínač



dzal cez filmový pás sa pomocou fotónky získavalo napätie, modulované zvukovou stopou na filme.

No a v obvode FDA215 je použité celé pole fotodiód, ktoré pri aktivovaní vstupnou LED produkujú napätie naprázdno asi 7 V, a to úplne postačuje na zopnutie „logic-level“ tranzistorov! Takto sa ponúka dostatočne jednoduché riešenie za celkom priaznivú cenu.

## Vlastnosti FDA215S

Obvod FDA215S je budič MOSFET s optickým oddelením riadiaceho obvodu od silovej časti. Obsahuje dva identické kanály budičov s výstupom, tvoreným polom fotočlánkov, pracujúcich v generátorickom režime. Výrobca udáva izolačnú pevnosť vstup-výstup 3,75 kV<sub>rms</sub>. Žiaľ, v dátovom liste od výrobcu sa neuvádza izolačná pevnosť medzi kanálmi. Prax ukázala, že potenciálny rozdiel 30 až 40 V zvláda v pohode.

Vstupný prúd budiacej GaAlAs LED je pre normálnu prevádzku udávaný na úrovni  $I_F = 5$  mA. Pri tomto prúde výstupný fotovoltaiický článok generuje napätie okolo 5,5 V. V prevádzke boli namerané hodnoty okolo 7 V, čo s najväčšou pravdepodobnosťou bolo dané väčším budiacim prúdom LED v optočlenoch (asi 20 mA, dané odporom rezistorov R1, R2 a vnútorným odporom budiaceho obvodu).

Asi jediný neuspokojivý údaj, ktorý udáva výrobca, je oneskorenie pri zopnutí a vypnutí. Výrobca udáva obidva časy  $T_{ONMAX}$  aj  $T_{OFFMAX} = 5$  ms. Z toho vychádza maximálna spínacia frekvencia 100 Hz. Z fyzikálneho princípu je to očakávateľné. V praxi to znamená, že optočlen nie je možné použiť pre PWM spínanie. S výhodou posluží pre statické zopnutie high-side tranzistora.

## Príklad použitia

Na schéme zapojenia je uvedený príklad zapojenia H-mostíka, odvode-

ná od zapojenia, využitého v praxi. Celé zapojenie nie je potrebné detailne popisovať, uvedená časť dostatočne jasne posluží ako na objasnenie činnosti obvodu FDA215S, tak pre vašu inšpiráciu do vlastných zapojení.

Princíp H-mostíka nebudem v tomto článku popisovať. Zaujímavosťou ho nájdete v množstve literatúry, alebo na webe – napr. [2].

Základom mostíka sú tranzistory T1 a T2. Ide o dvojicu N-MOSFET v jednom puzdre. Ovládacie napätie  $V_{GS}$  na úrovni 5 až 7 V je postačujúce. Pri tomto napätí je statický odpor kanála  $R_{DS}$  zopnutom stave rádo 0,05  $\Omega$ . Zopnutím T1a a T2b, resp. T1b a T2a sa mení smer priechodu prúdu záťažou.

Tranzistor T1 tvorí high-side spínače. Ovládanie T1 je realizované práve pomocou budiča FDA215S.

Tranzistor T2 tvorí low-side spínače. V našom prípade je možné – v prípade potreby – budiť tieto tranzistory pomocou impulzovo-širokovej modulácie PWM. Pri testovaní bolo odskúšané riadenie z časovača T1 mikrokontroléra ATMEGA88 s frekvenciou 15 kHz. Pri tejto frekvencii sa neprejavili žiadne negatívne vplyvy na časť obvodu okolo FDA215 (high-side tranzistorov). V praxi v tomto prípade PWM nie je využívaná.

Pri otvorení tranzistorov v diagonále mostíka dostávame prúdový obvod, tvorený tranzistorom T1 – záťaž – T2. Nakoľko je odpor  $R_{DS(on)}$  dostatočne malý, pri prúde 2 A, tečúcom týmto obvodom, sú úbytky napätia na tranzistoroch  $U_{DSsat}$  rádo 10<sup>-1</sup> V. Ďalším pozitívom je fakt, že tranzistor T1, zopnutý cudzím zdrojom, sa správa skoro ako lineárny spínač. To dovoľuje, aby sa pracovné napätie pohybovalo už od 0 V. Horná hranica je obmedzená menovitými hodnotami napätia  $U_{DS}$  použitých tranzistorov. V použitej aplikácii sa pracovné napätie menilo relatívne pomaly, takže sa neprejavili ani prechodové javy, ani spínacie procesy v obvode tranzistorov, či záťaže.

Riadiaci obvod – pripojený cez konektor X1 – je od tranzistorov T2a a T2b a budiča OC1 oddelený rezistormi R1 až R4. Rezistory R1 a R2 obmedzujú vstupný prúd fotodiód v OC1. R3 a R4 tvoria väzbu na T2a a T2b. Hodnoty týchto prvkov je potrebné zvoliť podľa konkrétnej aplikácie a použitého riadiaceho obvodu. OC1 je možné cez R1 a R2 priamo budiť z portov procesorov AVR.

Diódy D1 až D4 sú súčasťou štandardného riešenia H-mostíka. Aj keď v prezentovanej modelovej aplikácii nemajú priamy význam, doporučujem ich ponechať.

Ostatné obvodové prvky (C1, D5, D6) vychádzajú z pôvodného zapojenia a pre demonštráciu funkcie obvodu mostíka nemajú priamy význam.

## Záver

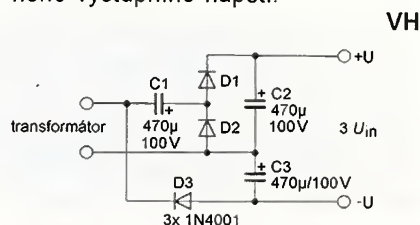
Optoelektrický budič MOSFET tranzistorov FDA215 predstavuje zaujímavý obvod so širokým použitím v automobilovej, medicínskej, priemyselnej elektronike, či v podobných aplikáciách. Všade tam, kde je potrebné riadiť MOSFET tranzistory pomocou „cudzieho“ (= opticky oddeleného) zdroja, predstavuje cenovo aj technicky efektívne riešenie. Obvod je bežne dostupný na slovenskom, i českom trhu, a to v DIP SMD, prípadne aj v TH verzii.

## Literatúra

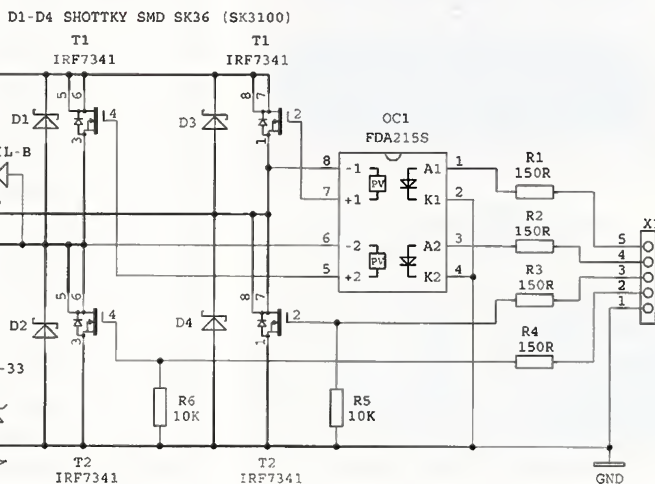
- [1] FDA 215 – MOSFET DRIVER, IXYS Integrated Circuits Division, 2012. Dátový list je možné stiahnuť napr. z <http://www.enika.cz/cz/soucastky-pro-elektroniku/spinani/rele/polovodnicova-rele/ssr-do-1a/optocleny-a-fet-drivery.html>
- [2] <http://www.hw.cz/navrh-obvodu/nizkonapetovy-menic-pro-pohonstejnospmerneho-motoru.html>

## Malé napätí?

Potrebuje napájať zariadenie s malým odběrom, ale zrovna máte jen transformátor s malým výstupním napětím? Pokud ani zdvojnásobení napětí nestačí, můžete použít ztrojnásobáč podle obr. 1. Uvedené součástky by měly vyhovět pro napětí do 100 V a proud několika desítek mA. Napětí kondenzátorů volíme podle požadovaného výstupního napětí.



Obr. 1. Usměrňovač – násobič třemi



Obr. 1. H-mostík s optočlenom



# Stavba vícepásmové zkrácené dipólové antény

Ing. Vlastimil Ješátko, OK1ZKQ; [ok1zkq@seznam.cz](mailto:ok1zkq@seznam.cz)

(Dokončení)



Obr. 9. Pohled na montáž antén

Nosné ráhno je zhotoveno z duralové-  
ho profilu L o rozměrech 60 x 30 mm  
a tloušťce 3 mm. Z důvodu usnadnění  
montáže je rozděleno na dvě části, spoje-  
né šrouby M8. Při délce asi 110 cm se už  
ve vertikálním směru trochu ohýbalo  
a bylo těžké ho v žádané poloze upevnit,  
proto bylo zpevněno ještě jedním užším  
U profilem 30 x 30 mm, stejný je použit  
i pro zajištění v horizontální rovině. Želez-  
né profily by byly pevnější, ale dural  
je podstatně lehčí, v domácích podmínkách  
se lépe obrábí a není třeba ho natírat.

Hmotnost ráhna s anténami není vel-  
ká, ale při montáži jsem se několikrát po-  
řádně zapotil, s jednou nohou na rámu  
okna a s druhou na plechovém parapetu,  
vykloněný do dvora větší částí svého těla.  
Doporučuji využít pomocníka; spojit v této  
pozici dva profily šroubem a matkou se  
stává nesnadným úkolem. Tímto děkuji  
své dceři za asistenci, zachovala klid  
a rozvahu, i když věděla, že pracně zho-  
vené antény nepustím, i kdybych měl vy-  
padnout za nimi.

## Provozní zkoušky antény pro pásmo 7 MHz

Anténu jsem připojil přes anténní tu-  
ner (ATU) k mému transceiveru, který  
s přídavným PA (obojí vlastní výroby) do-  
sahuje výkonu 50 až 100 W podle pás-  
ma. Díky použité lince s teflonovou izolací  
by neměl být problém ani s vyšším výko-  
nem (9A4ZZ udává max. výkon 500 W  
pro izolaci PVC). Vyzařovací charakteris-  
tika vertikálního dipólu je všesměrová,  
v tomto případě bude zkreslena blízkostí  
zdi a okolní zástavby. Výška nad zemí je

asi 9 metrů. První spojení se zdařilo pře-  
kvapivě směrem na východ, tedy „do zdi“,  
na vzdálenost asi 1500 km. Vzhledem  
k zimnímu období jsem nejprve vyzkoušel  
pásmo 3,5 až 10 MHz, pro získání zá-  
kladního přehledu jsem nechal transcei-  
ver běžet několik večerů v automatickém  
digitálním provozu WSPR, který samo-  
statně otestuje vlastnosti antény. Výsled-  
ky byly celkem optimistické, až na pásmo  
3,5 MHz, kde jsem sice několik evrop-  
ských stanic zachytil, mě ale neslyšel té-  
měř nikdo. Vzhledem k předpokládané  
velmi nízké účinnosti to nebylo až tak vel-  
ké překvapení. Také se zde uplatňovalo  
rušení, které bylo oproti pásmu 7 MHz  
mnohem razantnější.

Zkusil jsem porovnat šířku pásma pro  
pokles na  $PSV = 2$  s údajem, uvedeným  
v popisu originální antény pro 7 MHz se  
zhruba stejnými rozměry, tj. 300 kHz.  
Naměřil jsem pro stejný pokles šířku pás-  
ma asi 220 kHz. To myslím odpovídá po-  
užití kvalitnější postříbřené lince oproti  
drátu s lakovanou izolací (průměr je stej-  
ný – 1 mm).

## Antény pro pásma 14 a 28 MHz

Konstrukce těchto dvou antén je ob-  
dobná jako pro pásmo 7 MHz, liší se jen  
průměrem použitých plastových trubek  
(32 mm) a volbou lince pro vinutí antény.  
Zde jsem použil silnější Cu lince o průmě-  
ru 2 mm s PVC izolací (vnější průměr je  
asi 3,7 mm). To odpovídá zvýšení účin-  
nosti antén oproti použití lince s průmě-  
rem 1 mm (podle výpočtu přibližně na  
dvojnásobek).

### Základní parametry:

- 14 MHz: 2x 50 závitů, délka antény asi 1,4 m;
- 28 MHz: 2x 15 závitů, délka antény asi 1 m.

U tohoto typu antén je třeba počítat  
s výrazně menší účinností než u klasic-  
kých drátových dipólů. Program pro ná-  
vrh zkrácených antén (*helical 3 exe*) je  
určen pro čtvrtvlnné provedení s uzemně-  
nou patou, takže pro symetrickou kon-  
strukci půlvlnného dipólu ho lze použít jen  
orientačně (určení počtu závitů při daném  
průměru, odhad účinnosti apod.).

Hrubý odhad účinnosti popsaných an-  
tén (vzhledem k ideálnímu půlvlnnému di-  
pólu) vychází takto:

- 7 MHz: asi 10 %,
- 14 MHz: asi 20 %,
- 28 MHz: asi 35 %.

## Zkušenosti z praktického provozu

Anténa 7 MHz – použitelná i pro pás-  
mo 10 MHz, s malou účinností také pro  
pásmo 3,5 MHz;

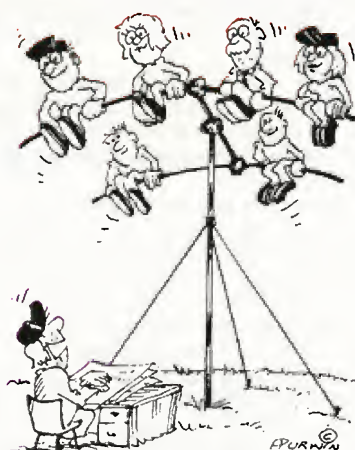
- anténa 14 MHz – i pro 18 a 21 MHz;
- anténa 28 MHz – i pro 24 MHz.

Rušení blízko umístěné TV a FM an-  
tény se podařilo odstranit díky zařazení  
proudových balunů a použití nacvakáva-  
cích feritů na několika místech koaxiální-  
ho kabelu v bytovém TV/FM rozvodu.  
Znatelné zlepšení v tomto směru přineslo  
i zařazení diplexeru KV/VKV, UKV, který  
funguje díky vzduchovým cívkám a ja-  
kostním kapacitním trimrům jako poměr-  
ně kvalitní přídatná dolní propust s mez-  
ním kmitočtem 52 MHz.

Moje počáteční nadšení z navazování  
DX spojení už trochu přešlo, takže se  
více věnuji technickým stránkám amatér-  
ského vysílání. Provozoschopná anténa  
o rozměrech smetáku je určitě lákavá vý-  
zva.

## Závěr

Popsaná trojice antén pokrývá s ATU  
s uspokojivými výsledky všechna KV ra-  
dioamatérská pásma od 7 do 28 MHz.  
Každá z antén byla odzkoušena přibližně  
v rozsahu násobku 0,5 až 1,5 základního  
kmitočtu.



„Vítejte na anténním semináři.“

(Funkamateura 5/2012)



# Držák malé antény do okna

Ing. Hynek Havliš, OK1HYN

Občas bychom rádi umístili menší anténu do okna. Nemůžeme se třeba dostat na střechu nebo chceme jen mít anténu po ruce. (Podobný problém řeší OK1ZKQ na předchozí stránce.) Do nových zateplených fasád se různé držáky montují více či méně komplikovaně pomocí speciálních hmoždinek a kotev. A pokud nejsme ve svém, můžeme mít i problém s vrtáním do okenních ráků atd.

Tyto okrajové podmínky daly vzniknout následujícímu anténnímu držáku, jehož konstrukci předkládám – pro inspiraci. Výhodou tohoto držáku (obr. 1 a 2) je, že nic nepoškodíme, jeho instalace a demontáž zabere jen několik minut; jeho nevýhodou pak, že v domácích podmínkách je jeho realizace pracná. Následující popis nepředstavuje výrobní dokumentaci, spíše má sloužit pro inspiraci. Rozměry držáku jsou takové, jaké jsem potřeboval. Pro jiný typ okna nebo antény si je lze přizpůsobit. Na držák lze samozřejmě připevnit i jiné zařízení než anténu, například část domácí meteorostanice.

Základem držáku (a také doma nejpracnější realizovatelnou částí) jsou dva svěrné díly naohýbané z plechu (obr. 3). K většímu z nich je přivařená konzola pro anténu, kterou na konci můžeme doplnit otočným příčným ramenem – rameno stačí připevnit jedním šroubem a utáhnout tak, aby se dalo přiměřenou silou otáčet rukou. Náčrty (nikoli korektní výkresy) můžeme vidět na obr. 4. Některé nepodstatné rozměry nejsou okótovány, nejsou vyznačeny svař a detaily šroubových spojení. Délku vyložení konzoly si zvolíme tak, abychom na anténu dosáhli, zde použitých asi 700 mm vyhoví, ale je třeba se už trochu vyklánět z okna.

Kvůli vibracím je vhodné použít pro otočné rameno samojistnou matici nebo dvě obyčejné s podložkami. Pro sešroubování svěrných plechových dílů k sobě je vhodné použít do šroubových spojů pružné podložky a rovněž samojistné matice nebo dvě matice normální. Veškerý spojovací materiál je vhodné mít pozinkovaný nebo lépe nerezový.

K použitému materiálu: nejvhodnější je obyčejný dural. Zde popisovaný držák je z duralu proveden, je lehký, tuhý, nekroutí se. Výhodou je i to, že není třeba ho chránit proti korozi. Protože se ale dural obtížněji svařuje, můžeme použít i ocel, pak je nejvhodnější úpravou povrchu dnes běžně dostupné a levné žárové zinkování, které nám zajistí každý schopný zámečník.

Když držák namontujeme do okna, může se stát, že se plastový okenní sloupek trochu poškrábe. Obáváme-li se toho, mezi držák a sloupek vložíme tenký papír nebo látku.

Co se týče připojení antény, tak – nechceme-li vrtat díru pro kabel – můžeme použít buďto tenký koaxiální kabel (např. některý RG58), příp. plochý koaxiální kabel, který do okna prostě přivěsíme, jako v našem případě. Budeme-li opatrní, vydrží nám dlouho. Plochou koaxiální průchodku do okna můžeme zakoupit např. v GES ELECTRONICS (v e-shopu pod názvem „koaxiální přechodka“, v GME „okenní průchodka koaxiální“, popř. na e-bay či kdekoli jinde na světě pod názvem např. „flat coaxial cable“). Viz článek OK1AIJ „Okenní průchodka“ před ne-

dávám v bulletinu OK QRP INFO. Pozor ale na maximální výkon, pro který je kabel navržen.

Při montáži a demontáži držáku do okna postupujeme opatrně, aby nám některý díl nebo nářadí neskončilo na ulici. Anténu na držák doporučuji namontovat v klidu předem v místnosti a celou sestavu teprve pak umístit do okna. Pokud si tvar držáku vyrobíme přesně (tedy s přiměřeně malou vůlí), pak můžeme jednotlivé svěrné díly na okno nasadit a ještě před sešroubováním mohou celkem pevně držet díky gumovým těsněním v okně. Po sešroubování svěrných dílů okno můžeme zavřít.

Na závěr dvě důležitá upozornění:

- Výrobce oken použití takového držáku jistě nedoporučuje.

- Namontujeme-li takovýto držák do okna budovy, vystavujeme sebe i ostatní riziku působení atmosférické elektřiny, přepětí, blesku. Samotnou montáží pravděpodobně narušíme systém ochrany budovy před bleskem a přepětím. Tuto problematiku řeší zejména normy ČSN EN 62 305-x, kterými bychom se měli řídit.

Držák tohoto provedení tedy používáme výhradně na vlastní zodpovědnost (instalujeme krátce před závodem, demontujeme hned po skončení závodu).

Za výrobu držáku dle dokumentace děkuji Pavlovi, OK1ZCW.

Jaká spojení lze s touto anténní výbavou navázat (redakční stanice OK1RAR, výkon vysílače 45 W, 2 antény 4EL Yagi – jedna na sever, druhá na jih, ručně natáčené, QTH JO70DB, 11. poschodí, 360 m n. m.): Například v Marconi Memo-

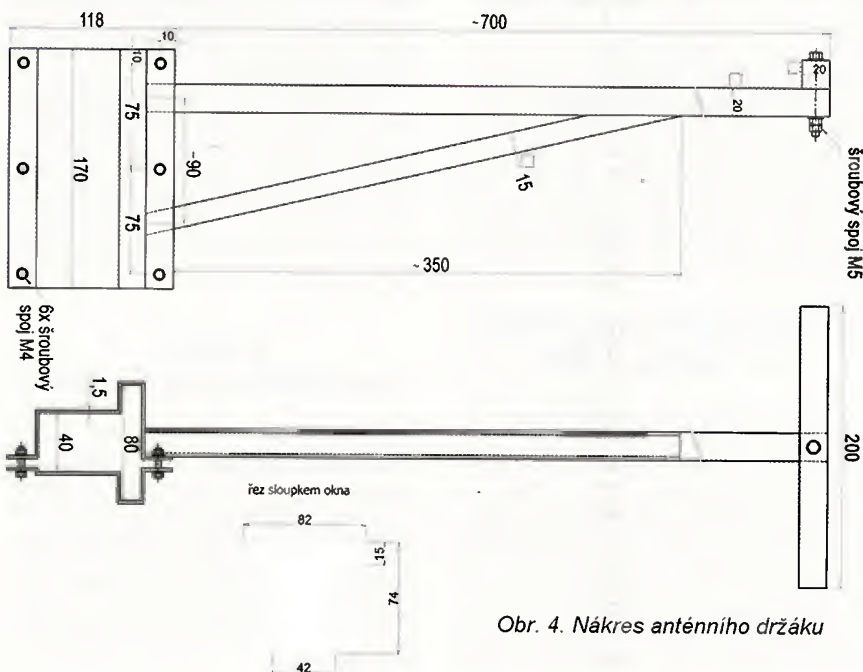


Obr. 1 a 2. Celkový pohled na anténu i s držákem na okenním rámu



Obr. 3. Detail svěrných plechů

riálu (A1 Contest, 144 MHz, listopad 2014): s přestávkami na spaní a na jídlo 200 QSO, kromě OK a sousedních zemí ještě I, HB, E7, YU, 9A, S5, HA.



Obr. 4. Náčrty anténního držáku





# ZE SVĚTA POČÍTAČŮ

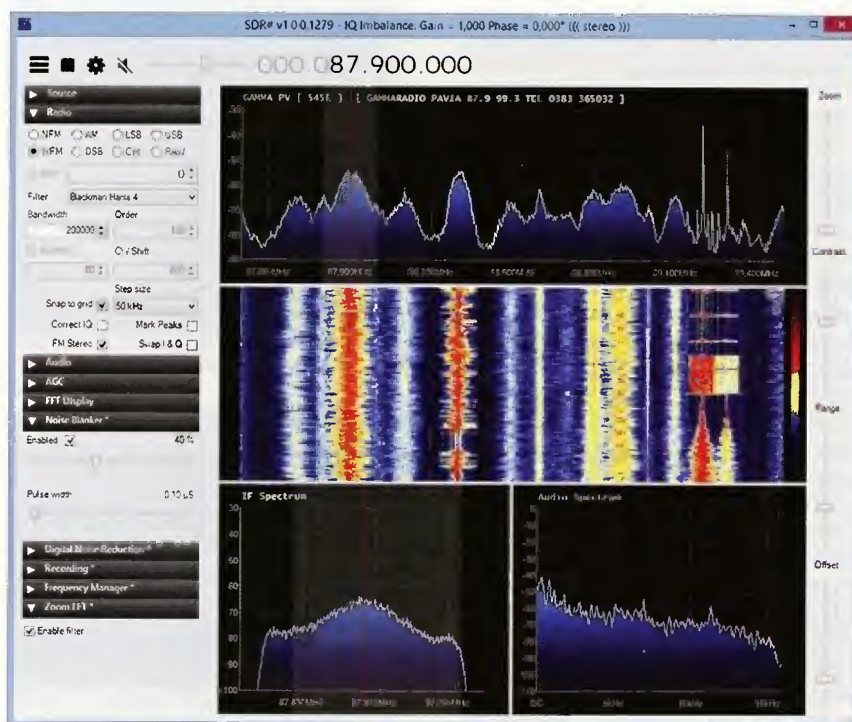
Rubriku připravuje ing. Alek Myslík, INSPIRACE, alek@inspiratione.info

## DX PATROL

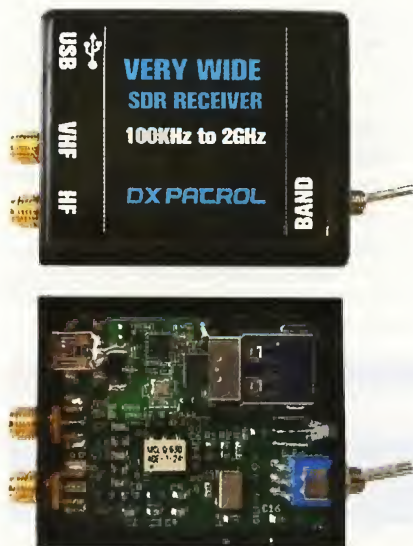
### SDR PŘIJÍMAČ 0,1 MHz až 2 GHz

DX Patrol je SDR (softwarově definovaný radiopřijímač) s velmi širokým rozsahem kmitočtů. Jeho základ je stejný, jako u běžných levných USB DVB-T adaptérů, navíc má ale konvertor pro rozsah dlouhých, středních a krátkých vln a proto bez mezer pokrývá kmitočtový rozsah 100 kHz až 2 GHz. Pro příjem na rozsazích do 30 MHz má navíc i pásmové filtry, díky kterým získává lepší dynamický rozsah a dobrou odolnost proti silným signálům.

Přijímač je zcela uzavřen v krabičce o rozměrech 54x45x15 mm (nejde nenásilně rozepnout). Na jedné z bočních stěn jsou dva pozlacené SMA konektory pro antény, jeden pro UHF a VHF



Doporučeným softwarem pro přijímač DX Patrol je program SDR#



Pohled na DX Patrol shora a dovnitř

(od 30 MHz výše) druhý pro vše do 30 MHz. Na stejné stěně je ještě konektor mini USB, přes který se přijímač připojuje k počítači a současně se přes něj i napájí (nepotřebuje tedy žádný vlastní zdroj). Na protější boční stěně je páčkový přepínač anténních vstupů (nepřepíná se samozřejmě přímo, ale přes rychlé nízkosmuvné spínací pin diody) a LED, která indikuje barvou světla přepnutí mezi oběma kmitočtovými rozsahy (zelená nebo červená).

Konvertor pro rozsah 0,1 až 30 MHz používá velice stabilní oscilátor na kmi-

točtu 40 MHz. Hardware podporuje maximální vzorkovací kmitočet 3,2 MS/s, ten je ale v praxi obvykle limitován spíše použitým softwarem. Ve skutečnosti se tak dosahuje vzorkovaného spektra od 96 kHz až asi do 1 MHz, v závislosti na softwaru.

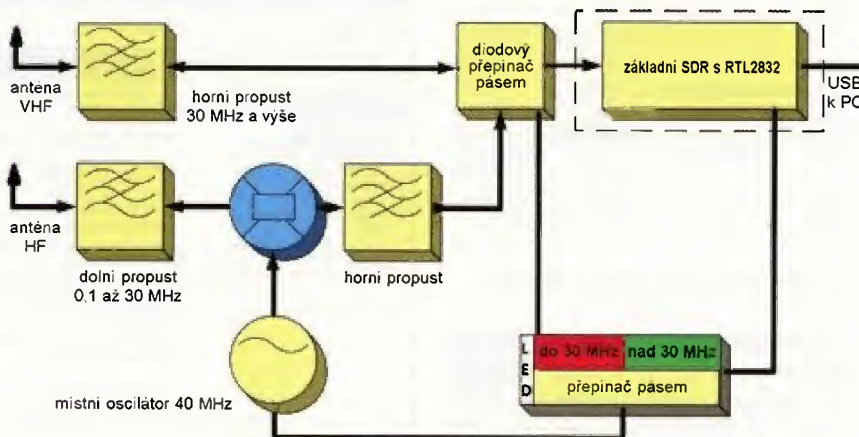
Podstatou SDR je samozřejmě software. Přijímač DX Patrol spolupracuje prakticky s kterýmkoliv volně dostupným programem pro SDR přijímače na bázi populárního obvodu RTL2832 (který je masově používán ve většině levných USB DVB-T přijímačů). Tyto programy jsou převážně dostupné zdarma. Mezi doporučené patří SDR#

**SDR#**  
Software Defined Radio

(viz dále), HDSDR, sdr-radio.com, GNU Radio ad.

Lze použít i různé speciální programy např. pro příjem identifikačních májů letadel ADS/B nebo pro příjem meteorologických map ze satelitů ap. I tyto programy jsou vesměs volně dostupné na Internetu.

Instalace SDR přijímače DX Patrol je jednoduchá. Je zapotřebí do počítače nejdříve nahrát nový USB radič (Zadig),



Blokové schéma SDR přijímače DX Patrol



který si podle instrukcí stáhnete zdarma z Internetu. Také je zapotřebí nainstalovat některý z ovládacích programů – doporučovaný je software SDR# z webu [www.sdrsharp.com](http://www.sdrsharp.com).

Nastavit software a naučit se s ním zacházet vyžaduje nějaký čas, ale na druhé straně lze předpokládat, že takovou instalaci nikdo nedělá pro poslouchání šlágrů na FM a má tak určitý „technický přístup“, zejména, je-li čtenářem našeho časopisu.

## SDR#

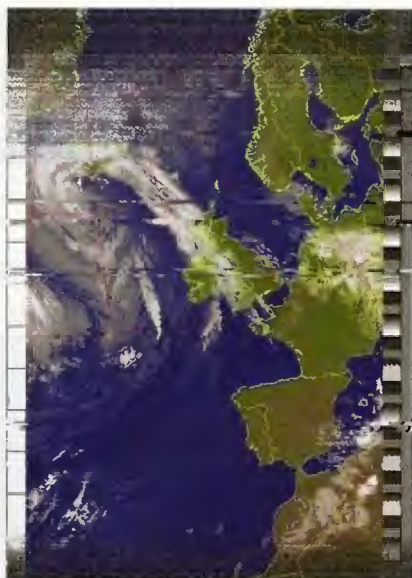
SDR# je univerzální, populární, jednoduchý, rychlý a rozšiřovatelný software pro SDR (softwarově definovaný radiopřijímač). Je napsán v programovacím jazyku C# a potřebuje ke své funkci nainstalované prostředí Microsoft .NET (pokud ho již v počítači nemáte, je zdarma ke stažení na stránkách Microsoftu). Vývojáři na něm neustále pracují, takže jsou často zveřejňovány nové verze, vyplatí se tedy se občas na web [www.sdrsharp.com](http://www.sdrsharp.com) podívat. Software je k dispozici zdarma.

Po prvním spuštění se zobrazí základní okno programu (obrázek je na předchozí straně). Jeho pravá část bude samozřejmě prázdná, dokud k počítači nepřipojíte SDR, v našem případě DX Patrol. V levé části jsou nastavovací a ovládací panely. Pro začátek (abyste něco viděli) stačí nastavit požadovaný kmitočet a druh provozu. A nesmíte zapomenout (to se často stává!) spustit vzorkování (tj. vlastní chod programu) vlevo nahoře tlačítkem Start.

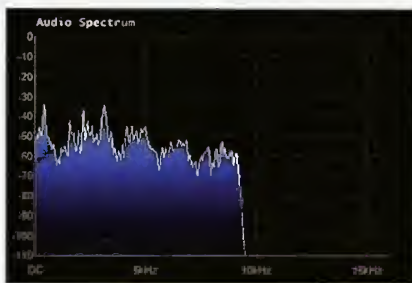


Příklady pluginů k programu SDR#

K programu lze přidávat různé další funkce formou doplňků (pluginů). Některé jsou již v základní instalaci, další lze najít na Internetu (viz Odkazy). Na Internetu najdete také podrobné návody k práci s programem.



Meteomapy ze satelitu NOAA



Plugin pro zobrazení nf spektra

## Závěr

DX Patrol je cenově dostupný přijímač s mnoha možnostmi využití. Lze na něm poslouchat satelity, snímat meteorologické mapy, poslouchat různé služby, sledovat v reálném čase data z letadel ad. A k tomu všemu najdete na Internetu zdarma vhodný software a množství návodů od různých „koumáků“, kteří to už vyzkoušeli před vámi.

Některé z těchto věcí lze dělat i s levnými DVB-T USB „čudlíky“, ale až od 30 MHz výše. Výhodou přijímače DX Patrol je právě jeho kmitočtové pokrytí už od dlouhých vln. Samozřejmě na něm lze poslouchat radioamatérský provoz na všech radioamatérských pásmech. Z vlastní zkušenosti mohu říci, že to funguje opravdu hezky.

Přijímač si lze objednat buď přímo od autora, kterým je portugalský radioamatér CT1FFU, pošle vám ho za 89 €, nebo si ho můžete u nás koupit v radioamatérské prodejně DD AMTEK na webu [www.ddamtek.cz](http://www.ddamtek.cz), která má s autorem dohodu o výhradním zastoupení pro ČR (prodá vám ho za 2950 Kč).

## Odkazy

<http://www.dxpatrol.pt>  
<http://www.ct1ffu.com/site>  
<http://www.youtube.com/watch?v=e8qW2Z-SfHc>  
<http://www.ab9il.net/software-defined-radio/rtl2832-sdr.html>  
<http://sdr.osmocom.org/trac/wiki/rtl-sdr>  
<http://www.rtl-sdr.com/sdrsharp-plugins>  
<http://www.atouk.com/SDRSharpQuickStart.html>  
<http://tylerwatt12.com/tips-for-using-sdr>  
<http://rtlsdr.org/software/windows>  
<http://www.dxzone.com/dx28534/sdr-sharp-guide.html>  
<http://www.ddamtek.cz>  
<http://www.rtl-sdr.com/rtl-sdr-tutorial-receiving-noaa-weather-satellite-images/>  
<http://rtl1090web99.de>  
<http://rtlsdr.org/software/linux>  
<http://www.hdsdr.de>  
<http://sdr-radio.com>  
<http://www.rtl-sdr.com/adssb-aircraft-radar-with-rtl-sdr/>

**DD AMTEK**  
 Lužná 591/4, Praha 6  
 tel: 220 878 756

**Katalog**

Název zboží	Obj. kod	Cena	Cena s DPH	Ks
DX Patrol Ultra-Wide SDR	52624	2 438,02 Kč	2 950,00 Kč	1

NOVINKA: miniaturní SDR přijímač s velmi širokým rozsahem za výbornou cenu.

100kHz - 2GHz SDR  
 nezávislé ant. vstupy pro KV a VKV  
 účinné pásmové filtry  
 Low noise pin-diode band switch  
 Velmi čisté audio  
 LED indikace zapnutí a pásma  
 DBM diode ring mixer  
 miniUSB  
 SMA zácené ant. konektory  
 Freeware software

velmi malé rozměry 5,5 x 4,5 x 1,5 cm

Výhradním dovozcem a prodejcem DX Patrol v ČR je DD AMTEK



# BEZPEČNÝ E-MAIL

Jak jsme slíbili, budeme dlouhodobě pokračovat ve volně navazujících příspěvcích na téma bezpečnosti na Internetu. Tentokrát to bude o zabezpečení elektronické pošty a výběru vhodného softwaru. Budeme vycházet z doporučení serveru PRISM-break proti sledování softwarem PRISM.

Jsou důležité tři věci – vhodná volba poskytovatele služby, volba vhodného softwaru pro práci s emaily a šifrování emailů. Na <http://prxbx.com/email/> najdete výběr a hodnocení některých celosvětových poskytovatelů této služby, dobrá volba může být i kvalitní místní poskytovatel nebo vlastní emailový server doma nebo u poskytovatele. Vhodný software je v následujícím přehledu.

## Aplikace pro správu elektronické pošty

### Mozilla Thunderbird



Velmi populární a rozšířený emailový klient s funkcemi *Instant Messaging* a *IRC*. Multiplatformní aplikace s integrovaným šifrováním prostřednictvím doplňku *Enigmail*.

Oficiální web:

[www.mozilla.org/cs/thunderbird/](http://www.mozilla.org/cs/thunderbird/)

Wikipedia:

[http://cs.wikipedia.org/wiki/Mozilla\\_Thunderbird](http://cs.wikipedia.org/wiki/Mozilla_Thunderbird)

*Thunderbird* nemá možnost šifrování automaticky, je nutné nainstalovat doplněk; návod k šifrování emailů v programu *Mozilla Thunderbird* s *GNU Privacy Guard* (GPG) a doplňkem *Enigmail* je na [http://securityinabox.org/en/thunderbird\\_main](http://securityinabox.org/en/thunderbird_main). Lze také použít připojení přes anonymní síť *Tor* s doplňkem *TorBirdy* (viz dále).

### Sylpheed



Odlehčená a uživatelsky příjemná aplikace pro elektronickou poštu, multiplatformní, se zabudovanou podporou šifrování PGP.

Oficiální web:

<http://sylpheed.sraoss.jp/en/>

Wikipedia:

<http://cs.wikipedia.org/wiki/Sylpheed>

### Kontakt



Elektronická pošta, adresáře, kalendáře a jiné funkce v prostředí KDE, multiplatformní, s podporou šifrování PGP.

Oficiální web:

<http://www.kontakt.org/>

Wikipedia:

<http://cs.wikipedia.org/wiki/Kontakt>

### Claws Mail



Rychlá, odlehčená aplikace pro více operačních systémů se zabudovanou podporou šifrování PGP.

Oficiální web:

<http://www.claws-mail.org/>

Wikipedia:

[http://en.wikipedia.org/wiki/Claws\\_Mail](http://en.wikipedia.org/wiki/Claws_Mail)

## Aplikace pro šifrování elektronické pošty

### Enigmail



Doplňek pro šifrování elektronické pošty s *OpenPGP* pro emailové programy *Thunderbird* a *Icedove*.

Oficiální web:

<http://www.enigmail.net/home/>

Wikipedia:

<http://cs.wikipedia.org/wiki/Enigmail>

### Gpg4win



Program pro šifrování elektronické pošty a souborů pro OS Windows (XP, Vista, 7 a 8) od *German Information Security Agency* (německá agentura pro bezpečnost informací).

Program a všechny jeho nástroje jsou zdarma a *Open Source* software. Software používá pro šifrování dat hlavně kryptografii s veřejnými klíči a digitální elektronické podpisy.

Program a všechny jeho nástroje jsou zdarma a *Open Source* software. Software používá pro šifrování dat hlavně kryptografii s veřejnými klíči a digitální elektronické podpisy.

Oficiální web:

<http://www.gpg4win.org/>

Wikipedia:

<http://en.wikipedia.org/wiki/Gpg4win>

### TorBirdy



Doplňek pro připojování programů *Thunderbird* a *Icedove* prostřednictvím anonymní sítě *Tor*.

Je zatím v beta verzi a považovaný za experimentální. Je proto vhodné si předem přečíst všechna upozornění na možné nedostatky a chyby na webu projektu.

Oficiální web:

<http://trac.torproject.org/projects/tor/wiki/torbirdy>

### GNU Privacy Guard



Implementace šifrování systému *OpenPGP* pro mnoho různých mailových programů včetně *Mozilla Thunderbird* a *Icedove*.

Oficiální web:

<http://www.gnupg.org/>

Wikipedia:

[http://cs.wikipedia.org/wiki/GNU\\_Privacy\\_Guard](http://cs.wikipedia.org/wiki/GNU_Privacy_Guard)

### Mailvelope



Nástroj pro šifrování emailů pro webové mailové služby, ve formě doplňků pro webové prohlížeče.

Oficiální web:

<http://www.mailvelope.com/>

### Mailové servery

Návod pro začátečníky jak si spustit bezpečný vlastní server pro elektronickou poštu je v článku „*NSA-proof your e-mail in 2 hours*“ na webové adrese <http://sealedabstract.com/code/nsa-proof-your-e-mail-in-2-hours/>.

### IndiMail



Vysoce flexibilní a rozšiřitelná platforma pro elektronickou poštu na bázi *MTA qmail*.

Oficiální web:

<http://www.indimail.org/>

Wikipedia:

<http://en.wikipedia.org/wiki/IndiMail>

User: *Mbhangu/IndiMail*

### Kolab



Komplexní software pro skupinové řešení (tzv. *groupware*) serveru pro elektronickou poštu, kalendáře, soubory, adresáře a synchronizaci s mobilními zařízeními.

Oficiální web:

<http://kolab.org/>

Wikipedia:

<http://en.wikipedia.org/wiki/Kolab>

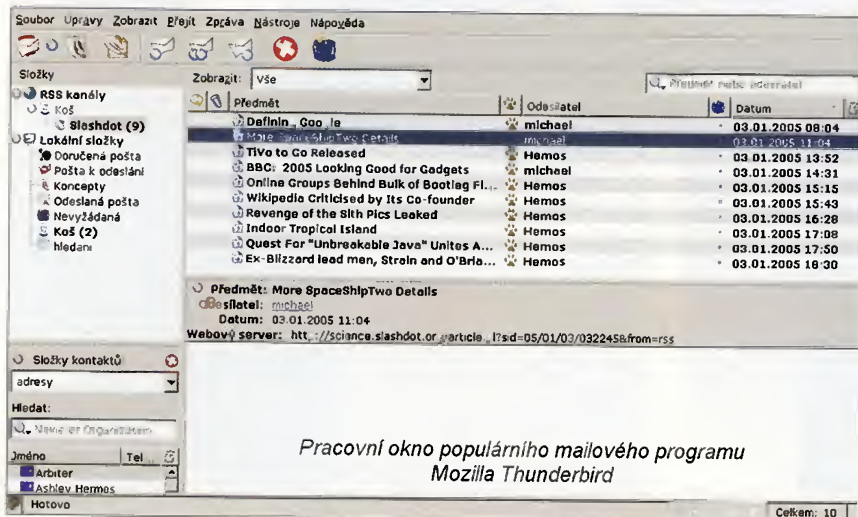
### iRedMail



Balíček pro automatickou instalaci a konfiguraci emailového serveru na platformách *GNU/Linux* a *BSD*.

Oficiální web:

<http://www.iredmail.org/>



Pracovní okno populárního mailového programu Mozilla Thunderbird



## LAN OVLADAČ S PĚTI VÝSTUPY

GWL/Power LAN ovladač s relé 2.0 patří mezi cenově nejdostupnější řešení dálkového spínání obvodů a odečítání stavu senzorů po počítačové síti Ethernet. Má zabudovaný webový server, takže k ovládání není zapotřebí žádný speciální program, postačí běžný webový prohlížeč a připojené obvody lze tak ovládat nejen z počítače, ale i z telefonů nebo tabletů. Modul má pět analogových vstupů – pro teplotu, napětí, proud a nepřímo další fyzikální veličiny, čtyři logické vstupy, jedno mechanické výstupní relé, další čtyři spínané výstupy pro relé, spínací tranzistory ap. (je možnost připojení modulu se čtyřmi re-

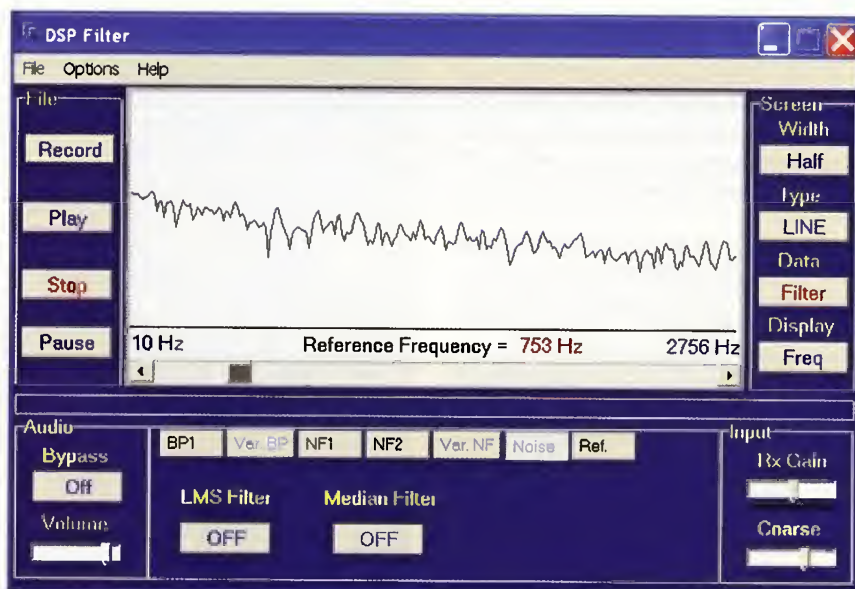


GWL/Power LAN ovladač v. 2.0

lé přes konektor) a jeden výstup PWM 2,6 kHz až 4 MHz. Připojení k počítačové síti Ethernet 10 Mb/s umožňuje standardní konektor RJ45. Zapojení má ochranu proti přepólování napájecího zdroje, napájecí napětí může být v rozmezí 8 až 28 V, příkon je asi 1 W, je možné pasivní napájení po počítačové síti (PoE).

Firmware umožňuje aktualizaci protokolem TFTP, správu přes webový prohlížeč nebo SNMP, čtení dat v reálném čase bez nutnosti obnovení stránky, nastavení sepnutí jednotlivých výstupů v rozsahu jednoho týdne (opakovaně), nastavení přesného času ručně nebo přes NTP z Internetu, automatické zasílání dat v nastavitelných intervalech pomocí serveru SNMP. Podporuje protokoly HTTP, SNMP, SMTP, SNTP, DNS, ICMP, DHCP. Mezi podporované senzory patří např. NTC1K B=3950, KTY-84, PT1000, DS18B20.

Rozměry modulu GWL/Power LAN ovladače jsou 57x67 mm, váha 45 g. Prodává se za 920 až 1250 Kč.



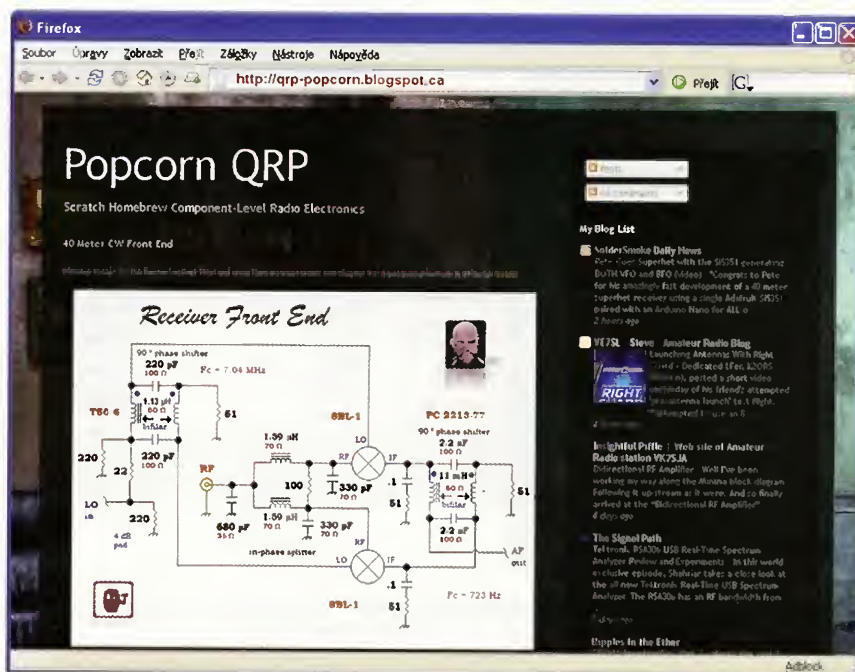
## DSP FILTER

DSP Filter z dílny WD6CNF je program, který umožňuje digitálně filtrovat nízkofrekvenční (audio) signál vstupující do počítače, např. ze vstupu pro mikrofon, pro linku, ale i ze souboru, a výstup nasměrovat do počítačových reproduktorů (sluchátek). Byl navržen zejména pro spolupráci s komunikačními přijímači (profesionálními i radioamatérskými). K dispozici jsou dvě pásmové propusti (bandpass filter), tři pásmové zádrže (notch filter) a dva šumové filtry. Parametry filtrů jsou nastavitelné a lze je řadit i za sebou do kaskády. Program podporuje i více zvukových karet v počítači. V pracovním okně lze zobrazit buď nf spektrum signálu, nebo jeho průběh. DSP Filter je zdarma ke stažení z webu <http://www.hotamateurprograms.com> v souboru DSPFilter.exe (2,1 MB).

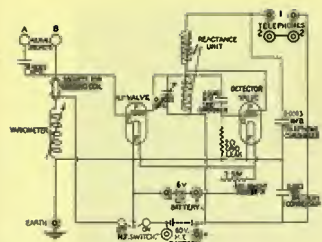
## POPCORN QRP

<http://qrp-popcorn.blogspot.ca>

Zajímavý blog člověka, který realizuje různá zapojení (nf zesilovače, přímoměšující přijímače ap.) z klasických součástek (tranzistory, odpory, diody ap.). Pozoruhodná jsou jednak velmi pěkně nakreslená schémata, jednak zajímavý způsob zapojování obvodů – některé součástky lepí na měděnou fólii desky pro PS a téměř všechno propojuje „ve vzduchu“, popř. si vyškrábáním mezer vytvoří na desce další opěrné propojovací body; celá plocha pak funguje jako společný vodič.







# RÁDIO „HISTORIE“

## Kdyby všichni chlapi světa... Film o radioamatérech z r. 1955

Ing. Jan Lexa

Snad jediný celovečerní film, který světu ukázal, jak užiteční mohou být radioamatéři, kteří neznají hranice mezi státy a národy, při záchraně života. Od natočení tohoto francouzského filmu uplynulo už téměř 60 let. Předlohou mu byla skutečná událost, kde radioamatéři hráli hlavní roli. Film pod názvem „Si tous les gars du monde...“ a anglicky „Race for Life“, který spojil výjimečný zážitek s propagací radioamatérského světa, byl promítán i na IX. mezinárodním filmovém festivalu v Karlových Varech, kde získal „Velkou cenu IX. MFF“, což nebylo jediné ocenění, ale dostal jich více na různých filmových festivalech.

Drama (podle skutečné události) se odehrává na francouzské rybářské lodi „Lutèce“, která vyplula z Bretaně k Norskému pobřeží na lov ryb. Hlavní událost začíná tím, že si jeden z námořníků z domova přinesl „porc pie“ (v těstě zapečené vepřové). Jedli to všichni námořníci až na muslimského severoafrického Mohameda, který nejlépe vepřové. Brzy na to měli problémy se zrakem a s bolestmi v krku; mimo Mohameda.

Na lodi nebyl samozřejmě žádný lékař a pokusy dovolat se pomocí lodními radio-  
stanicemi ztroskotaly pro jejich závady,

až si kapitán vzpoměl, že někde schoval malý „ham“ vysílač. Ten se jim podařilo zprovoznit a vysílat „Mayday“ (fonické SOS), které zachytila dosti vzdálená radioamatérská stanice FD8AM (operátor Albert) v chudé africké zemi, tehdejší francouzské kolonii Togo (od r. 1960 prefix 5V).

Tímto okamžikem začíná patnáctihodinový závod o čas a záchranu námořníků. Radioamatér kontaktoval koloniálního lékaře, který podle popsaných symptomů rozpoznal botulismus, tedy smrtelné onemocnění, které může zastavit jen přísluš-



Obr. 1. Plakát k filmu  
„Kdyby všichni chlapi světa“

né sérum aplikované nejdéle do 15 hodin. FD8AM z Toga se dovola mladého pařížského radioamatéra F8YT, který spolu s přítelkyní sérum seženou a hledají způsob, jak jej poslat na loď. Do Berlína letí v noční době zrovna jen jedno polské letadlo. Domnívali se, že letadlo přistane v západní okupační zóně Berlín-Tempelhof a tam bude předáno americkému letci a ten sérum dopraví na loď. To vše měl zajistit slepý radioamatér v Berlíně, se kterým se spojili. Letadlo však přistálo ve východním Berlíně. Americký seržant se pokouší dostat do východní sovětské



Obr. 2. Skutečná stanice F8YT



Obr. 3. Rybářská loď Lutèce



Obr. 4 a 5. Dvě ukázky radioamatérských stanic  
z filmu „Kdyby všichni chlapi světa“

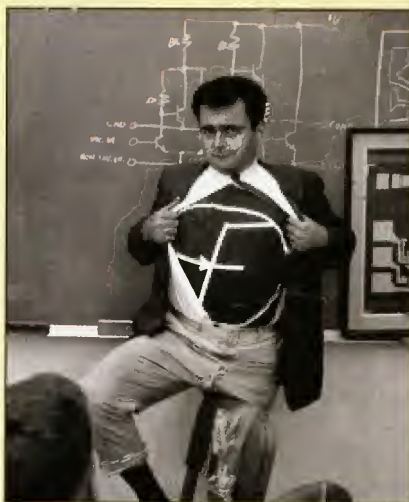


# Konstrukér monolitických OZ s českými kořeny

Jen o málo vynálezci s českými předky se toho u nás tak málo ví, jako o konstruktérovi prvních monolitických operačních zesilovačů. Byť je jeho dílu na internetu věnováno mnoho desítek webových stránek spojených s jeho jménem (včetně ruských), v češtině až na jeden krátký překlad z Wikipedie nelze nalézt nic. Přitom se jedná o kontroverzní individualitu, se kterou je spjata řada do určité míry i zábavných historek. Jeho jméno je Robert John Widlar.



Obr. 1. Robert J. Widlar jako 17letý student Saint Ignatius High School v Clevelandu (1954/55)



Obr. 3. R. J. Widlar „v dresu“ Fairchild

Původ jeho rodiny z otcovy strany je poněkud záhadný, usadila se v Clevelandu již na konci 18. století, rodina údajně pocházela z Německa – ovšem jméno (Widlar – Vidlár) připomíná také spíše český původ. Více bylo možné dohledat o rodině ze strany matky. Dědeček se jmenoval František Vitouš, pocházel z jižních Čech a do Clevelandu se odstěhoval v r. 1902. Tam se oženil s dcerou rovněž českých přistěhovalců, Marií Žakovou. Po tomto dědečkovi zdědil Robert řadu povahových vlastností, které mu nedělaly vždy dobrou reputaci. Jeho otec se jmenoval Walter Widlar a byl to zdatný inženýr – radiotechnik, který byl velkým propagátorem VKV. Clevelandský místní tisk psal v r. 1938, že na kolébku svého syna umístil mikrofón se zesilovačem, propojeným do všech místností domu, takže jeho matka mohla okamžitě zareagovat, když uslyšela synův pláč, ať byla kdekoliv. Byl to asi první kojeneček, hlídáný elektronicky. A že Robert později nebyl jen tak „ledakdo“, o tom svědčí např. jedna kapitola v knize od Bo Lojeka: History of Semiconductor Engineering, která nese název „Robert J. Widlar – The Genius, The Legend, The Bohemian“.

Narodil se 30. listopadu 1937 a již za školních let jej otec zasvěcoval do tajů radiotechniky, takže když skončil v 18 letech školu, začal pracovat v dílně jednoho z clevelandských obchodů jako

opravář rádií a televizorů. To byl jeho otec již dva roky po smrti. Dlouho však v dílně nevydržel a nastoupil do firmy Birds Electronic Corporation jako technik. Ani tam dlouho nevydržel a roku 1958 vstoupil do armády k letectvu, kde spolupracoval při organizování kurzů pro studium elektroniky. Pro ty napsal svou první knihu „Úvod do techniky polovodičových prvků“ a současně se přihlásil ke studiím v Boulderu na univerzitu státu Colorado. Geny zděděné po svém dědovi se opět projevily, když prohlásil, že „život studentský je mnohem zajímavější než život vojenský“, z armády vystoupil a začal pracovat u firmy Ball Brothers Research.

Ve studiích ale pokračoval a dokončil je v roce 1963. V práci se seznámil s konstruktéry, kteří u společnosti Alenco vyvinuli speciální tranzistor 2N930, který měl zajímavé vlastnosti. Debaty s nimi u něj probudily velký zájem o polovodičovou techniku a zpracování materiálů pro výrobu jejich prvků, a tak



Obr. 4. R. J. Widlar u pracovního stolu

celé hodiny trávil v univerzitní knihovně, kde studoval práce o polovodičových součástkách vznikajících v Bell Labs. Jak tehdy prohlašovali jeho přátelé, věnoval se pouze dvěma vášním – řešení technických otázek z oblasti polovodičů a pořádání různých párty v místních barech. Přitom u Ball Brothers pracoval na vývoji tranzistorového regulátoru stejnosměrného proudu.

Když roku 1963 již v průmyslu polovodičů známá firma Fairchild pořádala v Denveru prezentaci svých nejnovějších výrobků, Robert se prezentace a výstavy zúčastnil. Mimořádně jej tam zaujala malá krabička asi se stovkou nových NPN tranzistorů 2N1613 (obr. 2) s nezvykle vysokým zesilovacím činitelem při proudtech v oblasti mikroampér. Každý tento tranzistor tehdy stál asi 100 \$! Po prezentaci se setkali Robert a vedoucí marketingu firmy Fairchild Jerry Sanders (pozdější zakladatel firmy AMD) v baru, kde vášnivě debatovali o technických otázkách, pochopitelně ne u limonády. Když se druhý den ráno Sanders vzpomátoval, uvědomil si, že Robertovi tu krabičku tranzistorů (které měly v té době cenu vyšší než velmi populární automobil Volkswagen „Brouk“)

Obr. 2. NPN tranzistor typu 2N1613, výrobek Fairchild (1963)



okupační zóny, ale je zadržen, protože nevěřili jeho vysvětlení, ale souhlasili, že se v tom budou angažovat. Ruské letadlo pak zamířilo do Narviku, kde bylo sérum předáno norskému vojenskému letectvu a ti pak balíček úspěšně shodili poblíž rybářské lodi. Balíček vylovil Mohamed, jediný zdravý námořník, a posádka byla zachráněna.

Film byl tehdy současně promítán v Římě, Paříži, Berlíně, Oslo, Moskvě a v New Yorku. V Moskvě byl promítán ve 3 hodiny ráno. Film měl enormní úspěch po celém světě. K filmu se vyjádřila i vdova po Marconim s tím, že vynálezy jejího manžela mohou i takovým způsobem přispět k porozumění mezi národy. Na internetu lze najít ukázky z filmu i celý film.

## Pramen

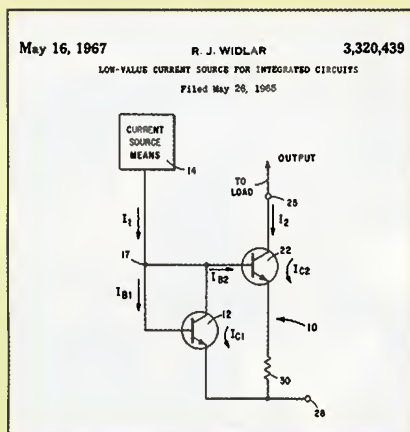
Vodítkem pro napsání tohoto článku byla stat' v časopise CQ - Radio Amateurs Journal (USA) z února 1957.

Obr. 6. Námořníci - rybáři ve filmu „Kdyby všichni chlapi světa“





daroval. Rychle tedy na Roberta nasměroval náboráře firmy Fairchild a ti jej přemluvili, aby se zúčastnil u firmy přijímacích pohovorů. V srpnu roku 1963 odejel Widlar na krátkou dovolenou do Kalifornie a odtamtud již napsal svému příteli, že po návratu bude „vymýšlet integrované obvody pro F v kroužku“ – což bylo dodnes známé logo firmy Fairchild (obr. 3). Pracoval tam pak v oddělení analogových obvodů a jeho vedoucí – John C. Barrett jej nasměroval, aby se věnoval možnostem využití prvků digitální techniky v analogových zapojeních. Robert byl geniální v tom, že rychle pochopil všechny souvislosti i při složitých zapojeních více prvků a jejich vzájemné ovlivňování.



**LINEAR**  
TECHNOLOGY

Obr. 8. R. J. Widlar byl spoluzakladatelem firmy Linear Technology

jako by tam bylo k ovládání tlačítko. To se Robertovi velice líbilo.

Když firma propustila zahradníka, který se mj. staral o úpravu trávníků v areálu firmy, Widlar pozval velkou skupinu novinářů, koupil za 60 dolarů ovci, přivezl ji ve svém kabrioletu a pustil ji na zarostlý trávník, aby jej spásala (obr. 6). Za to pochopitelně pochvalu nedostal, ale firma utřížila ostudu. Večer pak ovci odvezl známému barmanovi „ke zpracování“.

pracovny a občas hluchně oznamujícího nějaké vzkazy zaměstnancům. „Co to děláš Bobe?“ zeptal se jej a Robert odpověděl, že chce ten prokletý reproduktor zničit. Pierre řekl jen s úsměvem „Oh“ – netuše, že to Robert myslí doopravdy. Než došel na konec chodby, ozvala se ohlušující rána a výbuch roztrhl membránu.


Robert navrhl pro firmu první OZ, dodnes známé:  $\mu A702$ ,  $\mu A709$ . Ten první –  $\mu A701$  nikdy nedošel do fáze realizace, neboť Robert přišel na chybu ve svém návrhu a ihned začal pracovat na nové konfiguraci prvků. Obvody získaly ohromný úspěch. Nemaly podíl na něm měl Robert také tím, že se všemožně staral o jejich popularizaci, přednášel o možnostech jejich použití v triku nesoucím velké logo firmy Fairchild (obr. 3). Měl neuvěřitelnou výdrž při testování a zkouškách, byl zapálen pro věc, na které pracoval, a předpokládal totéž u svých spolupracovníků. Mělo o něm známo, že chtěl do 30 let svého věku vydělat milion dolarů a odejít na penzi. To se mu bohužel nepodařilo, neboť přesto, že prvky, které pro společnost Fairchild navrhl, jí přinášely ohromné zisky, odměny za to neodpovídaly jeho představám a Robert z toho vyvodil důsledky.

Na konci roku 1965 odešel k malé společnosti Molecro, kde skupil větší množství akcií. Firma se zakrátko stala částí firmy National Semiconductors (obr. 5), Robert se tak dostal mezi její zakladatele a díky tomu, že cena jeho akcií získala mnohonásobně vyšší hodnotu, dospěl konečně k cíli, který si určil ohledně získání majetku. Od té doby však již neměl takovou motivaci k intenzivní práci, i když navrhl několik dalších typů OZ – LM100, LM101, LM109. I tyto obvody však měly vynikající vlastnosti a postupně se objevovaly snahy o jejich napodobení. Firma Raytheon přišla s podobným obvodem RM709 a představitel této firmy Charlie Sporc na show, kterou pořádala IEEE v New Yorku, tento výrobek velice vychvaloval a naopak pomlouval jeden z výrobců, které navrhl Robert. Ten beze slova vzal Charlieho noviny, které tam ležely, zapálil je a hodil je do koše. Charlie se je snažil marně uhasit – kouřové hlásky zapracovaly a vzápětí přijeli hasiči...

V roce 1970 odchází z National Semiconductors, ale stále s firmou udržoval jako externí spolupracovník kontakt. V té době také odejel na konferenci do Paříže, kde přednášel o technologii pro zpracovávání polovodičových materiálů, a tlumočníci měli velký problém s překladem jeho vysoce odborného výkladu. Skončilo to tím, že tlumočník ze svého místa utekl. Když jej po přednášce předsedající požádal, aby příště raději mluvil pomaleji, jen se ho Robert zeptal, aby uvážil, zda by nebylo vhodnější, aby si propříště obstarali zdatnějšího překladatele.

QX

# Robert J. Widlar



**Bob**

30 de noviembre de 1937  
27 de febrero de 1991

científico, leyenda, bohemio,  
hermano, Y tío

Obr. 9. Pamětní deska R. J. Widlarovi  
v Mexiku

## Prameny

Webové stránky věnované této osobnosti – přehled viz Wikipedia: Robert Widlar.

**QX**



# Technika SSB na VKV před 50 léty

Pavel Šír, OK1AIY; [ok1aiy@comanet.cz](mailto:ok1aiy@comanet.cz)

(Pokračování)

## Zkušenosti z DX provozu a mezinárodních soutěží

Dík umístění mého pracoviště (stano-  
viště) na Benecku (obr. 30) byla možnost  
využít všech příležitostí navázat na 2 m  
i 70 cm nějaké lepší spojení. Mám na mysli  
využití Es vrstvy i aurory, které tenkrát čes-  
to bývaly, i nějaké to spojení přes družici  
OSCAR 7. Převažovaly ale „tropa“ podmín-  
ky, některá data jsou nezapomenutelná.

Např. datum 19. – 21. 1. 1974, ale i dal-  
ší – stačí jen zalistovat starými staničními  
deníky. Nešlo snad o množství např. ho-  
landských stanic (udělaných za hodinu),  
které stály ve frontě a v půlminutových in-  
tervalech se daly dělat, ale radost byla  
z kvalitní komunikace s vlastníma rukama  
vyrobeným zařízením. To samotné spoje-  
ní je – jak tomu s oblibou říkáme – už jen  
„třešničkou na dortu“. Se zařízením se vel-  
mi dobře pracovalo, snad lépe než nyní  
s FT-790. Proč tomu tak bylo, je na delší  
uvažování, ale ne zde na těchto stránkách.

To platí i pro soutěže. Ta první z Klínov-  
ce v r. 1972 byla vydařená i přes značnou

konkurenci, která už tenkrát byla, ale  
z Krkonoš výsledky nebyly nikdy výrazně  
dobré. Zlatě návrší „vyhrávací“ kopec není,  
v exponovaném směru je převýšení Kotle,  
takže kus severozápadní Evropy zůstal za-  
stiněn. Snad jednou (rok 1981) při lepších  
podmínkách k vítězství bylo blízko, ale díky  
rušení od stanice vzdálené asi 35 km se  
obtěžně pracovalo. Chybělo jen pár spoje-  
ní, která by se bez rušení dala snadno na-  
vázat, ale rušící stanice „procékvala“ celé  
dlouhé hodiny a první místo získal Jirka,  
OK1OA, z Ještědu díky své vynikající ope-  
rátorské zručnosti.

Zařízení jsem používal ještě začátkem  
osmdesátých let. Bylo výborné, ale rozměr-  
né, a tím, jak přibývala další pásma, se už  
ani v Š1203 nedostávalo místa. Začínalo  
období zavádění SSB i na mikrovlnných  
pásmech 23, 13 a 3 cm. Tranzistorové za-  
řízení jako budič bylo prakticky rovnocen-  
né, zůstaly jen 3 stejné panelové jednotky  
s PA stupni pro 2 m, 70, 23 a 13 cm. Zaří-  
zení sloužilo ještě nějaký čas ve stálém  
QTH a později jako stále funkční skončilo  
v depozitáři.

(Pokračování)



Obr. 29. Mít antény 700 m n. m. je štěstí. Tak jsme si v Křížlicích u Jendy Skály, OK1UFP, udělali z jeho ham shacku klu-  
bové pracoviště OK1KZN. Anténní sys-  
tém od 2 m do 13 cm smetla vichřice  
koncem 80. let



Obr. 26 až 28. Třemi obrázky se ještě vrátíme k akci „Obaleč“ z minulého dílu. Vlevo  
spojovací pracoviště v buňce na heliportu v Harrachově; ruční radiostanice TESLA  
sloužily ke komunikaci s pracovníky v terénu a se štábem na Jizerce. Na obrázku  
vpravo piloti vrtulníku, v popředí Ing. Havelka



Obr. 28. Kompletní obsluha pracoviště  
(heliport na Jeleních boudách nad Špindlerovým Mlýnem)



Obr. 30. Anténní systém pro pásma 2 m  
až 13 cm jako „ozdoba“ hotelu Panorama  
na Benecku. Kabely vedou do kotelny,  
kde bylo pracoviště



Obr. 31. Soutěž VKV 34 (Fichtelberg), pracoviště pro pásmo  
432 MHz. Operátoři Jarda, OK2JI (vpředu) a Pavel, OK1AIY





# Z RADIOAMATÉRSKÉHO SVĚTA

## Kongres FIRAC 2014 v Hamburku

Poněvadž v posledních letech nebylo mnoho zmínek o organizaci FIRAC a noví radioamatéři pravděpodobně neví, co tato zkratka znamená, na úvod krátké vysvětlení. V 50. letech minulého století se začali železničníři v západní Evropě, kde byly vzájemně přeshraniční kontakty podstatně snazší než u nás, sdružovat ke vzájemným stykům spojujícím ty, co měli (a dodnes mají) stejné koníčky. Vznikala různá sdružení filatelistů, sportovců, malířů, hudebníků, fotografů, filmařů atp. a nakonec vznikla organizace zastřešující a pomáhající těmto stykům s názvem FISAIC.

Vůbec prvními, kteří se takto začali organizovat, byli od roku 1954 radioamatéři – nejprve v jednotlivých zemích – a v roce 1960 se dohodli uspořádat 1. mezinárodní setkání v Ženevě. Na 4. takovém setkání, které se uskutečnilo v Hamburku, byla oficiálně založena Mezinárodní federace radioamatérů - železničářů, zkratka jejího francouzského názvu je FIRAC (Fédération Internationale des Radio Amateurs Cheminots) a ta nakonec také vstoupila mezi ostatní zájmové organizace sdružené ve FISAIC. Jednou ze zvláštností je to, že se na kongresech vesměs scházejí nejen radioamatéři samotní, ale přijíždějí s manželkami, které se tak vzájemně znají též, a platí to i obráceně, pokud radioamatérkou je žena.

Letos tedy FIRAC oslavil 50. výročí své existence v místě založení – v Hamburku při kongresu 4. – 8. září. Já měl to štěstí, že mne naše OK + OM skupina (která je od svého založení společná) v letošním roce pověřila projednáním změn, které byly učiněny po přijetí nových členů (Polsko, Rumunsko, Bulharsko, Ukrajina) v podmínkách krátkovlnných závodů, které pořádají společně FISAIC a FIRAC. Kongres má již tradičně dva dny „pracovní“ a dva dny „kulturní“, kdy se účastníci seznamují s kulturou a zajímavostmi pořádající země (každoročně je kongres pořádán v jiné zemi, ty naše již proběhly v Praze a v Novém Smokovci).

Večer v den příjezdu zasedá vždy tzv. prezidentská rada, která stanoví definitivní pořad jednání na plenárním zasedání, navrhuje kandidáty na jednotlivé funkce, kteří jsou voleni na plenárním zasedání, atp. Tentokrát se jednání zúčastnili i bý-

valí prezidenti národních skupin – naši OK-OM společnou skupinu, jejímž prezidentem je nyní Peter Kozár, OM5CX, který se nemohl zúčastnit (prezidenti se u nás střídají z OK a OM) jsem zastupoval sám. Naštěstí jsem se téměř se všemi přítomnými znal, neboť mimo čtyř posledních jsem se účastnil celkem 18 předchozích kongresů! I tentokrát se jako obvykle končilo krátce před půlnocí.

Hlavní jednání den měl bohatý program. Začal obvyklými pozdravnými projevy oficiálních hostů: delegáta DARC, německých drah DB, představitelů města a současně organizace FISAIC, pak bylo vzpomenu členů zemských od minulého kongresu, bývalý dlouholetý prezident FIRAC hovořil o historii vzniku FIRACu s obrazovým doprovodem fotografií z prvních setkání, Geoff Sims zhodnotil stávající termíny setkávání na pásmech a vyzýval k větší aktivitě (všeobecně byla zmiňovaná stále vzrůstající hladina rušení na amatérských pásmech). Došlo i na vyhodnocení závodů z posledního období, kdy OK1JMJ ve VKV závodě FIRAC získal 1. místo a zlatou medaili, OK1DEU bronzovou. V telegrafní části KV FISAIC-FIRAC závodu se opět pěkně umístil OK1JMJ, tentokrát na 2. místě, ovšem stříbrnou medaili jsem odmítl převzít vzhledem k tomu, že podmínky tohoto závodu odporují zásadám FISAIC pro pořádání soutěží. (Teprve potom bylo slíbeno, že se zkusí prosadit výjimku z platného regulativu nebo jeho změnu.)

Proběhly také volby nového prezidia, prezidentem zůstává Gheorghe Zaharie (YO6HAY, obr. 2), viceprezidentem byl zvolen Geoffrey Sims (G4GNQ) a sekretářem Karel Praert (ON4CIR).



Obr. 1. Logo letošního kongresu FIRAC



Obr. 2. Prezidentem FIRAC je YO6HAY

Ostatní funkce lze vyhledat na stránkách FIRAC, kde jsou vyjmenovány všechny zvolené osoby. Zvláštní ocenění – čestný diplom byl předán právě zvolenému G4GNQ, který byl v různých funkcích prakticky od svého vstupu do FIRAC a mimo dvou se od té doby zúčastnil také všech kongresů! FIRAC má dnes 19 národních skupin a ve dvacáté jsou členové ze států, kde není žádná skupina založena. Bylo odsouhlaseno vydání pamětní knihy o historii FIRAC, schválena finanční zpráva pokladníka i revizorů a zhodnocena účast ve Friedrichshafenu. Nakonec byla pořízena hromadná pamětní fotografie předsednictva výročního kongresu. Přítomný doprovod radioamatérů (povětšinou XYL) měl zajištěnu návštěvu výroby a muzea čokolády. Během kongresu byla také v provozu stanice DB50FIRAC (FT-757GX), ale spojení bylo navázáno jen málo pro intenzivní „městské“ rušení.

Další dva dny byly věnovány kulturním akcím. Projížďka městem autobusy s výkladem o pamětihodnostech, prohlídka lodi „Cap San Diego“, prohlídka přístavu a také největší na světě miniaturní modelové železnice (tu si můžete sami prohlédnout na internetu na [www.miniatur-wunderland.de](http://www.miniatur-wunderland.de)). To vše i závěrečný slavnostní večer bylo pořadatelé vzorně připraveno a poslední den, v pondělí byl naplánován jen individuální odjezd účastníků domů. Škoda jen, že místo druhého člena naší delegace zaujala úřednice GR ČD, která má agendu FISAIC v referátu, což je v poslední době u delegace z OK obvyklé.

QX



Obr. 3. Předsednictvo letošního hamburského kongresu FIRAC



# Kvadroptéra – – nová pomůcka při stavbě antén

Urs Hadorn, HB9ABO, a Peter Altschul, HB9CMI

Při závodu Helvetia Contest v roce 2014 (vždy poslední celý víkend v dubnu) měla skupina operátorů švýcarské klubovní stanice HB9HC po první příležitosti využít novou pomůcku při montáži antén. HB9CMI natahoval napínací šňůry pro drátové antény svojí dálkově řízenou kvadroptérou přes stromy. Tím klesly časové nároky na zlomek toho, co vyžadují metody s prakem nebo s lukem.

Postup s mikroptérou (obr. 1) je v zásadě podobný tomu s obvyklými házečím či vystřelovacími zařízeními: Od předpokládané pozice konce drátové antény se dopředu ve směru antény natáhne šňůra přes strom (nebo stožár či jiný předmět), který ponese anténu. Pomocí této směrové šňůry se pak natáhne nosné lanko antény od vzdáleného konce zpátky přes strom směrem k anténě.

Při metodě s prakem je směrová šňůra (lehká!) vystřelována pomocí olověného závaží přes strom. Mikroptéra jednoduše přenese závaží se směrovou šňůrou přes „anténní“ strom a odhákne závaží na druhé straně stromu.

Pilot kvadroptéry stojí s dálkovým ovládáním kvadroptéry a s odvíjecí cívkou (obr. 2) u konce antény a řídí koptéru tak, aby směrová šňůra křížila vršek stromu na požadovaném místě. Přitom má pilot možnost přesně korigovat případné vlivy větru. Všimněte si na obr. 6, jaké tlusté „břicho“ vyfoukl severák do směrové šňůry, ale HB9CMI s kvadroptérou směr hravě vyrovnal.

Ze svého postavení ale pilot nevidí situaci za „anténním“ stromem. Proto pomocník, který stojí příčně ke směru natážení budoucí antény, mu signalizuje, kdy má odháknout závaží připevněné na směrné šňůře (obr. 3).

Oproti maximální výšce kolem 30 m, kam může vystřelit prak, dosah s kvadroptérou není výškově omezen. Protože se směrová šňůra odvíjí pomalu, není třeba použít rybářský naviják ani lehký rybářský vlasce. Stačí např. 100 m nylonového provázku o průměru 3 mm, který kvadroptéra odvíjí z obyčejné cylindrické cívky, která je uložena tak, aby se mohla volně točit.

Zde použitý model kvadroptéry má nosnost asi 1,2 kg.

Výhody stavby antény kvadroptérou však nejsou k máni zadarmo: S konvenční modelovou helikoptérou by se tento úkol vyřešit nemohl. Námí použitá kvadroptéra stojí s dálkovým ovládáním, navigačním systémem, kardanovým závěsem, bateriemi a nabíjecím zdrojem kolem 3000 CHF a váží asi 1,5 kg. Provozní čas s jednou sadou baterií činí podle hmotnosti nákladu 10 až 20 minut.

Pořízení mikroptéry je jedna věc; práce při stavbě antén vyžaduje však ještě praxi v létání, kterou je nutno nejdříve získat. Dále je potřeba vyrobit přídavné zařízení, jako je odvíjecí cívka a odhacovací mechanismus. HB9CMI tyto věci sám vyhotovil, částečně s pomocí jeho 3D tiskárny. Další nevýhodou je omezení, že nelze mikroptéru používat při silném větru nebo v dešti – ledaže jen s velkou opatrností.

Podrobnosti o těchto univerzálních létajících platformách se nacházejí na [1].

Popsaným způsobem jsme natáhli čtyři pomocná (směrová) lanka během krátké doby a bez jakýchkoliv komplikací přes příslušné vysoké objekty (stromy, stožár od lyžařského vleku). Pak byla kvadroptéra lehce přestavěna a sloužila nám k pořízení filmových, popř. fotografických záběrů z výšky. Kůň v blízkosti se vůbec neplašil, ukázalo se naopak, že ho dokonce ten divný létající objekt zajímá...

Tři měsíce potom kvadroptéra pomohla natáhnout dipól pro závod National Mountain Day (třetí neděle v červenci) pro HB9BSH stejně elegantně a bez namáhy.

## Prameny

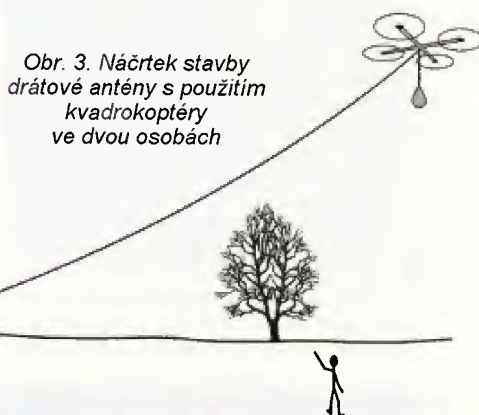
- [1] [www.mikrokoetter.de](http://www.mikrokoetter.de)
- [2] <http://htc.ch/h26-2014>



Obr. 1. Kvadroptéra čeká na střeše auta



Obr. 2. Příprava kvadroptéry. Na odvíjecí stojánku na zemi směrová šňůra



Obr. 3. Náčrtek stavby drátové antény s použitím kvadroptéry ve dvou osobách



Obr. 4. Pomocná šňůra přes lyžařský vlek



Obr. 5 a 6. Pomocná (směrová) šňůra přes koruny stromů





# O magnetických smyčkových anténách – teorie/praxe/výroba

Oldřich Burger, OK2ER; Marek Dvorský, OK2KQM; Hiroaki Kogure, JG1UNE

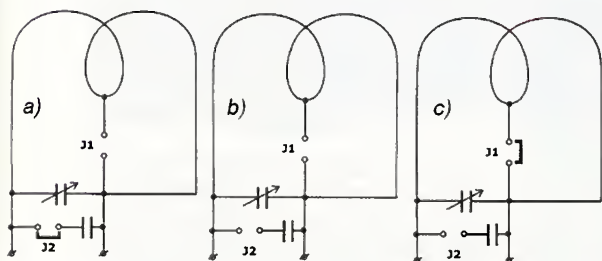
## Anténa MLA-M a MLA-M+ (M – multiband)

V ČR vyráběná QRP magnetická smyčková anténa MLA-M je průmyslově chráněná jako EU dizajn a za dva roky od jejího vyvinutí a uvedení na trh se stala vyhledávaným typem komerčně vyráběné antény. K mému překvapení (jako autora konstrukce MLA-M) se jich od roku 2012 vyrobilo a prodalo bezmála 300 ks a kromě QRP CW provozu jsou tyto magnetky s oblibou používány zejména pro BPSK a další digitální druhy provozu.

Konstrukce MLA-M je kompaktní, robustní a z hlediska elektrických parametrů unikátně širokopásmová. Pro praktickou potřebu je MLA-M použitelná v celém rozsahu KV od 3,5 MHz, třebaže na pásmu 28 MHz už není její funkce úplně ideální. MLA-M je fakticky anténa s integrovaným transmatchem. Díky tuneru zapojenému přímo na smyčce antény je v ní energie z vysílače dokonale „odsáta“ a vyžářena. Na pásmu 28 MHz už bohužel nelze MLA-M přizpůsobit na 100 % a je nutno akceptovat o něco horší PSV, v praxi 1 : 2. (Přizpůsobení 1 : 1 končí typicky asi u 27 MHz.) Probíhající vývoj MLA-M přinesl od verze MLA-M V.3 uživatelsky příjemnější přepínání tří segmentů pásma jumperů umístěnými na horní straně skříně (obr. 20 a 21; u původního modelu MLA-M byly jumpery umístěny uvnitř skříně). Významné zlepšení elektrických parametrů antény MLA-M na pásmu 28 MHz se dosáhlo použitím odlišného buzení antény prostřednictvím Faradayovy budící smyčky. Jak je patrné z obr. 16 (PE-AR 10/14, s. 44), toto řešení nazvané MLA-M+ se projeví jednak zvýšením ERP o 9 dB, ale i zvýšením rezonanční frekvence až do asi 31 MHz. Zlepšení ERP o 9 dB není jistě efekt zanedbatelný a zejména pro ty, kteří na pásmu 28 MHz rádi pracují, stojí tento technický doplněk za úvahu k upgrade.

Z obr. 19 a 9 (PE-AR 8/14, s. 44) lze pointu řešení buzení MLA-M Faradayovou budící smyčkou jednoduše pochopit a dodělat upgrade i formou home made. Pomocí dříve uvedené měřicí metody, ale i praktickým porovnáním na pásmu se majitelé upravené antény mohou přesvědčit sami, o kolik je MLA-M+ na pásmu 28 MHz lepší než původní MLA-M.

OK2ER



Obr. 20. Principiální znázornění zapojení MLA-M a přepínání segmentů pásma KV:  
a) 3,5 MHz; b) 7 – 10 MHz; c) 10 – 28 MHz

(Pokračování)



Obr. 19. Anténa MLA-M+ s Faradayovou budící smyčkou

## Zkušenosti s anténou MLA-M v praxi

Smyčkovou magnetickou anténu typu MLA-M jsme měli možnost společně s XYL OK1DVA letos od září do listopadu zkusit v praktickém provozu CW na všech pásmech, pro které je výrobcem deklarována (3,5 až 28 MHz, včetně tzv. pásma WARC).

Naše QTH: Loděnice u Berouna (obr. 23), lokátor JN79BX, kopcovitý terén Podbrdská, nadmořská výška asi 330 m.

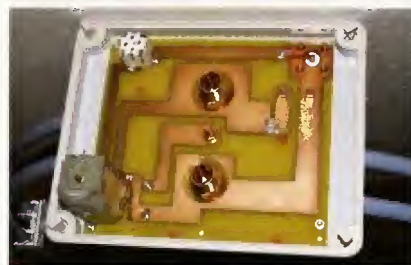
Zařízení: transceiver Kenwood TS-850S, výkon QRP 10 W, anténa MLA-M v okně bud severním, nebo západním.

Za tu dobu jsme navázali s MLA-M několik stovek spojení v běžném provozu i v několika soutěžích, přičemž amatérskému vysílání se věnujeme rekreačně, tedy v noci spíme a ve dne bdíme (v práci, na zahradě, v lese atd.). Pro takovéto pojetí amatérského vysílání je MLA-M zcela vyhovující.

4. října v podvečer (16.45 UTC) jsem se připravoval na nedělní ranní KV Provozní aktiv na pásmu 80 m. Naladil jsem se tedy přibližně na 3540 kHz a tam právě probíhalo obvyklé telegrafní spojení mezi Frantou, OK1AKJ, a Luděkem, OK1HAS. Na jejich rádiovou komunikaci často na pásmu natrefím a rád si je poslechnu, někdy i zavolám. Tedy jsem se posunul asi o 300 Hz nahoru, abych je slyšel, ale přitom je případně nerušil. Doladil jsem obvody MLA-M do rezonance a krátce anténním tunerem dotáhl ČSV na 1. Tento můj počín však nezůstal bez odezvy: Jakmile jsem přešel na příjem, Luděk, OK1HAS, hlásil Frantovi: „Teď se nám tu ladil nějaká moulá, ale je kousek vedle, tak to nevadí.“ Tedy se tímto oběma starým kamarádům písemně omlouvám. (Potěšilo mě, že jsem slyšel.)



Obr. 21. Ovládací panel MLA-M



Obr. 22. Pohled dovnitř MLA-M



Obr. 23. MLA-M doma na parapetu okna

Následujícího dne, ráno v neděli 5. října jsem v KV PA navázal za 40 minut 10 spojení, což není žádná sláva, ale je nutno mít na paměti, že KV PA trvá jen 1 hodinu a účastní se ho kolem stovky stanic s výbavou QRO.

Velmi poučná – co se týče zjištění, jak chodí tato MLA – byla účast v OK/OM DX Contestu 8. až 9. listopadu. Proto, že zahraniční stanice přímo vyhledávají stanice OK a OM, a to i ty se slabším signálem (QRP). Takže je možno naladit se někde na horní konec pásma a volat CQ. Navázali jsme v letošním OK/OM DX Contestu 150 spojení, zpravidla v odpovědi na naši výzvu. Většinou to byla spojení s Evropou, ale na pásmu 14 MHz jsme ve světových chvílích dosahovali kadence až 10 QSO za 10 minut a zavolaly nás i stanice z asijské části Ruska, z Kazachstánu, Ázerbájdžánu i z USA. Když se podíváte na ten kroužek s průměrem 60 cm v okně (obr. 23) a výkon 10 W, je to slušné.

11ATL se ve spojení s námi loučil větou: „My compliments for ur QRP!“

OK1DVA a OK1PFM



## Modelování antén pomocí programu 4NEC-2

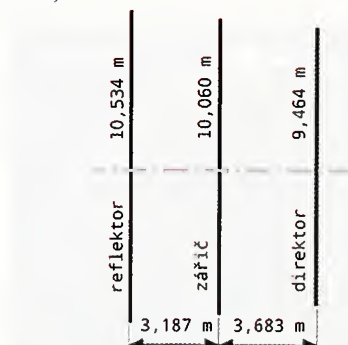
(Pokračování)

### Spolehlivost modelů antén

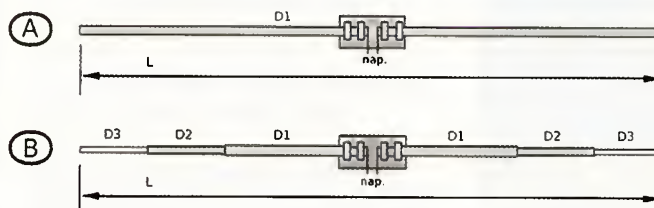
Z úvodního, velmi zjednodušeného rozboru omezení programu pro analýzu antén momentovou metodou vyplývají dva zásadní poznatky:

Úvaha o spolehlivosti modelů antén je plně namístě. Setkáváme se s různými přístupy, od naprosté nedůvěry až k téměř axiomatickému přijímání výsledků modelování a jak je obvyklé, žádná z krajních možností není správná. Naprostá nedůvěra není opodstatněná třeba už proto, že dnes nejpoužívanější metoda NEC je založena na 50 let trvajících výzkumech, jejichž výsledky nelze pominout. Přílišné spoléhání na výsledky modelování rovněž není vhodné, neboť model sám o sobě neposkytuje záruku, že byl vytvořen pro podmínky podobné těm, v jakých bude provozována skutečná anténa. Na základě pouhého modelu tedy nelze dělat rozhodnutí, znamenající např. složité zemní práce a s tím spojené značné výdaje apod. Pouhé výstupy programů pro modelování (obrázky, grafy, tabulky apod.) mají velmi malou vypovídací hodnotu a mohou posloužit jako doplněk časopiseckého článku, nikoli však jako podklad pro hodnocení konkrétní antény. Popisy antén je vždy vhodnější doplnit modelem a je velmi vhodné doplnit i reference, uvádějící, jak se vlastnosti modelu shodují s výsledky měření konkrétní antény, postavené v reálném prostředí.

Prozatím neexistuje univerzální program pro modelování antén bez ohledu na jejich strukturu, okolní prostředí a kmitočtovou oblast. Omezíme-li se na volně šiřitelné programy, je zřejmé, že budeme potřebovat nejméně dva – jeden s implementací NEC a druhý, založený na výpočetním jádru MININEC. Situace se však příliš nezmění, i když budeme uvažovat o použití komerčního (a někdy drahého a obtížně dostupného) software. Nejlépe vybaveným programem, využívajícím jádro NEC-2 (s možností použití komerčních NEC-3, příp. NEC-4, budou-li dostupné), je 4NEC-2. Pro něj však není



Obr. 17. Tříprvková anténa Yagi pro kmitočet 14,175 MHz podle W4RNL, použitá pro test impedance



Obr. 18. Dvě provedení zkušebního dipólu pro kmitočet 14,175 MHz, umístěného 10 m nad zemí průměrné kvality (diel. konstanta 13, vodivost 0,005 S/m)

dostupné výpočetní jádro, založené na MININEC. Z toho vyplývá, že při praktickém modelování budeme potřebovat programy dva – 4NEC-2 a MMANA, který je jednou z nejzdařilejších implementací metody MININEC. Není výjimkou, že jednu anténu bývá nutné analyzovat v obou těchto programech. Nepříjemným důsledkem nutnosti používat dva programy s různými formáty vstupních dat je skutečnost, že zpravidla nejrychlejším postupem, jak přejít od jednoho programu ke druhému, je opětovně zadat geometrii antény a parametry prostředí do druhého programu. Program pro přímou konverzi modelu NEC-2 do MMANA a zpět neexistuje, avšak model pro MMANA lze převést na formát NEC pomocí programu NEC-2 for MMANA [7]. Řadu výpočtů s NEC-2 lze provést i v tomto programu, i když zdaleka není vybavený tak, jako 4NEC-2.

Jak spolehlivé tedy výsledky modelování jsou? Odpověď nám dá několik jednoduchých testů.

**Impedance** – existující rozdíly v hodnotách pro jednotlivé výšky nad zemí (tab. 11) nejsou natolik významné, aby zpochybnil výsledky, dosažené pomocí 4NEC-2 a MININEC. Analyzována byla oblíbená tříprvková anténa Yagi podle W4RNL (obr. 17) [8].

Výsledky měření reálných antén jsou ovšem blíže hodnotám, vypočítaným pomocí 4NEC-2. Pro srovnání, ve volném prostoru by tato anténa měla mít vstupní impedanci  $25,6 - j0,13 \Omega$  a ve výšce  $0,5 \lambda$  nad perfektní zemí  $24,7 - j0,3 \Omega$ . V tomto testu tedy oba programy obstály, což znamená, že impedanci budeme schopni vypočítat téměř ve všech případech.

**Délka prvku** – v tomto testu je naším úkolem stanovit rezonanční délku trubkového dipólu pro 14,175 MHz (obr. 18), umístěného ve výšce 10 m nad zemí průměrné kvality (diel. konstanta 13, vodivost 0,005 S/m). V úvahu bereme dvě provedení dipólu – prvek, konstruovaný z jednoho průměru trubky 30 mm z materiálu AlMgSi a prvek, sestavený z trubek s odstupňovaným průměrem, teleskopicky zasunutých do sebe (tab. 12).

### Odkazy

[7] Dmitry Fedorov, UA3AVR: NEC-2 for MMANA, <http://www.qsl.net/ua3avr/>

[8] L. B. Cebik, W4RNL: Antenna Design, <http://www.okdxf.eu/0bj48a3/download/ant-design.xls>

Tab. 12. Rezonanční délka dipólu pro 14,175 MHz, umístěného ve výšce 10 m nad zemí průměrné kvality (dielektrická konstanta 13, vodivost 0,005 S/m)

Anténa	Průměr [mm]			Délka celkem [m]	Provedení [obr. 18]	Program	Impedance $[\Omega]$
	D3 25	D2 28	D1 30				
Dipól, trubka AlMgSi $\varnothing$ 30 mm	-	-	10,278	10,278	A	MMANA (MININEC)	$76,3 - j1,22$
Dipól, trubky AlMgSi $\varnothing$ 30 – 28 – 25 mm	1,200*	4,000	4,000	10,400	B	MMANA (MININEC)	$77,2 - j0,5$
Dipól, trubka AlMgSi $\varnothing$ 30 mm	-	-	10,188	10,188	A	4NEC-2 (NEC-2)	$73 + j0,06$

\* koncová část slouží k doladění na pracovním kmitočtu

(Pokračování)

RR



# Stavebnice zesilovače špičkových parametrů – JUMA PA1000

Dvojice finských radioamatérů Matti Hohtola, OH7SV, a Uha Niinikoski, OH2NLT, již nějakou dobu vyrábějí zajímavé stavebnice pro své kolegy radioamatéry s využitím nejmodernějších prvků polovodičové techniky. To sice na jedné straně přináší vyšší pořizovací náklady, které jsou však vyváženy vynikajícími parametry konečného produktu. Nejinak je tomu s krátkovlnným lineárním zesilovačem o výkonu 1 kW JUMA PA1000 pro rozsah KV pásem + 50 MHz, který měl při vstupu na trh jako stavebnice uváděnou cenu 2200 USD (+24 % DPH), což je přibližně cena rovněž polovodičového zesilovače Elecraft KPA 500, jehož výkon je ale poloviční.

Zesilovač je zapojen na jediné desce plošných spojů a jako zesilovací prvek je použita jedna z nejmodernějších výkonových polovodičových součástek, jediný T LDMOS typ, MRFE6VP61K25H. Ten samotný má integrovanou řadu ochranných prvků a neměl by jej ohrozit ani „otevřený“ výstup ani jeho zkrat a plný výkon dosahuje již při buzení výkonem 25 W nebo i méně. Pro budící transceiver představuje propojení se zesilovačem téměř ideální zátěž, přizpůsobení je v rozmezí 1:1 – 1:1,3. Na čelním panelu je indikační displej zobrazující pásmo, buzení, PSV, napětí a proud a teplotu zesilovacího prvku, pomocí indikačních diod se zobrazuje výstupní i reverzní výkon, přebuzení a působení tepelné ochrany. Nenechte se zmást obrázky na internetu – některé představují původní verzi s ručním přepínáním některých funkcí knoflíky. Také

otáčky motoru ventilátoru nuceného chlazení jsou řízeny provozní teplotou. Napájení je z jednofázové sítě 230 nebo 115 V, dva toroidní transformátory jsou umístěny pod hlavní deskou plošného spoje. Váha zesilovače je 6 kg, při rozměrech 261 x 135 x 300 mm. V některých pramenech je uváděna účinnost až 83 %, což se mi zdá být poněkud přehnaný údaj (není uvedeno, zda je to při trvalém zaklíčování).

Jejich prvními výrobky byly jednoduché přijímače RX1 pro 3,5 a 7 MHz, vysílače TX1 pro stejná pásma a TRX1, což je 5W transceiver v cenách od 75 do 80 a 170 € (již se nevyrobějí), jejich výrobky jsou určeny hlavně těm, kdo mají zájem se sami podílet na sestavě svých přijímačů, vysílačů nebo jejich doplňků, podobně jako to dělá firma Elecraft v USA.

Asi jako jediní nyní produkují transceiver TX500 pro pásmo 500 kHz s výkonem 60 W (360 €), dále vylepšený transceiver TRX2 pro 3,5 – 28 MHz CW a SSB 10 W za asi 500 €, 100W zesilovač pro KV a některé další drobnosti (automatický telegrafní klíč, soupravu pro práci se SMD součástkami atp.). Současné ale upozorňují, že z Číny začaly přicházet nabídky na kopie jejich výrobků, které však vykazují horší parametry i zpracování.

Podle internetových stránek [www.jumaradio.com/juma/](http://www.jumaradio.com/juma/) a referátu z časopisu Radioljubitel KV i UKV 10/2014 zpracoval

QX



Obr. 1. Čelní panel zesilovače



Obr. 2. Zadní panel JUMA PA1000



Obr. 3. Část desky s výkonovým zesilovačem a výstupním vf transformátorem

## SDR transceiver FLEX 6300

Firma FLEX v letošním roce ještě krátce před tradičním každoročním ARRL setkáním v Daytonu, Ohio, předvedla další model Flex 6300. Tento transceiver se prodává za téměř poloviční cenu než model 6500.

Oproti modelům 6700 a 6500, které umožňují 8 nebo 4 přijímače, má tento transceiver pouze 2 samostatné přijímače, protože ADC v modelu 6300 je o polovíčku pomalejší než u předchozích typů. Umožňuje samozřejmě zobrazovat současně signály z obou dvou na panadaptérovém displeji i s vodopádem. Také pra-

cuje na všech pásmech od 160 do 6 m. Přijímače v něm mají rozsah od 30 kHz až do 54 MHz. SCU poslouchá celé spektrum od 10 kHz až do 54 MHz. Toto pásmo je pak rozděleno do segmentů po 7 MHz, proto je maximální šířka displeje panadaptéru 7 MHz oproti modelům 6500 a 6700, které mají 14 MHz. Samozřejmě, že tato šířka je opět přepínatelná v mnoha krocích.

Výkon vysílače je od 1 do 100 W na SSB, CW, RTTY, DIGI, FM. Pouze u AM je to 1 – 25 W (nosná). Není vestavěn anténní tuner, ale je možno ho dokoupit.

Vysílač má i DAX kanál, což znamená možnost vytvořit virtuální zvukovou kartu a tak DIGI módy jako RTTY a PSK můžete vysílat a odesílat pomocí vašeho oblíbeného softwaru.

Rozměry jsou: 33 x 30 x 7 cm, váha 4,5 kg. Veškeré informace včetně ceny je možné stáhnout na webové stránce firmy Flex: <http://www.flexradio.com/amateur-products/flex-6000-signature-series/flex-6300/>. Na stránkách [aham.net/reviews](http://www.aham.net/reviews) je již mnoho velice kladných hodnocení tohoto modelu od radioamatérské veřejnosti.

OK2JS



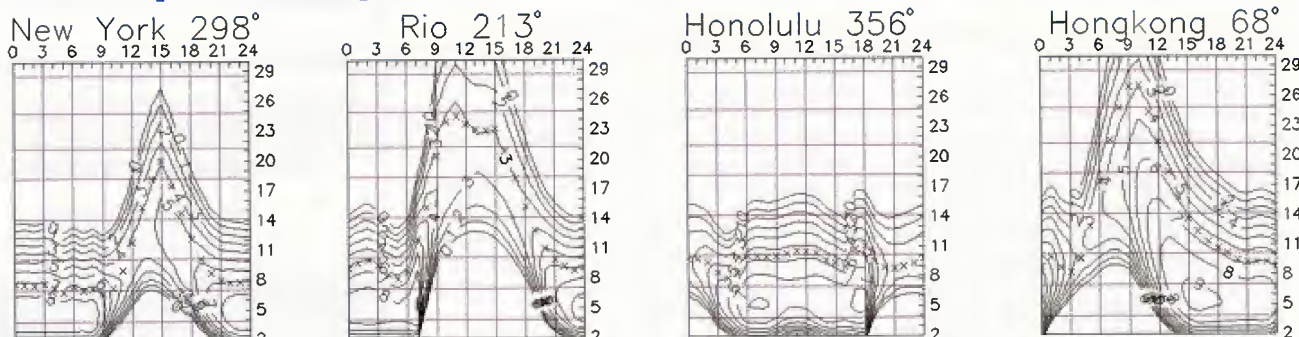
Obr. 1 a 2. Pohled na přední (nahore) a zadní panel FLEX 6300



Obr. 3. Panadaptérový displej s vodopády pásem 14 a 18 MHz



# Předpověď podmínek šíření KV na prosinec



Letos na jaře jsme zažili sekundární maximum jedenáctiletého cyklu. Bylo vyšší než primární a měl následovat dlouhý pokles do minima. Ani v bujných snech jsme netušili, co nás čeká v říjnu. 17. – 30. 10. jsme 12 – 14 stupňů jižně od rovníku pozorovali skupinu skvrn, největší v tomto cyklu, označenou v NOAA jako AR 2192, resp. v Catanii hezkým číslem 88. Maxima vývoje dosáhla 24. 10. v pozici S14 W06, tedy v těsném sousedství centrálního meridiánu, kdy měla plochu 2740 milióntin slunečního disku (pouhým okem bývají vidět již skupiny skvrn s plochou od 400 milióntin).

Středně mohutné až velké erupce byly téměř na denním pořádku, co do intenzity produkovaného rentgenového záření jich bylo v nejvyšší třídě X celkem šest, po jedné 19. 10., 22. 10. a denně mezi 24. – 27. 10. Výronů koronálního plazmatu (CME) ale bylo naštěstí málo a obvykle nezasahovaly Zemi. Proto jsme si mohli

užívat vysokých hodnot MUF, běžně nad 40 MHz. Pravidelně se tak pro spojení DX otevírala všechna pásma KV, včetně desítky.

Předpovědi z obvyklých čtyř renomovaných center jsou pro prosinec jsou: SWPC  $R = 72,5 \pm 8$ , IPS  $R = 71,7$  a SIDC  $R = 70 \pm 7$  s použitím klasické metody, nebo  $R = 80 \pm 8$  pro metodu kombinovanou. Dr. Hathaway (NASA) udává  $R = 62,7$ . Pro naše potřeby zvolíme opět  $R = 76$ , tj. sluneční tok  $SF = 124$  s.f.u.

Říjen začal vcelku poklidně a desetimetrové pásmo se otevíralo především do jižních směrů. Stanic DX na nejkratších pásmech sice postupně zvolna ubývalo, ale celkově se podmínky šíření spíše zlepšovaly. Příjemným překvapením byla kladná fáze poruchy 8. 10. odpoledne, po kratším zlepšení ale následovalo zhoršení až do 11. 10. Po razantním vstupu sluneční radiace se ve druhé polovině října zlepšily podmínky šíření na

všech pásmech KV a ani občasná vyšší geomagnetická aktivita jim neuškodila.

Cert ví, co se bude dít v prosinci. Může se vrátit vyšší aktivita (a ona se před koncem cyklu ještě párkrát vrátí) a také může být vcelku klid. Určitě ale bude do ionosféry severní polokoule Země dopadat méně slunečního záření, a proto bude útlum na dolních pásmech KV nejnižší. Pokud sluneční aktivita přece jen stoupne, budou se lépe otevírat horní pásma KV.

Říjnový vývoj částečně ilustrují následující průměry: sluneční tok 153,7 s.f.u. a číslo skvrn  $R = 60,6$ . Geomagnetický index z observatoře Wingst  $A = 11,1$  potvrzuje jen mírně vyšší aktivitu. Poslední  $R$  dosadíme do vzorce pro vyhlazený průměr a za duben 2014 dostáváme  $R_{12} = 81,9$ , čili v rámci současného 24. cyklu číslo opět nejvyšší.

OK1HH

## Česká expedice na Ostrov sv. Eustacha

Ostrov sv. Eustacha (PJ5) leží v Kari-biku a je součástí Nizozemských Antil (holandsky se nazývá Sint Eustatius). Na přelomu září a října se stal cílem české radioamatérské expedice PJ5/OL8R (24. 9. – 3. 10. 2014), kterou uspořádali David, OK6DJ, Petr, OK1FCJ, a Pavel, OK1FPS.

Expedice skončila úspěšně, zúčastnili se CQ WW DX RTTY Contestu a celkem navázali přes 25 000 spojení CW, SSB, RTTY i PSK31, nejvíce QSO s Evropou.

Vysílali ze dvou pracovišť, třetí měli záložní. Technické vybavení: 2x Elecraft K3, 1x KX3, PA HLA 1K3 (500 – 800 W), PA HLA 300 (300 W), antény 2x spider-beam 20 – 10 m, vertikály pro 160/80 m a pro 40 – 10 m, přijímací systém 4SQ.

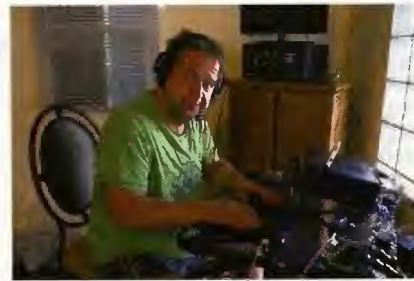
Spojení se stanicemi OK a OM jsou nahrána na LOTW a EQSL, žádosti o pa-



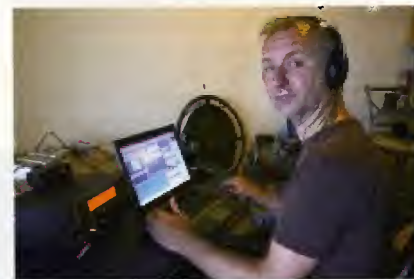
Obr. 1. Zleva OK6DJ, OK1FCJ, OK1FPS  
přímové QSL posílejte výhradně přes club-log.

Podrobnosti o expedici, obšírnou reportáž a bohatou fotogalerii viz na:

[www.cdxp.cz](http://www.cdxp.cz)



Obr. 2. David, OK6DJ



Obr. 3. Pavel, OK1FPS



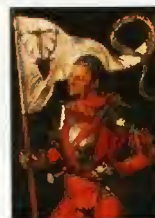
Obr. 4. Stavba spiderbeamu



Obr. 5. Naše QTH – Kelikeli

### Kdo byl sv. Eustach?

Římský důstojník, puv. jménem Placidus. Mučedník, později začleněn mezi Čtrnáct svatých pomocníků. Za konverzi ke křesťanství umučen s celou rodinou kolem r. 118 za císaře Hadriana. Patron Paříže, Madridu, myslivců a klempířů.





## Kalendář závodů na prosinec a leden 2015 (UTC)

13.12.	OM Activity	CW/SSB	05.00-07.00
13.-14.12.	ARRL 10 m Contest	CW+SSB	00.00-24.00
14.-15.12.	International Naval	MIX	16.00-16.00
19.12.	Russian 160 m Contest	MIX	20.00-24.00
20.12.	OK DX RTTY Contest	RTTY	00.00-24.00
20.-21.12.	Croatian CW Contest	CW	14.00-14.00
26.12.	Vánoční DARC Xmas	CW+SSB	08.30-11.00
27.12.	RAC Canada - Winter	MIX	00.00-24.00
28.12.	RAEM	CW	00.00-11.59
1.1.	AGB New Year	CW+SSB	00.00-01.00
1.1.	HA Happy New Year	CW+SSB	00.00-21.00
1.1.	SARTG New Year	RTTY	08.00-11.00
1.1.	New Year AGCW	CW	09.00-12.00
3.1.	SSB liga	SSB	06.00-08.00
3.-4.1.	ARRL RTTY Roundup	RTTY	18.00-24.00
3.-4.1.	EUCW 160 m Contest	CW	20.00-07.00
4.1.	Provozní aktiv KV	CW	06.00-07.00
5.1.	Aktivita 160	SSB	20.30-21.30
10.1.	OM Activity	CW/SSB	05.00-07.00
10.1.	„Starý“ Nový rok	CW+SSB	05.00-09.00
11.1.	DARC 10 m Wettbewerb	MIX	09.00-10.59
11.1.	YL-OM Midwinter	CW+SSB	10.00-14.00
12.1.	Aktivita 160	SSB	20.30-21.30
17.-18.1.	HA DX Contest	CW+SSB	12.00-12.00
17.-18.1.	NAQP	SSB	18.00-06.00
18.1.	LZ open Contest	CW	00.00-04.00
23.-25.1.	CQ WW 160 m DX Contest	CW	22.00-22.00
24.-25.1.	French DX (REF)	CW	06.00-18.00
24.-25.1.	BARTG RTTY Sprint	RTTY	12.00-12.00
31.1.-1.2.	European Comm. (UBA)	SSB	13.00-13.00

Podmínky většiny závodů uvedených v tomto kalendáři najdete česky na internetové adrese [www.aradio.cz](http://www.aradio.cz). Aktuálně je možné zkontrolovat jejich platnost např. na adrese [www.sk3bg.se](http://www.sk3bg.se), [www.qrz.ru](http://www.qrz.ru) nebo také na [www.arrl.com/contest/](http://www.arrl.com/contest/). Nezapomeňte, že ARRL přijímá elektronické deníky jen v CABRILLO formátu, ve kterém nezapomeňte doplnit v hlavičce řádek „ARRL SECTION: DX“, nebo „papírové“ deníky zaslané poštou.

### Adresy k odesílání deníků přes internet

1,8 MHz RSGB: prostřednictvím robota na [www.rsghcc.org/cgi-bin/hfenter.pl](http://www.rsghcc.org/cgi-bin/hfenter.pl)  
28 MHz SWL: [NL290@veron.nl](mailto:NL290@veron.nl)

ARRL 10 m: [10meter@arrl.org](mailto:10meter@arrl.org)  
CQ WW DX 160 CW: [cw@cqwv.com](mailto:cw@cqwv.com)  
Croatian: [9acw@9acw.org](mailto:9acw@9acw.org)  
HOT Party: [hot@qrcc.de](mailto:hot@qrcc.de)  
Int. Naval: [sandro\\_i7ale@alice.it](mailto:sandro_i7ale@alice.it)  
LZ open: [LZ1GL@yahoo.com](mailto:LZ1GL@yahoo.com)  
OE 160 m: [hf-contest@oevsv.at](mailto:hf-contest@oevsv.at)  
nebo přes robota  
<http://contestrobot.aoc160m.oevsv.at>  
OK DX RTTY: [okrty@crk.cz](mailto:okrty@crk.cz)  
OM Activity: [omactivity@gmail.com](mailto:omactivity@gmail.com)  
RAC: [canadawinter@rac.ca](mailto:canadawinter@rac.ca)  
RAEM: [raem@srr.ru](mailto:raem@srr.ru)  
Russian 160 m: [contest@radio.ru](mailto:contest@radio.ru)  
TOPS: [yo2rr@clicknet.ro](mailto:yo2rr@clicknet.ro)  
Vánoční: [xmas@dxhf.darc.de](mailto:xmas@dxhf.darc.de)

## Diplom k výročí 1. světové války UBA 14 – 18

Příležitostných stanic ke 100. výročí začátku 1. světové války se vyrojilo na pásmech daleko více, než bylo těch, o kterých jsme se v PE-AR 9/2014 zmínili. Některé organizace také k tomuto výročí vydávají diplomy – jeden z Francie máte ve zmíněném čísle vyobrazen, ten který přinášíme dnes, můžete dokonce získat 5x – za splnění podmínek v každém kalendářním roce od roku 2014 do 2018 od belgické organizace UBA. Podmínky jsou jednoduché. Je třeba navázat spojení od 1. 8. 2014 do 30. 11. 2018 v bodové hodnotě alespoň 1418 bodů za spojení

a) se stanicí OP0PPY, která se hodnotí 500 body,

b) se stanicemi OP14x (v dalších letech OP15 – OP18), každé je hodnoceno 250 body,

c) během měsíce listopadu za spojení s každou jinou belgickou stanicí získáváte 30 bodů.

Při dosažení potřebného počtu bodů během jednoho kalendářního roku je možné diplom získat za daný kalendářní rok. Pozor, každá značka stanice může být pro diplom použita pouze jednou (nepatří opakovaná spojení na jiných pásmech nebo jiným druhem provozu).



Obr. 1. Belgický diplom UBA 14 – 18

Žádá se volnou formou s výpisem dat o spojení na adresu [on4cas@arrl.net](mailto:on4cas@arrl.net) a diplom vám přijde zdarma obratem jako .jpg soubor.

QX

## Kalendář závodů na leden 2015 (UTC)

1.1.	VHF-UHF Contest AGCW	144 MHz	14.00-17.00
1.1.	VHF-UHF Contest AGCW	432 MHz	17.00-18.00
6.1.	Nordic Activity Contest	144 MHz	18.00-22.00
7.1.	MOON Contest <sup>1)</sup>	144 MHz	19.00-21.00
8.1.	Nordic Activity Contest	50 MHz	18.00-22.00
10.1.	FM Pohár	145 a 432 MHz	09.00-11.00
10.1.	Mistr. ČR děti <sup>2)</sup>	145 a 432 MHz	09.00-11.00
13.1.	Nordic Activity Contest	432 MHz	18.00-22.00
14.1.	MOON Contest <sup>1)</sup>	432 MHz	19.00-21.00
15.1.	Nordic Activity Contest	70 MHz	18.00-22.00
18.1.	Provozní aktiv	144 MHz-76 GHz	08.00-11.00
18.1.	Mistr. ČR děti <sup>2)</sup>	144 a 432 MHz	08.00-11.00
18.1.	DUR Activity Contest	1,3 GHz a výše	08.00-11.00
20.1.	Nordic Activity Contest	1,3 GHz	18.00-22.00
27.1.	Nordic Activity Contest	2,3 GHz a výše	18.00-22.00

<sup>1)</sup> Hlášení na: [ok2vbz.waypoint.cz/mc/](mailto:ok2vbz.waypoint.cz/mc/)

<sup>2)</sup> Hlášení na: [v.horak@barak.cz](mailto:v.horak@barak.cz)

DVA

## INZERCE













Prodám větší množství elektronice TESLA, např. EL803S, PCC88, E83CC, ECC83. Proměřené, nepoužívané. Seznam zašlu. Tel.: 605 890 772, e-mail: [Bohuslav.Pilch@seznam.cz](mailto:Bohuslav.Pilch@seznam.cz)

\*\*\*\*\* Hezké Vánoce čtenářům PE-AR přeje Klub moravských radioamatérů \*\*\*\*\*

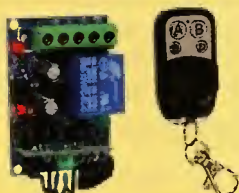




# CENÍK INZERCE (černobílá/barevná - Kč bez DPH)

 <b>celá strana</b> 171 x 264 mm <b>19.600/23.520 Kč</b>	 <b>1/2 strany</b> 171 x 130 mm <b>9.800/11.760 Kč</b>	 <b>2/3 strany</b> 112 x 264 mm <b>13.060/15.670 Kč</b>
   <b>1/3 strany</b> 171 x 85 mm    54 x 264 mm    112 x 130 mm <b>6.530/7.830 Kč</b>	  <b>1/4 strany</b> 171 x 63 mm    83 x 130 mm <b>4.900/5.880 Kč</b>	  <b>1/6 strany</b> 112 x 63 mm    54 x 130 mm <b>3.260/3.910 Kč</b>
 <b>1/9 strany</b> 54 x 85 mm <b>2.170/2.600 Kč</b>	 <b>1/12 strany</b> 54 x 63 mm <b>1.630/1.950 Kč</b>	<b>Specifické rozměry po dohodě 44/53 Kč/cm<sup>2</sup></b> <b>Banner na <a href="http://www.aradio.cz">www.aradio.cz</a> 5.000 Kč/měsíc.</b>
<b>Obálka: vnitřní strana: 43.000 Kč, IV. strana: 53.000 Kč.</b>		
<b>Slevy při opakované inzerci</b> Ve 3 a více číslech se sazba snižuje o ..... 5 % V 6 a více číslech se sazba snižuje o ..... 10 % Při celoroční inzerci se sazba snižuje o ..... 20 %		Podklady pro inzerci přijímáme ve výstupních formátech PDF, JPG v rozlišení 150 LPI (300 DPI) na adrese <b><a href="mailto:inzerce@aradio.cz">inzerce@aradio.cz</a></b>
<b>Kontakt: AMARO, spol. s r. o., Blanická 9, 120 00 Praha 2; tel. 702 106 157; e-mail: <a href="mailto:pe@aradio.cz">pe@aradio.cz</a></b>		

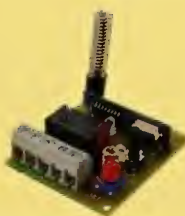
## Moduly dálkového ovládání KL



- 1 a 8 kanálové
- napájení 12V a 220V
- včetně ovladače
- výstupní RELE
- 3 výstupní funkce

**od 340,-**

## Programovatelné moduly UniBOX



- 4 bezdrátové vstupy 433MHz
- 5-ti stavový program. automat
- 3 časovače, výstupní funkce
- nastavení přes PC, smartphone
- napájení 12V

**od 450,-**

**WWW.ZABEZPECOVACI-ZARIZENI.CZ**

## Seznam inzerentů v PE 12/2014

AEC - TV technika a elektromechanické součástky ..... IV  
AME - elektronické součástky aj. .... II  
AMPER 2015 - pozvánka na veletrh ..... I  
BS ACOUSTIC - ozvučovací technika ..... VII  
BEN - technická literatura ..... VIII  
BUČEK - elektronické součástky ..... IV  
ČIP Trading - zabezpečovací zařízení ..... 48  
DIAMETRAL - laboratorní přístroje a fóliové štítky ..... III  
ELEX - elektronické přístroje ..... VI  
ELFA - optoelektronická čidla ..... VI  
ELNEC - programátory aj. .... VI  
ELTIP - elektrosoučástky ..... IV

ERA components - elektronické součástky ..... IV  
ETC - osciloskop v praxi automechanika ..... V  
FC service - laboratorní nábytek ..... IX  
KONEKTORY BRNO - konektory ..... VI  
KOOP - nakladatelství ..... VII  
MECOTRONIC - frézování a soustr. dílů, plasty ..... VI  
MICRONIX - měřicí přístroje ..... III. obálka  
OK2ER - antény ..... VI  
PaPouch - měřicí a komunikační technika ..... VII  
P+V ELECTRONIC - vinuté a mechanické díly ..... V  
Spezial Electronic - frézky na výrobu DPS ..... IV. obálka  
STEP electric - fóliové štítky ..... VI





### PCSU 1000

- 2-kanál. USB osciloskop DC~50MHz
- spektrální analyzátor do 25MHz
- záznamník přechodových jevů
- 2 x 60MHz oscil. sonda, USB kabel a software součástí balení

**7 499,-Kč**



### DS1052E

- digitální osciloskop DC~50MHz
- 1GSa/s; 2mV~5V/d.; 5ns~50s/d.
- 2 kanály; 145 mm TFT displej
- paměť 1M vzorků; 2xUSB, RS232

**8 390,-Kč**



### TBS1102

- digitální osciloskop DC~100MHz
- 2 kanály; 1GSa/s; 2mV~5V/d.
- 5ns~50s/d.; paměť 2,5k bodů/kanál
- 16 automatických měření + FFT
- 2 x USB; GPIB (opt.)

**24 920,-Kč**



### DS2202A

- digitální osciloskop DC~200MHz
- 2 kanály; 2GSa/s; 0,5mV~10V/d.
- 2ns~1000s/d.; paměť 14M bodů
- trigger, dekodér (opt.) sér. sběrnice
- USB; LXI; AUX; GPIB (opt.)

**38 528,-Kč**



### GTP-020A

- pasivní sonda k osciloskopu
- 1:10; DC~20MHz, max. 600V
- 1:1; DC~6MHz, max. 200V

**440,-Kč**



### DSA 815-TG

- spektr. analyzátor 9kHz~1,5GHz
- RBW: 100Hz; DANL: -135dB
- 1,5GHz tracking generátor
- LAN/USB, VGA, GPIB (opt.)

**34 188,-Kč**



### GLP-1A

- logická sonda TTL, CMOS
- generátor logických impulzů
- napájení 4 ~ 18 V<sub>DC</sub>
- rychlost pulzů 0,5/400 Hz (volit.)
- detekce pulzů od 10 ns

**979,-Kč**



### MY65

- ruční multimetr 4 1/2 dig.
- U 1000V<sub>DC</sub> / 750V<sub>AC</sub>
- I 10A<sub>AC/DC</sub>; R 200MΩ
- frekvence, kapacita, h<sub>FE</sub>
- manuální volba rozsahů
- zákl. přesnost ±0,05%

**1 230,-Kč**



### LCR-816

- stolní digitální LCR měřič
- měří L, C, R, D, Q
- test. frekvence 0,1~2kHz
- základní přesnost 0,1%
- paměť 100 míst; RS232 (opt.)

**19 990,-Kč**



### APPA 707

- pinzetový digitální LCR měřič
- měří L, C, R, D, Q, DCR, Θ
- test. frekvence 0,1~100kHz
- základní přesnost 0,2%
- USB; automat. volba rozsahu

**5 700,-Kč**



### UT-71E

- True RMS multimetr
- U<sub>AC/DC</sub> 1000V; I<sub>AC/DC</sub> 10A
- f 400MHz; R 40MΩ; T 1000°C
- proud. smyčka, výkon, cos φ
- test diod a spojitosti
- výkonový kabel s CZ zásuvkou
- paměť 100 hodnot; USB

**4 790,-Kč**



### MS8217

- multimetr 3 3/4 dig.
- U<sub>AC/DC</sub> 1000V; I<sub>AC/DC</sub> 10A
- R; C; f; T; test diod
- test spojitosti
- funkce REL, DH

**1 090,-Kč**



### DG1022

- generátor libovolných průběhů
- 2 kanály; 1μHz ~ 20MHz
- vzorkování 100MSa/s; rozliš. 14bitů
- rozlišení 1μHz; čítač do 200MHz
- AM, FM, PM, FSK, rozmitání, burst
- paměť 4k bodů; USB

**9 790,-Kč**



### MS6100

- multifunkční čítač 10Hz~1,3 GHz
- 8-místný displej; 2 vstupní kanály
- DH, auto test, velká přesnost
- počítání impulzů (TOTAL)
- měření frekvence i periody

**2 900,-Kč**



### Flir E4

- termokamera s rozliš. 80x60 bodů
- rozsah -20~+250°C; citliv. 0,15°C
- funkce MSX (zobrazení obrysů)
- interní paměť; Micro USB

**27 860,-Kč**



### P130R51D

- laboratorní DC zdroj (160W)
- 1 x 0~30V/0~4A; 1 x 5V/3A
- nastavitelné proud. omezení
- ochrana proti přehřátí
- 2 velké dig. ukazatele U a I
- zvlnění (typ.) < 2 mV

**4 250,-Kč**



### MS2108

- TRMS klešťový multimetr
- U<sub>AC/DC</sub> 600V; I<sub>AC/DC</sub> 660A
- R; C; f; test diod a spojitosti
- měření rozběhového proudu
- funkce Min/Max, DH

**1 990,-Kč**



### APPA A1

- miniaturní TRMS měřič I<sub>AC/DC</sub>
- rozsah 6~300A; rozlišení 1mA
- přesnost ±(1,2% MH + 3 dig.)
- měř. rozběhového proudu
- průměr kleštin 24mm; funkce DH
- bezdotyk. detekce napětí

**2 500,-Kč**



### Fluke 62 MAX

- bezdotykový teploměr
- rozsah: -30°C až +500°C
- D:S = 10:1; krytí IP54
- nast. emisivita 0,10~1,00
- vydrží pád ze 3m

**2 723,-Kč**



### Fluke T110

- indikace napětí 12 až 690V<sub>AC/DC</sub>
- indikace pomocí 12 LED diod
- test spojitosti a sledu fází
- vibrace, jednopól. detekce fáze
- indikace polarity, zátěž pro RCD

**1 898,-Kč**



### SAM50

- analogový multimetr
- U 1200V<sub>DC</sub> / 600V<sub>AC</sub>
- I 600mA<sub>DC</sub>, R 2MΩ
- 12kV (sonda za přípl.)

**990,-Kč**

Všechny uvedené ceny jsou bez DPH!



Profesionální měřicí technika

**ČR:** Antala Staška 33a, 140 00 Praha 4, tel.: 225 282 703, fax: 225 282 724, merici@micronix.cz, www.micronix.cz  
**Jegorova 37, 974 01 Banská Bystrica, tel.: 00421 48 47257 30, fax: 00421 48 47257 39, e-mail: meracia@micronix.sk**  
**SR:** Púchovská 8 - budova ASV, 831 06 Bratislava, tel.: 0905 917 301, e-mail: bratislava@micronix.sk, www.micronix.sk



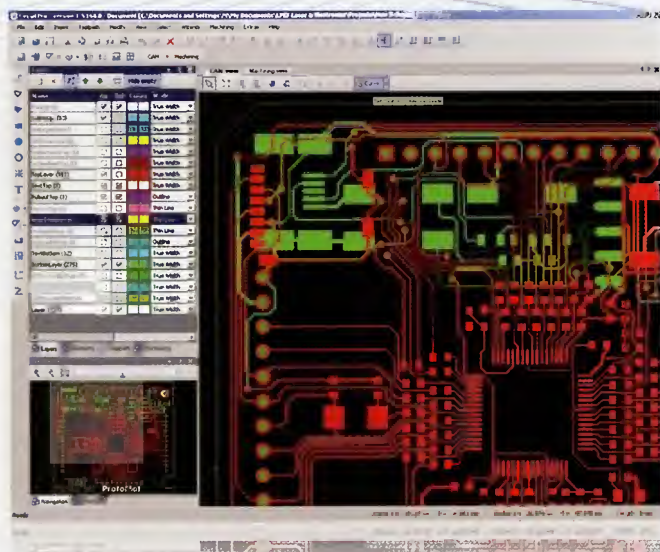
# Frézky na výrobu DPS

- profesionální prototypy
- malosériová výroba
- vhodné i pro školy



## LPKF ProtoMat E33

základní typ z řady ProtoMat  
prac. oblast 229 x 305 x 10 mm,  
mech. rozlišení  $\pm 0,8 \mu\text{m}$  ( $\pm 0,04 \text{ mil}$ ),  
opakovatelnost  $\pm 5,0 \mu\text{m}$  ( $\pm 0,02 \text{ mil}$ ),  
otáčky 33.000 ot/min, manuální výměna  
nástrojů, rychlost pohybu hlavy max. 50  
mm/s, rychlost vrtní 100 otvorů/min



## Software LPKF CircuitPro

je součástí dodávky frézky a je určen pro ovládání frézky a importu nebo úprav dat. Import dat ve formátech Gerber (Standard i Extended), Excellon NC Drill, Sieb & Meier NC Drill, HP-GL™, DPF, DXF, ODB ++R.

- frézování a vrtání DPS
- vyřezávání DPS (včetně odlamov. můstků)
- gravírování čelních panelů, štítků

Software umožňuje volbu způsobu výroby desky (od systému dělicích čar až k přesné podobě DPS tak, jako je na návrhu), úpravy návrhu a multiplikaci motivu na základní materiál.



*spezial electronic*

*spezial electronic*

Wuttke Immobilien KG, o.s.

Šárecká 22/1931

160 00 Praha 6

Česká republika

tel.: 233 326 621

233 326 622

fax: **233 326 623**

e-mail: [spezial@spezial.cz](mailto:spezial@spezial.cz)

internet: [www.spezial.cz](http://www.spezial.cz)

